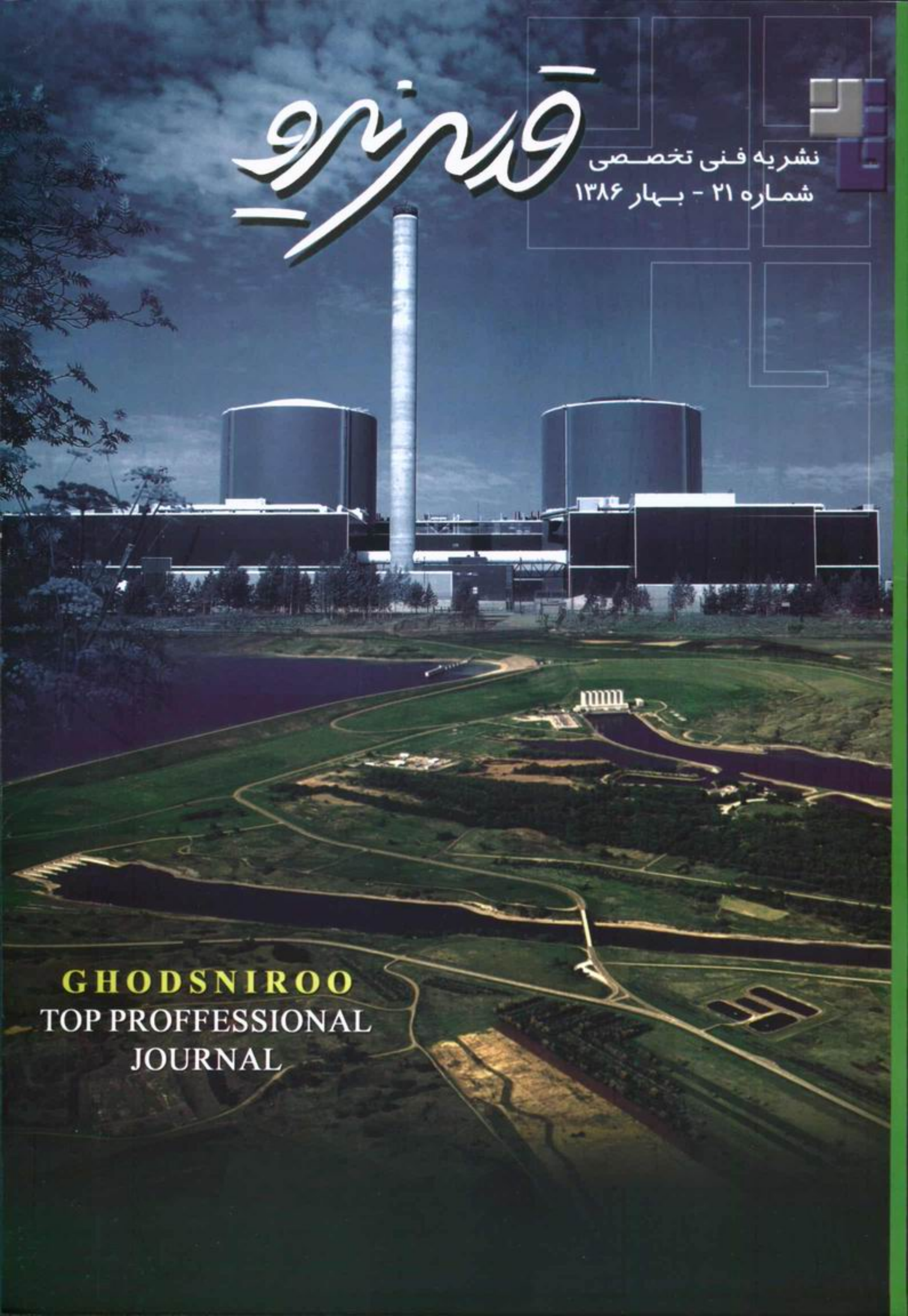
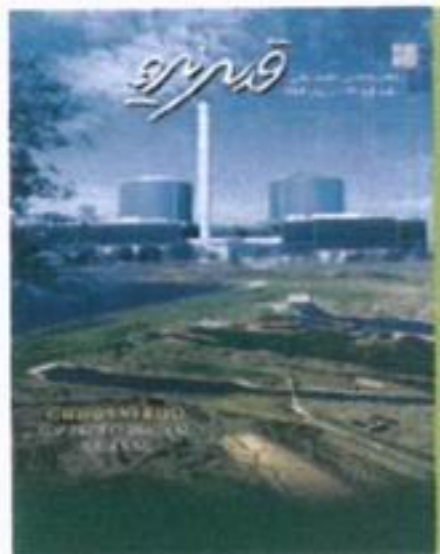


# غدرو

نشریه فنی تخصصی  
شماره ۲۱ - بهار ۱۳۸۶



**GHODSNIROO**  
TOP PROFESSIONAL  
JOURNAL



نشریه فنی تخصصی قدس نیرو  
شماره ۲۱ - بهار ۱۳۸۶

مدیر مسئول: مهندس احمد شکوری راد  
سر دبیر: مهندس فتانه دوستدار

با تشکر از همکاری آقایان:

- مهندس احمد اهرابی
- مهندس حسین بختیاری زاده
- مهندس احمد فریدون درافشان
- مهندس علی شاه حسینی
- دکتر همایون صحیحی
- مهندس منصور قزوینی
- مسعود نجمی

از مدیر و همکاران محترم امور پشتیبانی سپاسگزاریم.

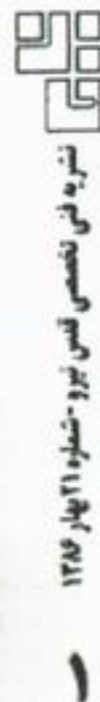
هیأت تحریریه:

مهندس پورنگ پاینده، مهندس حسن تفرشی،  
مهندس مسعود حبیب‌زاده، مهندس فتانه دوستدار،  
مهندس محمد ابراهیم رئیسی، مهندس محمد  
حسن زرگر شوستری، مهندس محمود زواری،  
مهندس فرهاد شاهمنصوریان، مهرداد صارمی،  
دکتر همایون صحیحی، مهندس غلامرضا صفارپور،  
دکتر جعفر عسگری، مهندس نرگس علیرمائی،  
مهندیس امیر همایون فتحی، مهندس علی اصغر کسانیان،  
مهندیس وحید مرتضوی، مهندس اکبر مقدار،  
مهندیس محمدیحیی نصرالهی، مهندس محمدرضا  
نصرالهی، مهندس بهروز هنری.

این نشریه از طریق اینترنت قدس نیرو نیز در دسترس علاقمندان می‌باشد.  
ارتباط مستقیم با مقاله‌دهندگان از طریق Email یا فاکس آنان در انتهای  
هر مقاله و همچنین ارائه نظرات، پیشنهادات و سوالات احتمالی خوانندگان  
گرامی از طریق اینترنت قدس نیرو و یا شماره تلفن نشریه ۸۸۴۴۲۴۸۲  
امکان پذیر می‌باشد.

از خوانندگان محترمی که مایل به ارسال مقاله برای نشریه می‌باشند تقاضا می‌شود موارد ذیل را رعایت فرمایند:

- موضوع مقاله در چارچوب اهداف نشریه و در ارتباط با صنعت آب، برق، نفت و گاز و پتروشیمی باشد.
- مقاله‌های تأثیری یا تحقیقی مستند به منابع علمی معتر و مقاله‌های ترجمه شده منضم به تصویر اصل مقاله باشد.
- مقاله ارسالی بر روی یک کاغذ A4 و با خط خوانا و با تایپ شده و شکل‌ها، عکس‌ها، نمودارها و جداول کاملاً واضح و قابل استناده و حتی امکان به روش گرافیک کامپیووتری ارائه گردد.
- توضیحات و زیرنویس‌ها به صورت مسلسل شماره‌گذاری شده و در بایان هر مقاله ذکر شوند.
- نشریه در تلخیص، تکمیل، ادغام و ویرایش مطالب مقالات آزاد است.
- مقاله دارای چنگیده، مقدمه، نتیجه‌گیری و لیست مراجع بوده، به همراه رزومه مختصری از صاحب مقاله ارائه گردد.
- مقاله ارسالی قبل از نشریه دیگری چاپ نشده باشد.
- موارد فوق الذکر برای دریافت مقاله از علاقمندان خارج از قدس نیرو نیز برقرار می‌باشد.



# مبانی طراحی لایه حفاظتی سنگچین (RIP RAP) رودخانه جهت جلوگیری از آبشنستگی در قوس رودخانه و در محل برخورد جریان خروجی از نیروگاه به جریان رودخانه

مهندس میر باقری

کارشناس هیدرولیک - مدیریت ارشد مهندسی سازه های آبی

## چکیده

فرساش در ساحل رودخانه ها، پایاب سرریزها و خروجی نیروگاهها عمدتاً به صورت تدریجی و یا به صورت توده ای رخ می دهد. مخصوصاً در محل قوس رودخانه که شرایط هیدرولیکی جریان تغییر می کند فرسایش بیشتری اتفاق می افتد و نتایج این فرسایش تغییراتی است که در شکل، مسیر و ظرفیت رودخانه ها بوجود می آید. به همین دلیل این مناطق نیاز به حفاظت جهت جلوگیری از بروز پدیده آبشنستگی و فرسایش دارند. استفاده از پوشش ها مخصوصاً سنگ به دلیل مزایای ویژه ای که دارد یکی از روش های رایج جهت حفاظت سواحل و بستر رودخانه ها به شمار می رود که در این خصوص مهمترین معیار طراحی یک پوشش سنگچین تعیین اندازه سنگ<sup>۱</sup> می باشد. تاکنون توسط محققین روش های متعددی جهت تعیین اندازه سنگ توصیه شده است که در این مقاله ابتدا فرمولیندی روابط مذکور ارائه گردیده و سپس مبانی طراحی، اجرا و سپس روش های جلوگیری از شکست سازه مورد نظر توضیح داده شده است. کاربرد این تحقیق در طراحی لایه حفاظتی (سنگچین) در کارهای مهندسی رودخانه، کانال های آبیاری، خروجی نیروگاه، سرریز و کالورت می باشد که در این زمینه پژوهه های زیادی از جمله طراحی لایه حفاظتی در محل خروجی کالورت نیروگاه رودبار لرستان در شرکت مهندسین مشاور قدس نیرو انجام گرفته است.

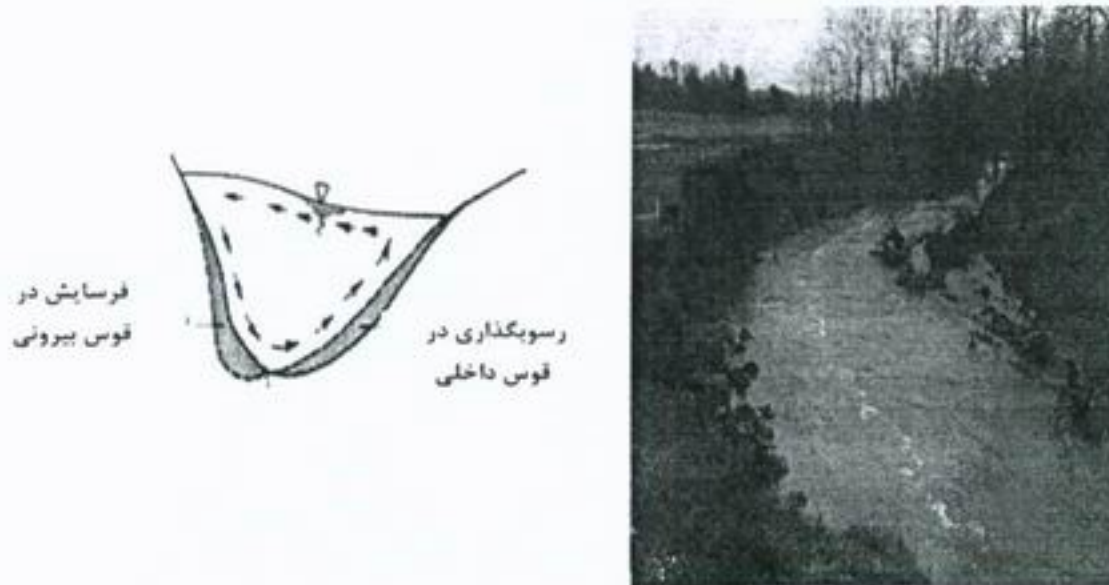
## ۱- مقدمه

رودخانه جت پرتایی باعث آبشنستگی شدید ساحل مقابل می گردد. در رودخانه ها برای جلوگیری از تخریب و فرسایش دیواره (ساحل) از روش های مختلف استفاده می شود که این روشها و اقدامات به دو دسته مستقیم و غیرمستقیم تقسیم می شوند.

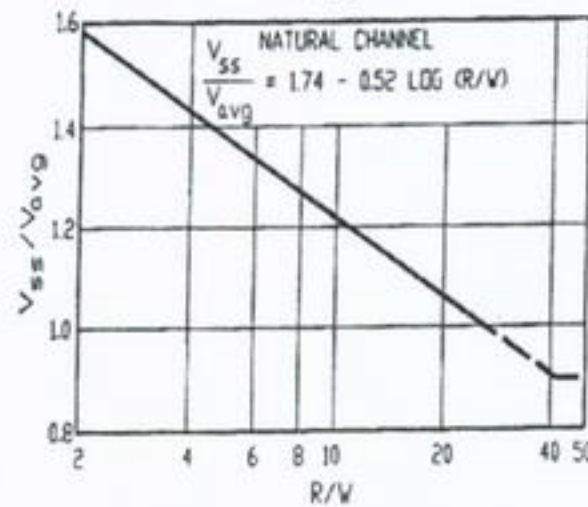
روش های حفاظت مستقیم اقداماتی است که مستقیماً بر روی رودخانه انجام می گیرد تا مانع از تخریب آن توسط جریان آب بر اثر موج و قدرت جریان گردد که از جمله این اقدامات می توان به احداث پوشش های صلب و سنگچین و گیاهی اشاره کرد.

آنچه در شکل دهی رودخانه مهم است رسوباتی است که از کف و دیواره ها کنده می شود و موجب تخریب و فرسایش می گردد، به همین دلیل باید کف و دیواره ها در مقابل تنش های بیشتر از حد مجاز حفاظت شود. در محل قوس با توجه به شکل (۱) شرایط هیدرولیکی جریان در محل قوس رودخانه تغییر می کند که این تغییر موجب تشدید در فرسایش می شود. فرسایش در قوس بیرونی به دلیل افزایش سرعت در ساحل بیرونی می باشد.

شکل (۲) رابطه بین سرعت متوسط و سرعت در قوس بیرونی را نشان می دهد. همچنین در محل برخورد جریان خروجی از نیروگاه به



شکل (۱): شرایط هیدرولیکی جریان در مسیر قوس



شکل (۲): سرعت در قوس بیرونی رودخانه سرعت متوسط

دیگری استفاده می‌شود که این پوشش‌ها به دو صورت صلب (دیوار بتنی) و قابل ارجاع (سنگچین Rip Rap) اجرا می‌شوند. پوشش‌های صلب در مقابل نیروهای آب مقاومت بالایی دارند ولی در شرایط بحرانی و تحت نیروهای زیاد امکان شکست آنها زیاد است. پوشش‌های سنگچین قابلیت انعطاف‌پذیری و Up Lift نفوذ‌پذیری سازه‌ای بالایی دارند، Fail Down تثبیت طبیعی دارند و می‌توانند خود را Accommodate کنند، همچنین سهولت اجرایی و اقتصادی بودن نیز از خصوصیات این نوع پوشش است. در این روش سنگها با اندازه، دانه‌بندی و ضخامت مناسب به صورت پایدار بر روی شیب دیواره‌ها و بستر اصلاح شده قرار می‌گیرد.

روشهای حفاظت غیرمستقیم به مجموعه عملیاتی اطلاق می‌شود که به منظور کاهش قدرت و سرعت جریان و یا فراهم آوردن موجبات ته نشست رسوبات در کناره رودخانه انجام می‌گیرد. احداث آبشکن، پره‌ها، صفحات مستغرق و خاکریزها از این قبیل کارهای حفاظتی می‌باشد که به صورت غیرمستقیم به حفاظت بستر و کناره در برابر فرسایش کمک می‌کند در برخی رودخانه‌ها که سرعت جریان کم و عرض رودخانه زیاد است و همچنین خط نوار ساحلی به گونه‌ای باشد که بتوان برای تثبیت و جلوگیری از فرسایش درختکاری کرد، پوشش گیاهی پیشنهاد می‌شود که البته هزینه بالا و چشم انداز زیست محیطی زیبا از مشخصه این روش است ولی هنگامی که سرعت آب زیاد و توان هیدرولیکی آب بالا باشد از پوشش‌های

- نقشه توپوگرافی منطقه و موقعیت رودخانه و سازه‌های احداث شده اطراف آن
- مقاطع عرضی (که هرچه تعداد این مقاطع بیشتر باشد بهتر است) و مقطع طولی رودخانه (بدست آوردن شیب کناره‌ها و کف)
- انجام بازدیدهای صحرایی با هدف تعیین بازه‌های فرسایش پذیر رودخانه و همچنین تعیین نوع جریان به منظور برآورد شدت جریان
- با استفاده از یک نرم‌افزار هیدرولیک جریان رودخانه می‌توان سرعت را در مقاطع مختلف محاسبه نمود. مانند نرم‌افزار HEC-RAS: جهت اجرای این نرم‌افزار به اطلاعاتی از قبیل: دبی سیلان، هندسه مقاطع جریان، ضریب زبری مانینگ در مقاطع و شرایط مرزی (رابطه دبی- اشل پایین‌دست) مورد نیاز می‌باشد.
- $\gamma_w$  و  $\gamma_s$  (سنگ قرضه)
- دبی سیلان طراحی (که متغیر می‌باشد و با توجه به اهمیت و شرایط طرح، میزان ریسک و سایر پارامترهای دیگر انتخاب می‌شود). در این خصوص می‌توان از نرم‌افزارهای HYFA و یا SMADA جهت تعیین سیلان با دوره بازگشتهای موردنظر بهره جست [۶].

#### ۴- روش طراحی

جهت استفاده از روابط جدول (۱) روش زیر به صورت گام به گام باید طی شود.

CIRIA Ibash (لازم به توضیح است روابط Pilavczyk خروجی نیروگاه کاربرد دارند و روش Shilds هنگامیکه بحث تنش برشی مهمتر از سرعت باشد یا به طور کلی هدف طراحی بر اساس تنش برشی باشد، مطرح خواهد شد).

گام اول: بدست آوردن تنش برش مجاز ( $\tau_p$  Permissible Shear Stress)

در شکل (۳) نمونه یک سنگچین محافظ (Rip Rap) اجرا شده در ساحل رودخانه دیده می‌شود.



شکل (۳): نمونه یک سنگچین محافظ (Rip Rap)

#### ۲- فرمولبندی روابط پیشنهادی

روشهای مختلفی برای ارزیابی اندازه شاخص سنگها (Rip Rap) وجود دارد. جدول (۱) روشهای مختلف ارزیابی اندازه شاخص سنگ را با ذکر منبع مورد استفاده ارائه می‌نماید. با توجه به اینکه مبانی تئوریک و تجربی روشهایکسان نیستند، هنوز یک روش عمومی در برآورد اندازه شاخص سنگ‌ها برای تمامی رودخانه و یا بازه‌های مختلف یک رودخانه ارائه نگردیده است. از این رو نباید انتظار داشت که کاربرد روابط مختلف برای تمام شرایط رودخانه‌ها منجر به نتیجه یکسان و یا حتی نزدیک به یکدیگر گردد.

#### ۳- اطلاعات مورد نیاز جهت طراحی

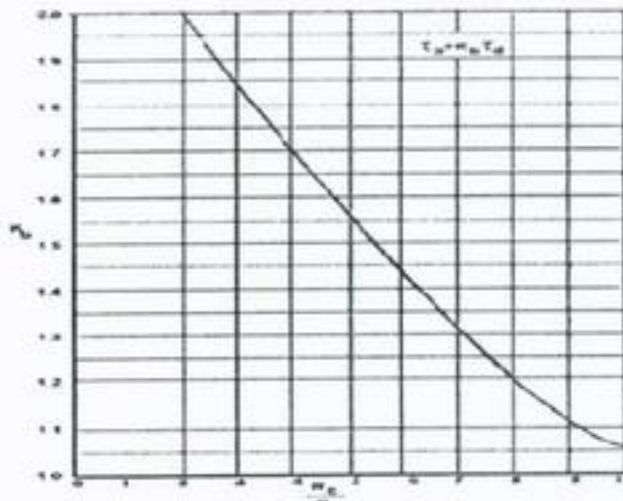
جهت استفاده از فرمولهای جدول (۱) نیاز به ورودی‌های لازم و اطلاعات هندسی و هیدرولیکی پایه طرح داریم (که بعضی از این اطلاعات با استفاده از نرم‌افزار HEC-RAS بدست می‌آید). این اطلاعات را می‌توان به صورت ذیل خلاصه کرد:

جدول(۱): روش‌های برآورد اندازه سنگ برای سنگچین محافظه [۱ و ۲ و ۳ و ۴ و ۵ و ۷]

شماره	منبع	رابطه	ملاحظات
۱	USBR(1958)	$D_{100} = 0.0353V^2 + 0.0116 + 0.0048$	بر حسب سرعت متوسط جریان (V) تعیین می‌شود $D_{100}$ - $V < 5.5 \text{ (m/s)}$ -
۲	USACE(1961)	$D_{50} = 0.041133U^{2.0159}$	بر حسب سرعت جریان در نزدیکی دیواره (U) تعیین می‌شود $D_{50}$ - $0.45 \text{ (m/s)} < U < 3 \text{ (m/s)}$ -
۳	State of California Div. of Highways (1970)	$W = \frac{2 \times 10^{-5} U^6 S_S}{(S_S - 1)^3 \sin^3(\phi - \theta)}$ $S_S = \frac{\gamma_S}{\gamma_W}, \quad D_{50} = \left( \frac{6 \cdot W}{\pi \gamma_S} \right)^{\frac{1}{3}}$	$D_{50}$ (اندازه سنگ) U (سرعت در نزدیکی دیواره) S <sub>S</sub> (چگالی سنگ قرضه) -
۴	Shields (1936)	$\frac{\tau_c}{(\gamma_S - \gamma_W)D_{50}} = 0.056$	- شاخص محاسبه شده : $D_{50}$ - تنش برشی بحرانی : $\tau_c$
۵	Maynard (1993)	$D_{30} = S_F \cdot C_S \cdot C_V \cdot C_T \cdot Y \cdot \left[ \left( \frac{1}{S_S - 1} \right)^{0.5} \times \frac{U_d}{\sqrt{K \cdot g \cdot Y}} \right]^{2.5}$ $K = \sqrt{1 - \frac{\sin^2 \theta}{\sin^2 \phi}}$	- برآورد اندازه سنگ به صورت : $D_{30}$ - براساس آنالیز ابعادی و نتایج تجربی برای آستانه حرکت حداقل $S_F$ (ضریب اطمینان) برابر ۱.۱ و برای طراحی $1.5$ - $C_S$ (ضریب پایداری) : ۰.۳ برای سنگهای گوشه دار، ۰.۳۷۵ برای سنگهای گرد - $C_V$ (ضریب توزیع سرعت) : ۱ برای مسیر مستقیم، ۱.۲۵ برای پائین دست سازه‌های بتونی، انتهای دایک ها - $Y = 1.283 - 0.2 \log(r/w)$ ; for $(r/w) < 26$ - $C_T = 1$ (ضریب ضخامت) برای طراحی استاندارد
۶	Hec	$D_{50} = 0.50 \left[ \frac{1.384 \cdot (V^2)}{(S_s - 1) \cdot 2 \cdot g} \right]$	سرعت : V برآورد اندازه سنگ به صورت $D_{50}$

ادامه جدول(۱): روش‌های برآورد اندازه سنگ برای سنگچین محافظ

شماره	منبع	رابطه	ملاحظات
۷	Ibash (1970)	$D_{50} = C \frac{V_c^2}{g(S_s - 1)K}, K = \sqrt{1 - \frac{\sin^2 \theta}{\sin^2 \phi}}$	(Low Turbulence) $C = 0.3$ (High Turbulence) $C = 0.7$ $C = 1.3$ برای تونل خروجی نیروگاه (Jet Flow) سرعت آستانه حرکت که بعد از آن سنگها شروع به حرکت می‌کنند $V_c$ : سرعت آستانه حرکت $V$ : سرعت آستانه حرکت
۸	Isbach (1936)	$V = 1.2[2g(S_s - 1)D_{50}]^{0.5}$	
۹	Neill (1968)	$\frac{Vc^2}{g(S_s - 1)D_{50}} = 2\left(\frac{D_{50}}{d}\right)^{-\frac{1}{3}}$	$d$ : عمق آب $D_{50}$ : شاخص محاسبه شده $V_c$ : سرعت آستانه حرکت
۱۰	C1R1A	$D_{50} = \left(\frac{V_c}{E(g(S_s - 1)K\Psi y)}\right)^{2.5}, K = \sqrt{1 - \frac{\sin^2 \theta}{\tan^2 \phi}}$	$D_{50}$ : شاخص محاسبه شده $V_c$ : سرعت آستانه حرکت $\Psi$ : $0.4 - 0.56$ (۷ تا ۸ مسیر مستقیم رودخانه) و (۵ تا ۶ جاهایی که پیچ و خم زیاد است) $y$ : عمق آب
۱۱	Walling Ford (1992)	$D_{n50} = C \frac{U_b^2}{2g(S - 1)}$ $D_{n50} = 0.84 \text{ to } 0.91 D_{50}$	$D_{n50}$ : بعد مشخصه سنگ $C$ : ضریب شدت آشفتگی $TI$ : شدت آشفتگی (جدول ۲) $U_b$ : سرعت آستانه حرکت
۱۲	Pilavcicky (1990)	$D = \frac{\Psi}{\Delta} \frac{0.035}{\Psi_{cr}} K_t K_h K_s^{-1} \frac{U_d^2}{2g}$ , $K_h = \left(\frac{D}{y}\right)^{0.2}, K_s = K_d K_l$ $K_l = \frac{\sin(\phi - \beta)}{\sin \phi}, K_d = \cos \theta \sqrt{1 - \left(\frac{\tan \theta}{\tan \phi}\right)^2}$	$D_{50}$ : شاخص محاسبه شده $\Psi$ : فاکتور تصحیح پایداری (حفظت پیوسته: 0.75 قوس و تبدیل: 1-1.5) $\Delta$ : دانسیته نسبی پوشش (Ss-1) $\Psi_{cr}$ : ضریب پایداری (0.035) $K_t$ : ضریب آشفتگی (آشفتگی معمولی: 1، آشفتگی بالا و پایین دست حوضجه‌های آرامش و خروجی کالورتها: 1.5-2) $K_h$ : فاکتور عمق $K_s$ : فاکتور شبیه $\theta$ : شبیه دیواره، $\phi$ : زاویه اصطکاک داخلی (معمولأً ۴۰°)، $\beta$ : زاویه شبیه طولی کanal $U_d$ : سرعت متوسط



شکل (۴): محاسبه  $K_b$  : شعاع قوس،  
B: عرض در کف)

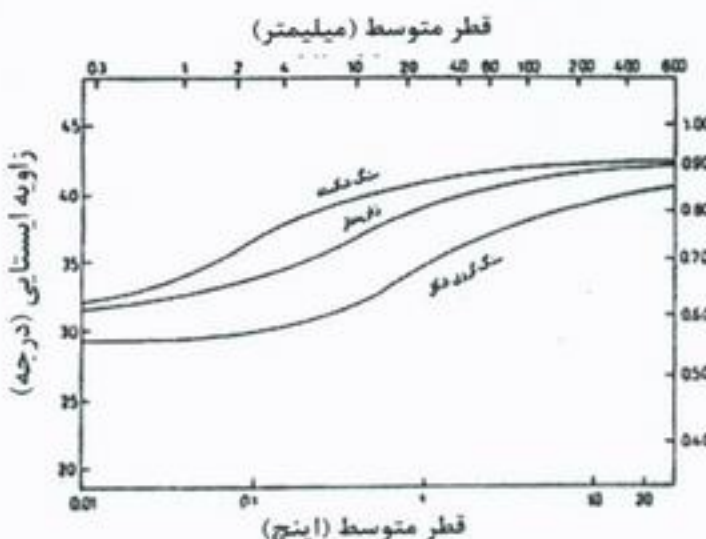
گام دوم: در صورت نیاز به حفاظت زوایای  $\theta$   
و  $\phi$  محاسبه می‌شوند.

زاویه‌ای (Material Angle of Repose:  $\phi$ )

که کف کناره مقطع با افق می‌سازد که می‌توان  
آن را به راحتی محاسبه کرد.

زاویه (Bank Angle With Horizontal:  $\theta$ )

ایستایی عبارت است از زاویه شبیبی که مصالح  
ریخته شده در آب به خود می‌گیرد. این زاویه در  
روابط پایداری مصالح مورد استفاده قرار می‌گیرد.  
زاویه ایستایی تابعی از اندازه و شکل ذرات می‌باشد،  
بدین معنی که هر چه ذرات بزرگتر باشند دارای  
زاویه ایستایی بزرگتری خواهند بود و همچنین برای  
یک اندازه یکسان هرچه ذرات گوشیدارتر باشند  
مقدار زاویه بیشتری ایجاد می‌کنند. شکل (۵) توسط  
سایمون جهت پیدا کردن  $\phi$  پیشنهاد گردیده است



شکل (۵): زاویه ایستایی بر حسب اندازه  
متوجه ذرات و شکل ذرات (Simons, 1955)

جدول (۲): سطوح مختلف آشفتگی جریان [۳]

شدت آشفتگی (TII)	سطح اغتشاش	موقعیت
	کیفی	
0/12	نممال (پایین)	بازه‌های مستقیم و خمهای ملایم
0/2	نممال (شدید)	گوشه‌های پوششها در بازه‌های مستقیم
0/۳۵ - ۰/۵	متوسط تا شدید	پایه‌های پل، آب شکنها، تبديلها
0/۶	خیلی شدید	پایین دست سازه‌های هیدرولیکی (سرریزها، کالورتها)، حوضچه‌های آرامش

با استفاده از جدول (۳) و مقایسه آن با تنش  
برشی رودخانه در مسیر مستقیم و تنش برشی  
رودخانه در محل قوس جهت مشخص شدن نیاز  
به حفاظت [۶].

جدول (۳): تنش برشی مجاز در شرایط مختلف  
(با استفاده از نتایج HEC-RAS) [۷]

Lining Category	Lining Type	Permissible Unit Shear Stress <sup>1</sup>	
		lb/in <sup>2</sup>	N/m <sup>2</sup>
Temporary <sup>2</sup>	Woven Paper Net	0.15	7.2
	Jut Net	0.45	21.5
	Fiberglass Roving:		
	Single	0.60	26.7
	Double	0.85	40.7
	Straw with net	1.45	69.4
	Cuted Wood Mat	1.55	74.2
Vegetative	Synthetic Mat	2.00	95.8
	Class A	3.70	177.2
	Class B	2.10	100.6
	Class C	1.00	47.9
	Class D	0.60	28.7
Gravel Riprap <sup>3</sup>	Class E	0.35	16.8
	25 mm	0.33	15.8
Rock Riprap <sup>3</sup>	50 mm	0.67	31.6
	150 mm	2.00	95.8
	300 mm	4.00	191.5

(تنش برشی در مسیر مستقیم)

$\tau_d$ : (استفاده از HEC-RAS)

(تنش برشی در محل قوس)

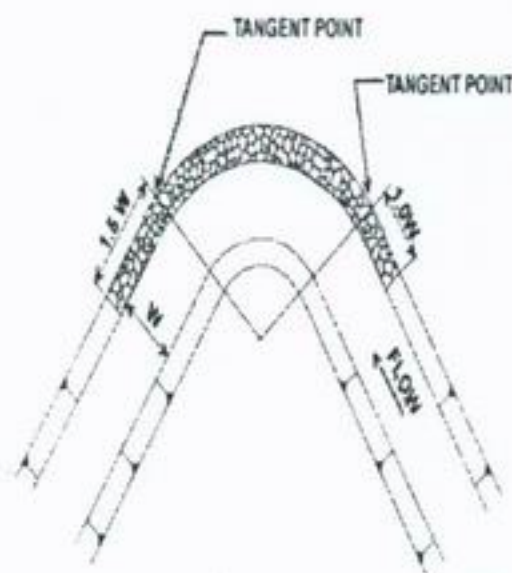
$$(K_b \tau_b = K_b \tau_d) \quad (\text{شکل شماره ۴})$$

If  $\tau_d, \tau_b < \tau_p$  نیاز به حفاظت نمی‌باشد

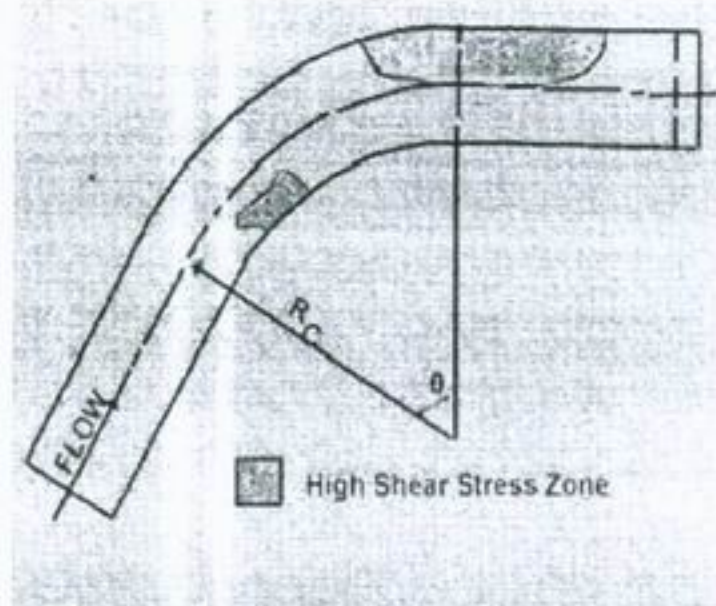
If  $\tau_d, \tau_b > \tau_p$  نیاز به حفاظت می‌باشد

**۵- مشخصات سنگچین (ارتفاع، طول، ضخامت، تعداد لایه، عرض پاشنه، عرض تاج و ...)**

پس از محاسبات مربوط به اندازه سنگ و تعیین اندازه سنگ کناره‌ها و کف و همچنین داشتن زاویه ایستایی ( $\phi$ )، مرحله بعدی مشخص نمودن ارتفاع و طول حفاظت می‌باشد. ارتفاع حفاظت از کف رودخانه تا ارتفاع مربوط به سیلاب ۱۰۰۰۰ ساله می‌باشد. طول ریپ رپ و مناطقی که نیاز به حفاظت دارند، در شکل‌های (۸) و (۹) آمده است.

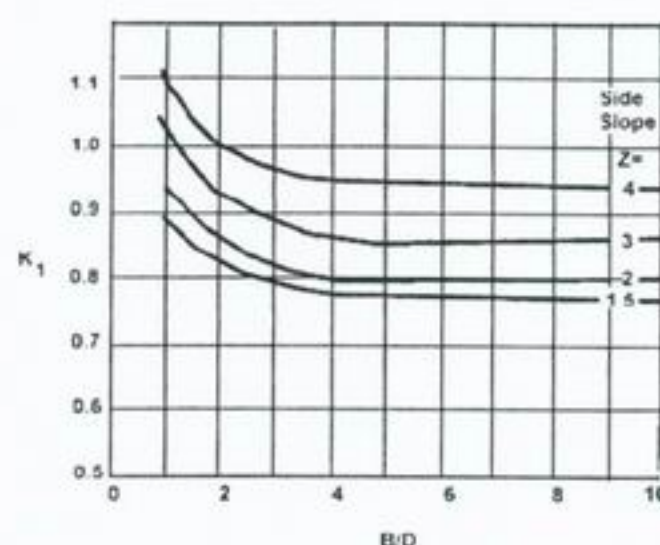


شکل (۸): نحوه چیدمان حفاظت در قوس خارجی [۶]

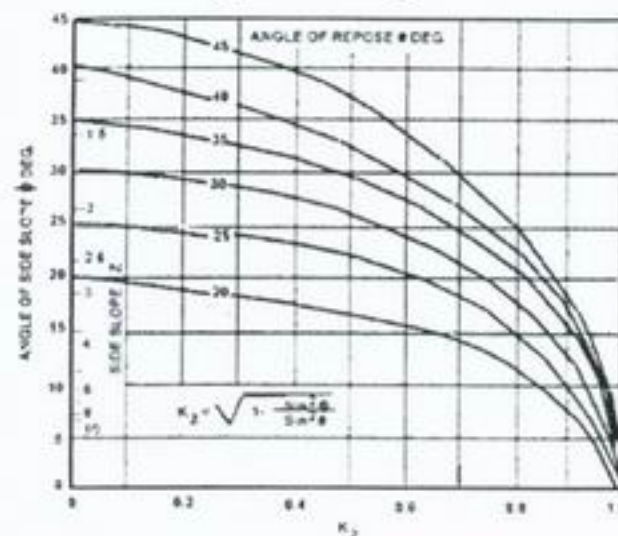


شکل (۹): نواحی که نیاز به حفاظت قوی‌تری دارد [۶]

گام سوم: محاسبه دو پارامتر  $K_1$  با توجه به شکل (۶) و  $K_2$  با توجه به شکل (۷).



شکل (۶): مقادیر  $K_1$



شکل (۷): مقادیر  $K_2$

گام چهارم: محاسبه  $D_{50}$  کناره با استفاده از روابط مختلف.

اندازه سنگ Rip Rap مربوط به حفاظت کف با اندازه سنگ Rip Rap کناره‌ها متفاوت می‌باشد. تعدادی از روابطی که در جدول (۱) آمده است تنש برشی و اندازه سنگ را در کف محاسبه می‌کنند رابطه‌ای نیز برای بدست آوردن تنش برشی و اندازه سنگ کناره‌ها توسط مرکز مهندسی هیدرولوژی آمریکا پیشنهاد شده است که به شرح رابطه (۱) می‌باشد:

$$(D_{50})_{\text{sides}} = \frac{K_1}{K_2} (D_{50})_{\text{Bottom}} \quad (1)$$

که پارامتر  $K_1$  و  $K_2$  قبلًا توضیح داده شده است [۷].

کمتر یا مساوی ۲۵ باشد، علاوه بر آن جهت ثبات بیشتر و جلوگیری از حرکت مواد اساس به داخل فیلتر لازم است که نسبت D15 لایه فیلتر به D15 لایه اساس بزرگتر یا مساوی ۵ باشد.

#### ۷- مصالح و روش اجرای سنگچین (Rip Rap)

مصالح باید از سنگهای غیر گوشه گرد تهیه شود. سنگها می‌باشد سخت، زاویه دار و مقاوم در برابر تغییرات آب و هوایی باشند. در مورد اجرای Rip Rap گاهی رودخانه را خشک کرده و یا آن قسمت از رودخانه که Rip Rap در آن اجرا خواهد شد خشک می‌شود و سپس Rip Rap اجرا می‌گردد. در بعضی مواقع و مناطقی هم که امکان انحراف جریان و یا خشک کردن رودخانه وجود ندارد، سنگهای لایه محافظ زیر آب حمل شده و سازه Stream Line تکمیل می‌شود. حفاظت باید و در جهت جریان اجرا شود.

#### ۸- نتیجه گیری

حفاظت جهت جلوگیری از آبستگی و فرسایش در ساحل رودخانه‌ها، مخصوصاً در قوس بیرونی آنها و خروجی نیروگاهها، حوضچه‌های آرامش، سرریزها و کالورتها که آشفتگی جریان در این مناطق زیاد می‌باشد به کار می‌رود. روشها و متدهای مختلفی جهت حفاظت استفاده می‌شود که بسته به شرایط طرح می‌توان از آنها استفاده کرد.

سنگچین یکی از روش‌های حفاظت می‌باشد که در طراحی آن روایت Ibash Maynord CIRIA Pilavczyk, Wallingford عمومی تر می‌باشد و نتایج بهتری میدهدند، ضمن اینکه اجرای سنگچین تابع قواعد خاصی می‌باشد و برای جلوگیری از شکست این سازه باید به

ضخامت Rip Rap حداقل شامل دو لایه D<sub>50</sub> می‌باشد، عرض در تاج حداقل ۲D<sub>50</sub> در نظر گرفته می‌شود، عرض در پاشنه پیشنهاد شده است [۶].

#### ۶- عوامل تخریب و شکست سنگچین (RipRap)

عموماً هر سازه‌ای در شرایط زمانی و مکانی احتمال تخریب را دارد. در جدول (۴) انواع تخریب سازه محافظ سنگی (RipRap)، علت تخریب و روش اصلاح و جلوگیری از تخریب آن بیان شده است [۱].

جدول (۴): عوامل تخریب و روش‌های جلوگیری از تخریب Rip Rap

انواع تخریب	علت	روش جلوگیری
خریب لبه‌ای	ضخامت کم لایه در نظر گرفته می‌شود	ضخامت لایه حداقل دو برابر D <sub>50</sub>
خریب لبه‌ای	ضخامت کم و اتصال نامناسب پاشنه کف به کناره‌ها	ضخامت پاشنه دو برابر شده و اجرا بدرستی صورت گیرد
خریب غربالی	ناهمواری تکیه گاه تکیه گاهها و اجرای یک لایه فیلتر	هموار کردن تکیه گاهها و اجرای ریپ و نبود زهکش

مسلمآ در نظر نگرفتن شرایط بالا مثل اجرای ضعیف Rip Rap و یا عدم اجرای فیلتر می‌تواند به شکست این سازه منجر شود. در مورد فیلتر لازم به ذکر است آبستگی و نشست را می‌توان با نصب لایه ای از فیلتر حاوی سنگدانه‌های ریز که بر روی شیروانی قرار می‌گیرند کنترل کرد. برای تامین پایداری لازم است که نسبت D15 لایه فیلتر به D85 لایه اساس کمتر یا مساوی ۵ باشد، همچنین نسبت D50 لایه فیلتر به D50 لایه اساس

نکات مطرح شده در متن تحقیق توجه نمود.

## ۹- مراجع

۱- امیر رضا زراتی. "مهندسی رودخانه".

دانشگاه صنعتی امیرکبیر (پلی تکنیک تهران).

جزوه درسی

۲- محمود شفاعی بجستانی. (۱۳۷۸) هیدرولیک

رسوب دانشگاه شهید چمران اهواز

۳- محمود قدسیان. "مهندسی رودخانه".

دانشگاه تربیت مدرس. جزو درسی

۴- مسعود مصباحی. (۱۳۸۵) بررسی و مقایسه

معیارهای طراحی پوشش سنگ در کارهای

مهندسی رودخانه. هفتمین سمینار بین المللی

مهندسی رودخانه

۵- دفتر استانداردها و معیارهای فنی سازمان

مدیریت منابع آب ایران. (۱۳۸۲) راهنمای

طراحی، ساخت و نگهداری پوشش ها در

کارهای مهندسی رودخانه

6- HEC. (2000). "Design of road side channels with flexible lining".

7- HEC. (2002). "Design of Rip Rap Revetment".

8-Escarmia. (1998)"River and Channel Revetment". Design Manual

آقای مهدی میرbagheri دارای مدرک کارشناسی  
ارشد عمران- هیدرولیک از دانشگاه صنعتی  
امیرکبیر(پلی تکنیک تهران) بوده و جمعاً  
۳ سال سابقه کار دارد که ۲ سال آن در شرکت  
مهندسين مشاور قدس نиро می باشد. زمينه  
کاري مورد علاقه ايشان طراحی سازه هاي  
هيدروليكي، مهندسي رودخانه و مهندسي  
محيط زيت می باشد.

## تلفیق مدیریت مواد زائد جامد و تولید انرژی - امکان سنجی تکنولوژی‌های مختلف در شهر رشت

حسین غیاثی نژاد

کارشناس ارشد عمران محیط زیست - مدیریت ارشد مهندسی بخار و انرژی‌های نو

### چکیده

تولید انرژی از پسماند در سالهای اخیر در چارچوب توسعه انرژی‌های نو مورد توجه دولت جمهوری اسلامی قرار گرفته است. این امر باعث شده که مکانیزم‌های حمایتی برای تولید این نوع از انرژی در قانون برنامه چهارم پیش بینی شود.

در همین راستا شهر رشت به عنوان اولین نمونه جهت انجام مطالعات فراگیر برای بررسی امکان تولید انرژی از پسماند انتخاب شده است. بدینهی است که انجام این امکان سنجی بدون در نظر گرفتن الزامات مربوط به مدیریت مواد زائد جامد امکان پذیر نیست. به همین منظور با تلفیق نیازهای مدیریت مواد زائد جامد و ضروریات مربوط به تولید انرژی چهار ترکیب مختلف از تکنولوژی‌های متفاوت پیشنهاد شده و مورد امکان سنجی قرار گرفته‌اند. این تکنولوژی‌ها عبارتند از: استخراج گاز محل دفن، جداسازی، زباله سوزی، هضم بی‌هوایی و کمپوست.

نتیجه بررسی این گزینه‌ها حاکی از این است که با توجه به ملاحظات اقتصادی مناسبترین گزینه برای استفاده در شهر رشت استخراج گاز محل دفن بوده و از سوی دیگر حتی با انتخاب ارزانترین گزینه باید میزان یارانه قابل توجهی توسط بخش عمومی برای عملی کردن راهکارهای موثر و مورد قبول به لحاظ زیست محیطی هزینه شود. همچنین جهت فراهم شدن امکان جذب سرمایه گذار و تقلیل میزان ریسک سرمایه گذاری در زمینه استحصال انرژی از پسماندها لازم است تا طرح جامع مدیریت پسماند در شهر رشت به عنوان پیش نیاز هرگونه سرمایه گذاری بعدی تهیه گردد.

**کلمات کلیدی:** مدیریت مواد زائد جامد، تولید انرژی، تکنولوژی

### ۱- مقدمه

انرژی از پسماند برای ۱۰ شهر کشور انجام گیرد. شهر رشت به عنوان اولین شهر مورد مطالعه امکان سنجی توسط شرکت قدس نیرو و شرکت فیشنر (از کشور آلمان) برگزیده شده و نتایج ارائه شده در این نوشتار بر اساس بخشی از یافته‌های این مطالعات تنظیم گردیده است. جهت انجام مطالعات امکان سنجی تولید انرژی از پسماند باید دو دسته معیارها و ضرورتها را به طور همزمان مد نظر داشت:

انرژی‌های نو در دهه اخیر مورد توجه دولت جمهوری اسلامی ایران قرار گرفته و در قانون برنامه چهارم جهت توسعه تولید و استفاده از این انرژی مشوق‌هایی مانند تعریفه تشویقی در نظر گرفته شده است. در همین راستا مقرر شده است که مطالعات پتانسیل سنجی برای شهرهای بزرگ کشور و همینطور مطالعات امکان سنجی استخراج

زمینه استخراج انرژی از پسماند، مورد مطالعه و بررسی قرار گرفت. جهت بررسی تناسب تکنولوژی برای استفاده در شهر رشت معیارهای ذیل جهت مقایسه تکنولوژی‌های مختلف مد نظر قرار گرفت:

- سابقه تکنولوژی و قابل اطمینان بودن آن
- حداقل ارزش حرارتی مواد ورودی برای تولید انرژی
- حداقل ظرفیت کاربردی هر تکنولوژی در مقایسه با میزان پسماند تولید شده در شهر رشت (۵۰۰ تا ۶۲۰ تن در روز تولید فعلی تا ده سال آینده).

در جدول (۱) خلاصه‌ای از این مقایسه نشان داده شده است.

قابل توجه است که در این جدول تکنولوژی‌هایی مانند پلاسما، پیرولیز و گازسازی به علت عدم وجود سابقه روشن و مناسب در زمینه بهره برداری موفق در زمینه پسماندهای شهری حذف شده‌اند.

۱- معیارها و ضرورت‌های مربوط به مدیریت مواد زائد جامد

۲- معیارها و ضرورت‌های مربوط به تولید انرژی در شکل (۱) این معیارها و ضرورت‌ها و نحوه تلفیق آنها جهت حصول یک روش مناسب برای مدیریت مواد زائد جامد ارائه شده‌اند. همچنین در این شکل شمای کلی روش پیشنهادی برای امکان سنجی ارائه گردیده است. در این روش امکان سنجی، ابتدا یک انتخاب اولیه در مورد تکنولوژی‌های تولید انرژی از پسماند انجام شده و تعدادی از این تکنولوژی‌ها به عنوان تکنولوژی‌های منتخب برگزیده می‌شوند. سپس با ترکیب این تکنولوژی‌ها، گزینه‌های متفاوتی برای استخراج انرژی از پسماند تدوین می‌شوند. با مقایسه این گزینه‌ها به لحاظ معیارهای زیست محیطی، فنی و اقتصادی گزینه برتر انتخاب و توصیه می‌شود.

## ۲- انتخاب تکنولوژی

در این مرحله کلیه تکنولوژی‌های موجود در



شکل (۱): معیارها و روش بررسی تکنولوژی‌های استخراج انرژی از پسماند

## جدول(۱): خلاصه بررسی تکنولوژی‌های تولید انرژی از پسماند و تناسب آنها برای شهر رشت

حداقل ظرفیت عملی			حداقل ارزش حرارتی			وضعیت تکنولوژی به لحاظ سابقه	تکنولوژی مورد بحث
امکان پذیری بالقوه	T/d	مورد نیاز d	امکان پذیری بالقوه	مورد نیاز	KJ/Kg		
بالقوه امکان پذیر	کاربرد ندارد	۶۲۰/۵۰۰	بالقوه امکان پذیر	کاربرد ندارد، وجود درصد بالای مواد آلی مناسب است.	وجود درصد بالای مواد آلی	موارد متواتر در دنیا و تجربه شده در ایران، امکان پذیر	سوزاندن گاز محل دفن
بالقوه امکان پذیر، به شرط جداسازی	۲۴	۶۲۰/۵۰۰ و ۵۰۰/۴۰۰ آلی	بالقوه امکان پذیر، به شرط جداسازی	کاربرد ندارد، وجود مواد آلی خالص مناسب است	کاربرد ندارد	تعداد زیادی نمونه با پسماند مخلوط و جدا شده در جهان، امکان پذیر	هضم بی هوازی
بالقوه امکان پذیر	۱۲۰	۶۲۰/۵۰۰	ناممکن	۶۰۰۰	۳۵۰۰	تعداد زیادی نمونه در جهان با ظرفیت و شرایط مشابه، امکان پذیر	سوزاندن پسماند مخلوط
بالقوه امکان پذیر	۵۰	۶۲۰/۵۰۰	ناممکن	۶۰۰۰	۴۵۰۰	نمونه های زیاد در ژاپن اما خارج از ژاپن مورد استفاده نیست، ناممکن	سوزاندن زباله در زباله سوز با سیستم بستر شناور
بالقوه امکان پذیر	۲۵	۱۲۵/۱۰۰	بالقوه امکان پذیر	کاربرد ندارد	کاربرد ندارد	تعداد زیادی در سرتاسر جهان اما به علت عدم وجود مجتمع صنعتی در اطراف ناممکن	استفاده از سوخت با پایه پسماند RDF در کوره های سیمان
بالقوه امکان پذیر	۲۵	۱۲۵/۱۰۰	بالقوه امکان پذیر	کاربرد ندارد	کاربرد ندارد	نمونه های زیاد در جهان و آلمان، امکان پذیر	تولید سوخت با پایه پسماند RDF
بالقوه امکان پذیر	۸۰	۱۲۵/۱۰۰	بالقوه امکان پذیر	۶۰۰۰	۱۵۰۰۰-۱۲۰۰۰	تعداد محدودی نمونه مشابه ویژه سوزاندن RDF، امکان پذیر	سوزاندن RDF در زباله سوز توده سوز
بالقوه امکان پذیر	۵۰	۱۲۵/۱۰۰	بالقوه امکان پذیر	۶۰۰۰	۱۵۰۰۰-۱۲۰۰۰	دارای نمونه های محدود در دنیا و رو به گسترش، امکان پذیر	سوزاندن RDF در زباله سوز با بستر شناور

توده سوزی را نداشته و تنها برای انواع خاصی از پسماندهای فرآوری شده به کار می‌رود.

استحصال گاز از محل دفن: در این روش با کارگذاری لوله‌ها با فواصل مناسب در توده دفن شده پسماند در محل دفن پسماندها، گاز حاصل از فرآیند بی‌هوایی (عموماً متان) به وسیله مکش کنترل شده، جمع‌آوری گردیده و پس از تصفیه (شامل رطوبت‌گیری و در صورت لزوم حذف سولفید هیدروژن) در مولدات انرژی (عموماً سولفید هیدروژن) در مولدات انرژی (عموماً موتورهای گازی - Gas engines) سوزانده می‌شود.

تولید سوخت با پایه پسماند (RDF)، سوخت با پایه پسماند بخشی از پسماند تولید شده صنعتی یا شهری است که دارای ارزش حرارتی بالایی بوده و با فرآیندهای مختلف مکانیکی از پسماند مخلوط جدا می‌شود. بخش جداشده سپس تحت اثر فرآوری‌هایی مانند خرد کردن، خشک کردن، متراکم کردن، ... قرار گرفته و مواد حاصل می‌توانند بر حسب فرآوری انجام شده به عنوان سوخت در بویلهای یا کوره‌های سیمان و یا دیگر فعالیتهای تولید انرژی به کار روند.

کمپوست: در این روش پسماندهای مخلوط به روش‌های مکانیکی (سرنده، آهربا، جریان هوا ...) جداسازی شده و بخش فساد پذیر آن برای فرآیند کمپوست انتخاب می‌شود. مواد آلی جدا شده به روش‌های مختلفی هوا دهی شده تا سرعت تجزیه آنها افزایش یابد. برای بهینه کردن هوا دهی عموماً پسماندها خرد شده و رطوبت آنها تنظیم می‌شود. پس از هوا دهی مواد تجزیه شده برای مدت نسبتاً طولانی انباسته می‌شوند تا تجزیه آنها کامل شود (کمپوست بررسد) و سپس به عنوان کمک کود (Conditioner) مورد استفاده قرار گیرد. گزینه‌هایی با استفاده از ترکیبات مختلف از این تکنولوژی‌ها در نظر گرفته شده و در مرحله بعدی مقایسه می‌شوند.

#### 1- Refused Derived Fuel

همانگونه که در جدول (۱) مشخص شده است تکنولوژی‌های ذیل برای تولید انرژی از پسماند مناسب تشخیص داده شده اند:

- استحصال گاز از محل دفن
- هضم بی‌هوایی
- تولید سوخت با پایه پسماند (RDF<sup>۱</sup>)
- کمپوست
- سوزاندن سوخت با پایه پسماند در زباله سوزهای توده سوز
- سوزاندن سوخت با پایه پسماند در زباله سوزهای با بستر شناور

هضم بی‌هوایی: در هضم بی‌هوایی، مواد قابل تجزیه بیولوژیکی بوسیله یک سری از باکتری‌ها به متان و  $\text{CO}_2$  تبدیل می‌شوند. گروه اول، مواد آلی بزرگ ملکول را به واحدهای کوچکتری مثل قند می‌شکنند. این مرحله به مرحله هیدرولیز معروف است. گروه دیگری از باکتری‌ها، این مواد کوچک مولکول را به اسیدهای چرب فرار (عمدتاً استات و به مقدار کمتر  $\text{H}_2$  و  $\text{CO}_2$ ) تبدیل می‌نمایند، که فرآیند اسید سازی نام دارد. آخرین گروه باکتری‌ها، (تولید کنندگان متان یا متانوژن‌ها) نیز از استات و هیدروژن  $\text{CO}_2$ ، بیوگاز (متان و دی‌اکسید کربن) تولید می‌نمایند.

زباله سوزی به روش توده سوزی: در این روش پسماند در یک کوره دارای بستر مشبک متحرک در اثر دمیدن هوای بسیار گرم از زیر بستر از بستر جامد به صورت مستقیم گاز آزاد می‌کند. گاز حاصله پس از جداسازی از بستر جامد مشتعل شده و می‌سوزد. این روش به علت اینکه مستقیماً از توده زباله، گاز آزاد کرده و اشتعال ایجاد می‌کند توده سوزی (Mass Burn) می‌گویند.

زباله سوزی با بستر شناور: در این روش زباله خرد شده واژ پیش فرآوری شده در اثر فشار هوا در گرمای فضای کوره معلق شده و در تماس با اکسیژن شعله ور منی‌شوند. این روش عمومیت روش

### ٣- بررسی وضع موجود مدیریت مواد زائد

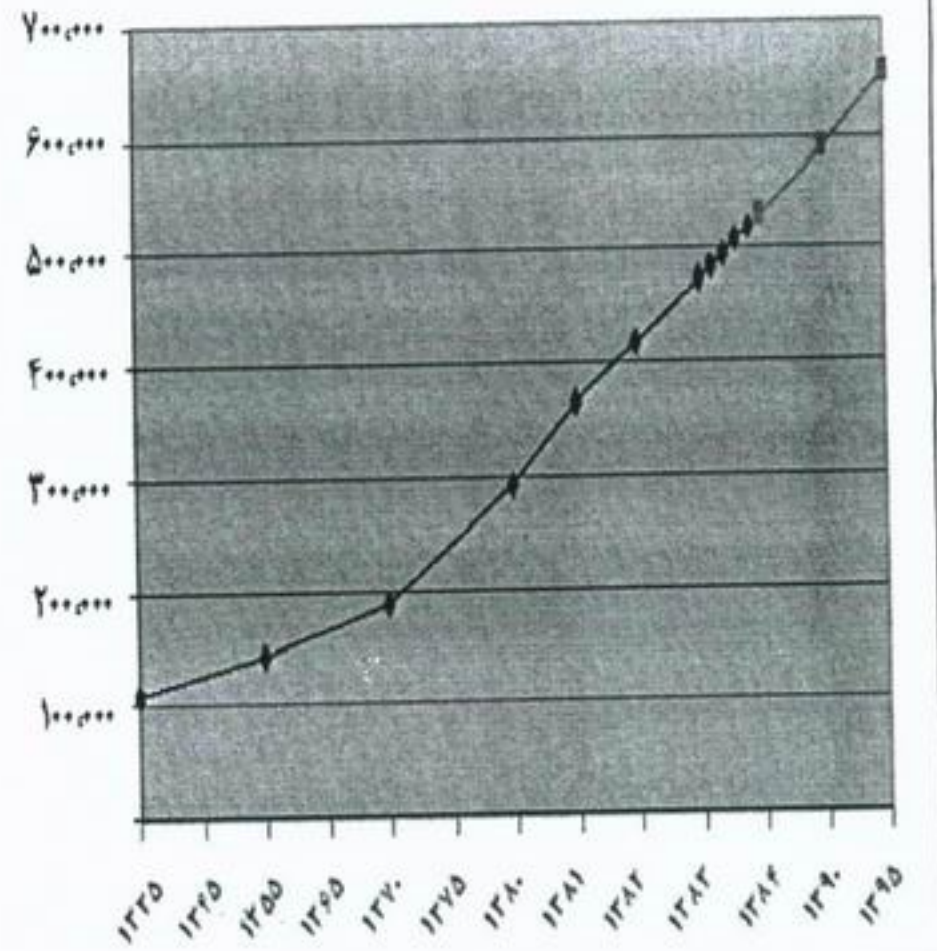
جامد شهر رشت

شهر رشت در مرکز استان گیلان و در منطقه شمال ایران قرار گرفته است. این شهر از شمال به دریای خزر و تالاب انزلی (تالاب بین المللی) ختم می‌گردد. جمعیت شهر بالغ بر ۵۰۰،۰۰۰ نفر می‌باشد و این جمعیت به علت حضور تعداد زیادی از مسافران داخلی در تعطیلات فصول بهار و تابستان، دارای تغییرات فصلی است.

## مدیریت پسمندها در شهر رشت توسط دو ارگان انجام می‌شود:

- سازمان بازیافت و تبدیل مواد شهرداری رشت
  - موسسه بازیافت و مدیریت پسماندهای جامد استان گیلان زیر نظر استانداری استان گیلان
  - جمعیت شهر رشت در سال ۱۳۸۴، حدود ۵۲۰،۰۰۰ نفر تخمین زده شده است.
  - نرخ رشد جمعیت بر اساس طرح جامع پسماند استان گیلان برای سال های ۱۳۸۵ تا ۱۳۹۰ برابر

سال	مجموع
١٤٣٥	٩٤٩٦
١٤٤٥	٤٠٥٤٧
١٤٥٥	٨٩٥٧
١٤٦٥	٩٧٩٧
١٤٧٠	٦٥٨٩
١٤٧٥	٧٧٤٨
١٤٨٠	٧٧٧٤
١٤٨١	٤٦٤٦٤٨
١٤٨٢	٩٦٠٢
١٤٨٤	٧٧٩٨
١٤٨٤	٩٤٨٦



شکل (۲): نمایی از میزان جمعیت شهر رشت و پیش‌بینی این جمعیت برای سالهای آینده

- بازار پایداری برای کمپوست در منطقه وجود ندارد.
- محل دفن سراوان از طریق راه یافتن شیرابه به آب های سطحی و زیرزمینی و انتشار کنترل نشده گاز به جو و تغذیه حیات وحش از محل دفن به محیط زیست آسیب می رساند.

#### ۴- توسعه گزینه های ترکیبی

در این بخش ترکیبات مختلفی از گزینه های بر شمرده شده مورد بررسی قرار گرفت و چهار ترکیب برای بررسی بیشتر، انتخاب گردید. در ترکیب تکنولوژی های مختلف معیار های ذیل مد نظر قرار گرفت:

- شرایط بهینه خوراک هر تکنولوژی با استفاده از بخش های متفاوتی از پسماند موجود تهیه می شوند. زباله سوزی تنها در صورتی بدون نیاز به کمک سوخت اتفاق می افتد که از بخشی از پسماند با ارزش حرارتی بالا استفاده شود، در حالی که بخش آلی و مرطوب مواد بهترین خوراک برای هضم بی هوایی محسوب می شود.

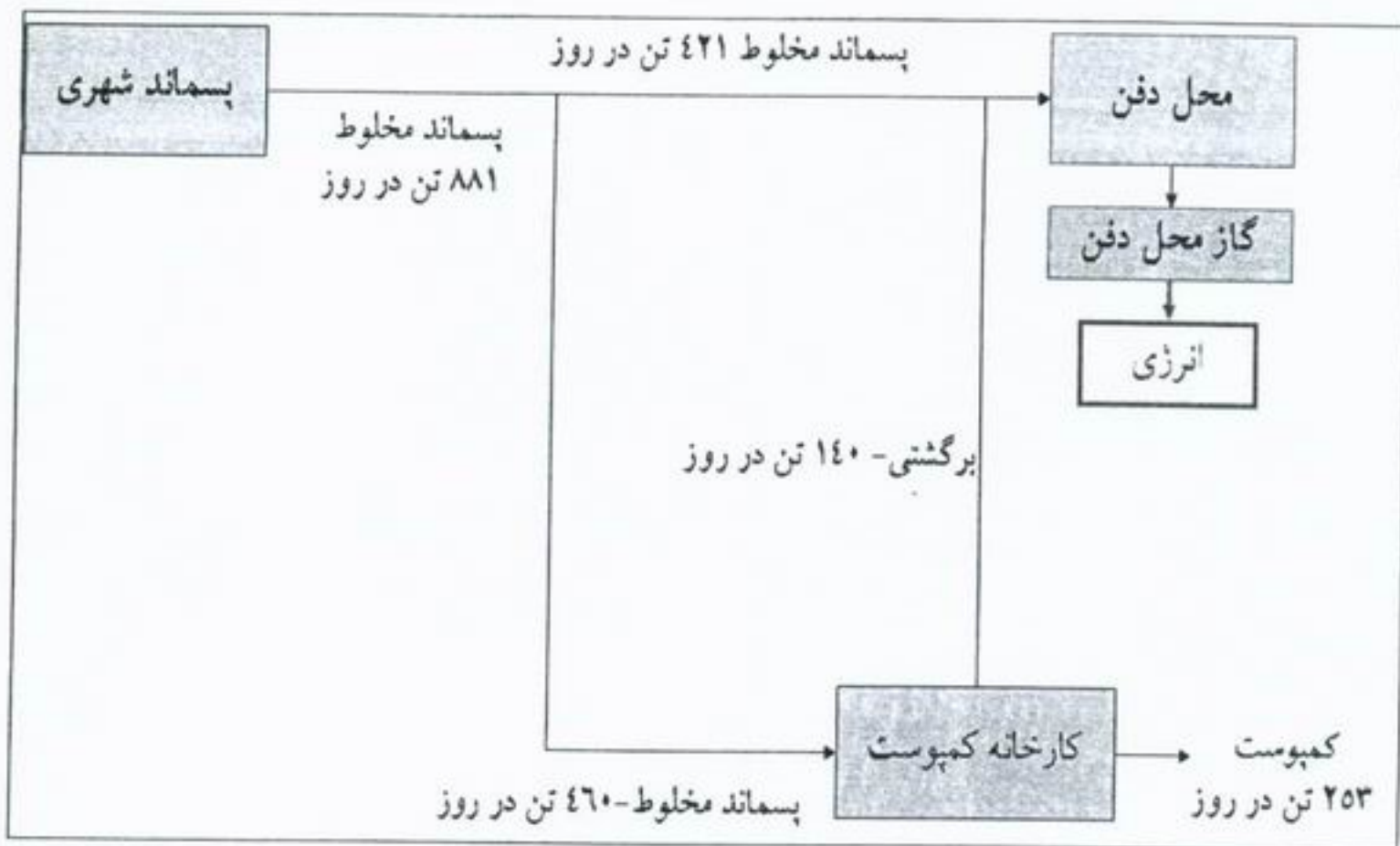
بر مبنای پیش بینی انجام شده برای میزان جمعیت و همینطور با در نظر گرفتن رشد تولید سرانه پسماند در شهر رشت پیش بینی برای کمیت و کیفیت پسماند در سال ۲۰۱۶ انجام شده که نتایج آن را به صورت مقایسه ای در جدول (۲) مشاهده می نمایید. در مورد وضعیت موجود مدیریت مواد زائد جامد در شهر رشت می توان موارد ذیل را به طور خلاصه بر شمرد:

- هیچگونه فعالیتی در زمینه کاهش از مبدأ انجام نمی گیرد.
- هیچگونه فعالیتی در زمینه تفکیک از مبدأ انجام نمی گیرد.
- جمع آوری پسماند به صورت مخلوط و روزانه صورت می گیرد.
- ایستگاه های انتقال در شهر مورد استفاده قرار نمی گیرند.
- در محل دفن فعلی در سراوان هیچگونه کنترل زیست محیطی صورت نمی گیرد.
- بازیافت به صورت محدودی توسط بخش غیر رسمی به میزان ۵٪ تا ۷٪ صورت می گیرد.

جدول (۲): کمیت و کیفیت پسماند تولیدی در شهر رشت و پیش بینی آینده

مشخصه	سال ۲۰۱۶	سال ۲۰۰۶
جمعیت	۶۵۴.۰۰۰	۵۲۰.۰۰۰
میزان پسماند تولیدی در شهر رشت (تنها شهر رشت)	۶۷۴ تن در روز	۵۲۰-۴۶۸ تن در روز
پسماندهای صنعتی، بیمارستانی، باغبانی	۵۰ تن در روز	۴۰ تن در روز
اجزا پس از برداشت دوره گردان - فسادپذیر	درصد وزنی ۷۷	درصد وزنی ۷۹
- کاغذ و مقوا	۹/۸۰	۸/۵۰
- پلاستیک	۱۰	۹/۵۰
- چوب	۰/۷۵	۰/۸۰
- دیگر مواد	۲/۴۵	۲/۲۰

- سوزاندن پسماند مخلوط به همراه کمپوست مواد آلی (گزینه ۴): استفاده از این گزینه به لحاظ حل مشکل دفع پسماند در شهر رشت در صورتی که امکان ساخت محل دفن در محدوده شهر وجود نداشته باشد پیش بینی شده است. ویژگی این گزینه تمرکز بر زباله سوزی با هدف کم کردن نیاز به محل دفن است. گزینه (۱) از سه بخش اصلی تشکیل شده است:
  - محل دفن قدیم پس از بهسازی و نصب تجهیزات برای استخراج گاز از محل دفن و تولید انرژی
  - یک محل دفن جدید و نصب تجهیزات تولید انرژی از محل دفن
  - کارخانه کمپوست موجود
 انتخاب این گزینه به مفهوم ادامه روند فعلی در شهر رشت خواهد بود با این تفاوت که تنها تولید انرژی به وضع موجود اضافه شده و حداقل معیارهای زیست محیطی مدنظر قرار خواهد گرفت، ضمن اینکه برای ممکن ساختن بهسازی محل دفن موجود، محل دفن جدیدی مورد بهره برداری قرار خواهد گرفت.
- در شکل (۳) شمای کلی جا به جایی مواد در گزینه (۱) مشاهده می گردد.
- گزینه (۲) از بخش های ذیل تشکیل شده است:
  - محل دفن قدیم پس از بهسازی و نصب تجهیزات برای استخراج گاز از محل دفن و تولید انرژی
  - یک محل دفن جدید و نصب تجهیزات تولید انرژی از محل دفن
  - کارخانه کمپوست موجود
  - یک پلات جدادسازی برای جدادسازی مواد بازیافتی، اجزای با ارزش حرارتی بالا و مواد باقیمانده
  - یک پلات زباله سوز برای سوزاندن سوخت فرآوری نشده با پایه پسماند و تولید انرژی
 این گزینه یک گزینه میانه بین جایگزینی وضع
- اگرچه گاز آلی در محل دفن تنها از بخش فسادپذیر پسماند تولید می شود اما محل دفن می تواند جز در موارد استثنایی پذیرای تمامی اجزای پسماند باشد. لذا بخش هایی از پسماند که مناسب برای استفاده در دیگر تکنولوژی ها نیستند می توانند در محل دفن پذیرفته شوند.
- گزینه های مورد استفاده باید دامنه ای از گزینه های پیچیده تا ساده ، گران تا ارزان، با تولید انرژی بالا تا تولید انرژی پایین، و گزینه هایی با حداکثر تا حداقل مطلوبیت زیست محیطی را تحت پوشش قرار دهند.
- با توجه به موارد فوق گزینه های مورد نظر برای بررسی بیشتر در مطالعات امکان سنجی به صورت ذیل تعیین شدند:
- استخراج گاز از محل دفن به تنها بیانی (گزینه ۱): این گزینه به مفهوم ادامه روند فعلی در شهر رشت خواهد بود با این تفاوت که تنها تولید انرژی به وضع موجود اضافه شده و حداقل معیارهای زیست محیطی مدنظر قرار خواهد گرفت.
- استخراج گاز از محل دفن و سوزاندن سوخت با پایه پسماند در زباله سوز(گزینه ۲): این گزینه یک گزینه میانه به لحاظ پیچیدگی و هزینه بوده و با اضافه کردن یک دستگاه زباله سوز جهت سوزاندن بخشی از پسماند با ارزش حرارتی بالا به گزینه یک حاصل می شود. این امر باعث افزایش تولید انرژی نسبت به گزینه (۱) شده و میزان استفاده از محل دفن را کاهش می دهد اما از سوی دیگر باعث افزایش پیچیدگی پروژه شده و هزینه ها را افزایش می دهد.
- هضم بی هوایی و سوزاندن سوخت با پایه پسماند (گزینه ۳): این گزینه پیچیده ترین گزینه مورد بررسی در گزارش است که حداقل استفاده از محل دفن و بیشترین میزان تولید انرژی را مورد نظر داشته است. این گزینه همچنین به عنوان گزینه با بیشترین هزینه در میان دیگر گزینه هاست.

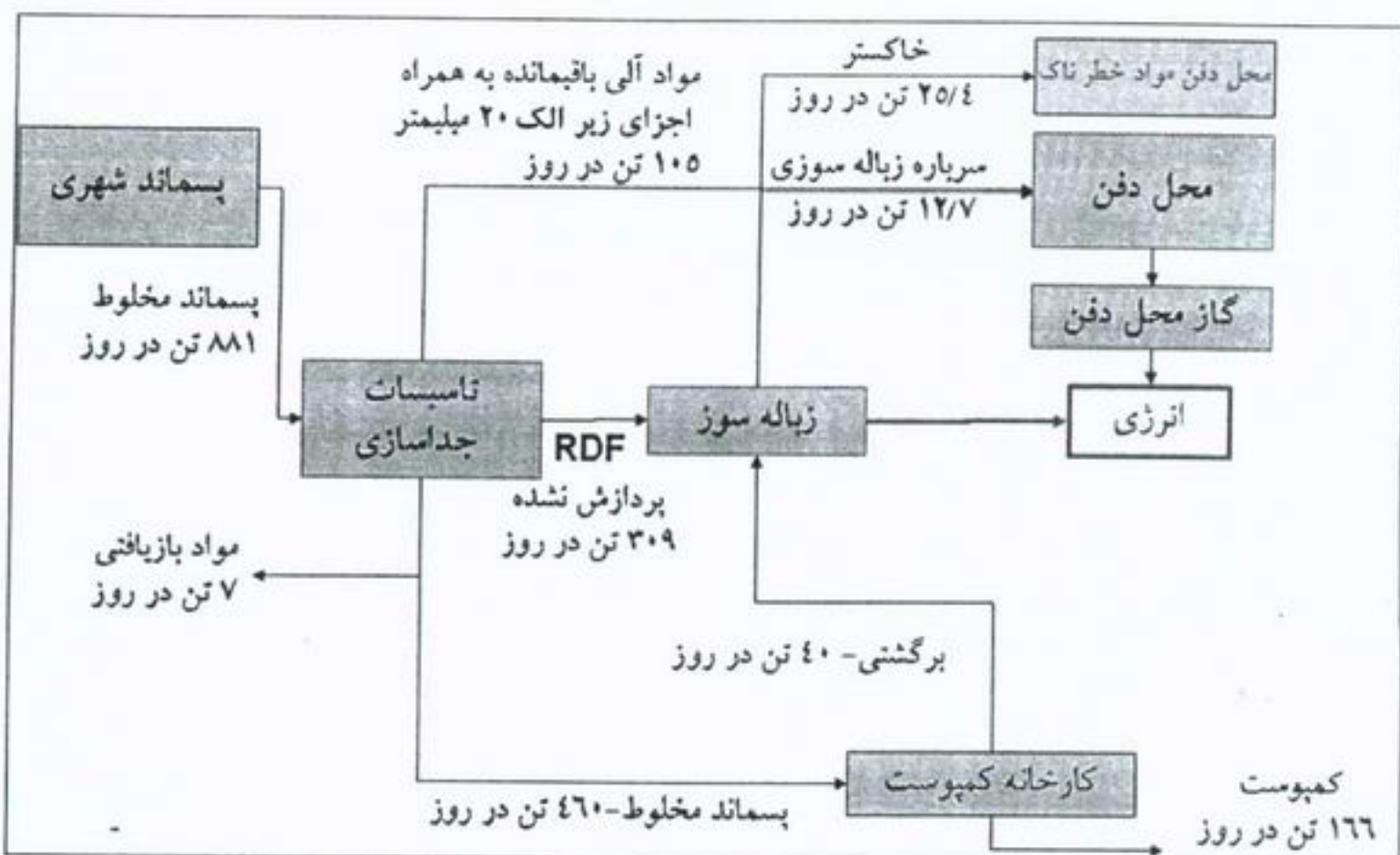


شکل (۳): شمای کلی چیدمان تکنولوژی‌ها و تعادل جرمی مربوطه برای گزینه (۱)

نشده و هزینه و سودهای احتمالی آن در گزینه‌ها منظور نخواهد شد.

در شکل (۴) شمای کلی اجزای گزینه (۲) و جایه جایی مواد را در آن مشاهده می‌نمایید.

موجود با تکنولوژی‌های نوین و وضعیت موجود است. آنچه باید در این گزینه (و گزینه‌های دیگر) مد نظر قرار گیرد این است که کارخانه کمپوست موجود به عنوان بخشی از پروژه، در نظر گرفته



شکل (۴): نمودار شماتیک نحوه چیدمان تکنولوژی‌ها و تعادل جرمی مربوطه برای گزینه (۲)

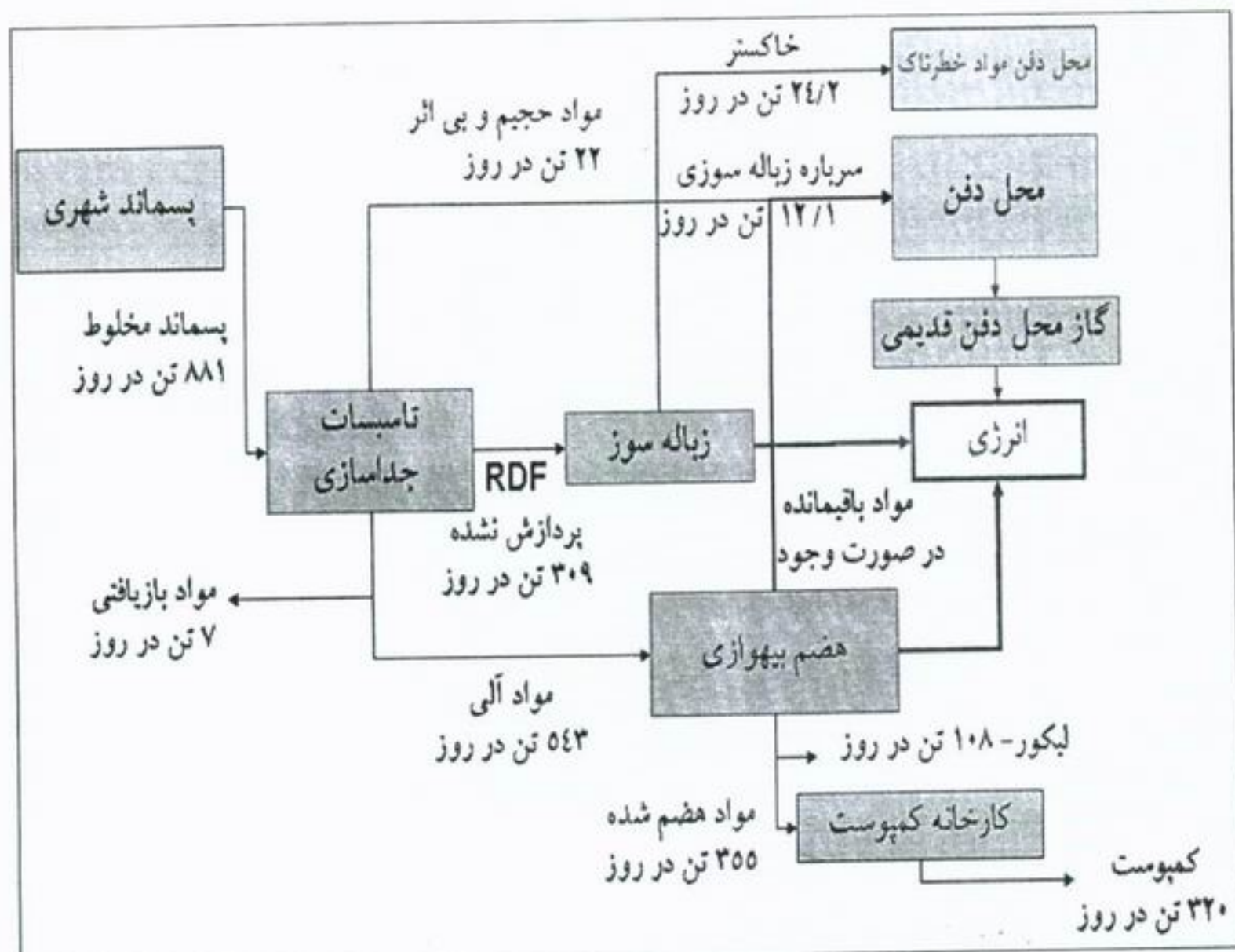
در شکل (۵) شمای کلی اجزای گزینه (۳) و جا به جایی مواد را در آن مشاهده می نمایید. گزینه (۴) از اجزای اصلی ذیل تشکیل شده است:

- بهسازی محل دفن قدیم و نصب تجهیزات برای استخراج گاز از محل دفن و تولید انرژی
- ادامه کار کارخانه کمپوست موجود
- یک پلاتت جداسازی برای جداسازی مواد بازیافتی و مواد آلی برای فرآیند کمپوست
- یک پلاتت زباله سوز برای سوزاندن پسماند مخلوط در شکل (۶) شمای کلی اجزای گزینه (۴) و جا به جایی مواد را در آن مشاهده می نمایید.

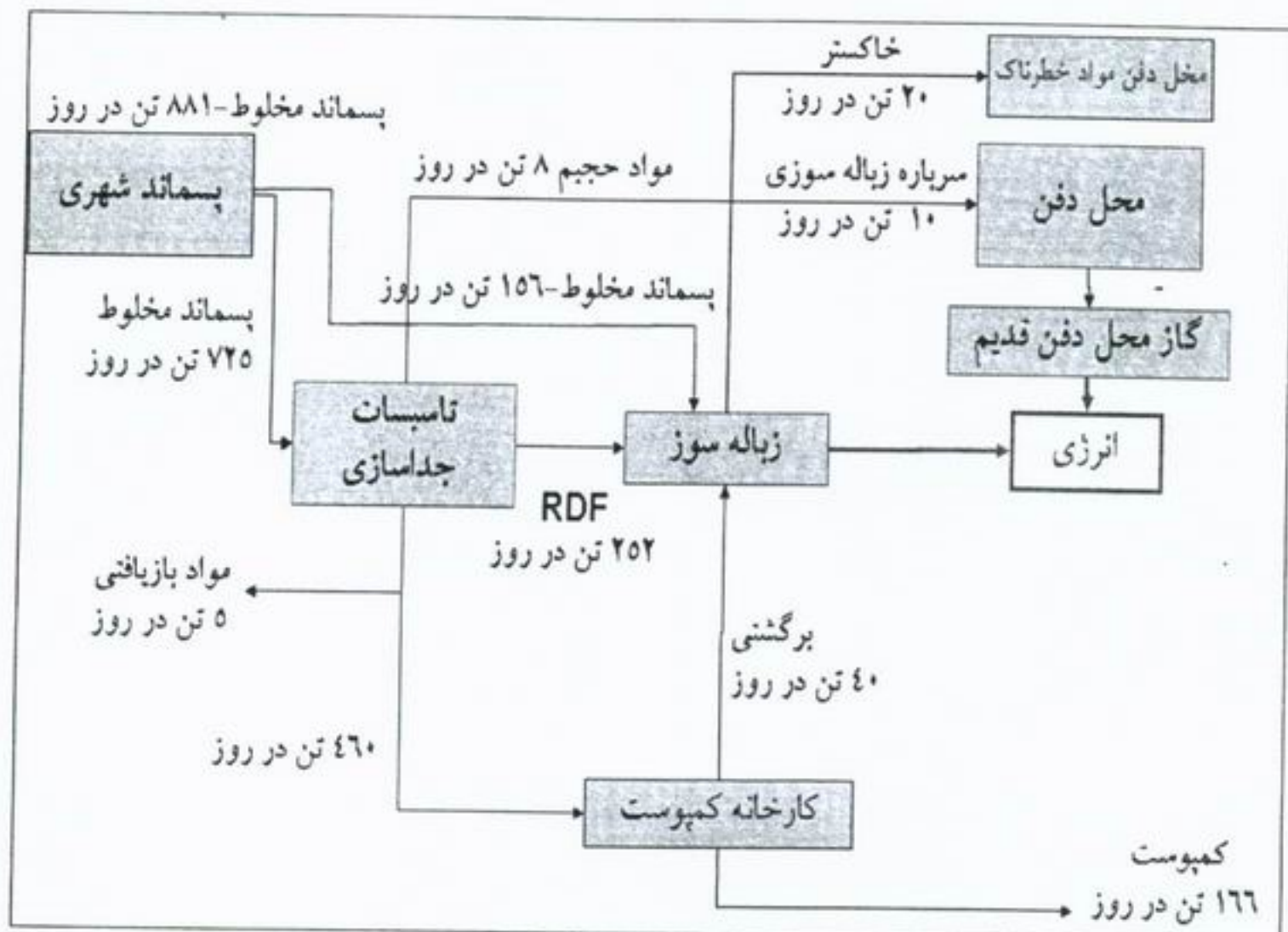
### ۵- مقایسه گزینه‌ها و نتیجه گیری

با توجه به خط مشی انجام پروژه و ارائه خدمات مهندسی، می‌بایستی پس از تدوین گزینه‌ها، طراحی

- گزینه (۳) از فعالیتهای اصلی ذیل تشکیل شده است:
- بهسازی محل دفن قدیم و نصب تجهیزات برای استخراج گاز از محل دفن و تولید انرژی
  - ساخت یک محل دفن جدید و نصب تجهیزات تولید انرژی از محل دفن
  - ادامه کار کارخانه کمپوست موجود
  - یک پلاتت جداسازی برای جداسازی مواد بازیافتی، اجزای با ارزش حرارتی بالا و مواد باقیمانده
  - یک پلاتت زباله سوز برای سوزاندن سوخت فرآوری نشده با پایه پسماند و تولید انرژی
  - یک پلاتت هضم بی‌هوایی برای تولید گاز آلی و متعاقباً انرژی و مواد آلی هضم شده<sup>۱</sup> برای استفاده در کارخانه کمپوست.



شکل (۵): تمودار شماتیک نحوه چیدمان تکنولوژی‌ها و تعادل جرمی مربوطه برای گزینه (۳)



شکل (۶): نمودار شماتیک چیدمان تکنولوژی‌ها و تعادل جرمی مربوطه در گزینه (۴)

شهروندان دریافت گردد و یا از منابع عمومی تامین شود.

- با توجه به حجم بالای سرمایه گذاری (که از طرف بخش خصوصی یا دولتی انجام شود) نبود یک طرح جامع مدیریت پسماند که مدیران نسبت به آن متعهد باشند باعث افزایش ریسک سرمایه گذاری شده و جذب سرمایه گذار را مشکل می نماید، لذا لازم است که طرح جامع مدیریت پسماند شهر رشت در اسرع وقت جهت پشتیبانی استقرار سیستم های تولید انرژی از پسماند تدوین شود.

در خاتمه یادآوری می گردد، مباحثه و مقایسه (۴) گزینه شهر رشت در حال حاضر بین کارفرمای پروژه، شرکت فیشنر و این مهندسین مشاور در حال انجام می باشد و پس از نتیجه گیری نهایی و تعیین گزینه بهینه طراحی مقدماتی و تعیین مشخصات فنی تجهیزات انجام می گیرد.

مفهومی در حد مورد نیاز جهت امکان سنجی انجام گرفته و هزینه‌های سرمایه گذاری و بهره برداری هر گزینه (بدون احتساب هزینه‌های مربوط به کمپوست) محاسبه گردید. همچنین میزان انتشارات زیست محیطی هر یک از گزینه‌ها بررسی شده و عملکرد فنی گزینه‌ها نیز مورد مقایسه قرار گرفته‌اند. با توجه به هزینه تولید برق حتی در ارزانترین گزینه نیز چندین برابر تعرفه خرید ترجیحی ارائه شده توسط دولت بوده، لذا تنها با تکیه بر تعرفه ترجیحی دولت برای خریداری انرژی برق نمی‌توان تکنولوژی‌های موجود را (به صورت استاندارد) استقرار داد.

ذکر دو نکته در اینجا ضرورت دارد:

- برای جبران هزینه‌های استقرار تکنولوژی‌ها لازم است هزینه اضافی از طرف بخش عمومی (دولت یا شهرداری) پرداخت شود که این هزینه‌ها باید به صورت تعرفه از

## ۶- مراجع

[1] BC Berlin in Cooperation with Gueno, Tehran Landfill Preparation Study, 2004

[2] Feasibility study for WTE technologies in Iran, First interim report for Rasht city, Ghods Niroo Consulting Engineers in cooperation with Fichtner, 2006

[3] Feasibility study for WTE technologies in Iran, Second interim report for Rasht city, Ghods Niroo Consulting Engineers in cooperation with Fichtner, 2006

[4] EU Council, Council Directive 1999/31/EC on the Landfill of Waste, Official Journal of European Communities, April 1999

[5] municipal solid waste incineration, a decision making guide, T.Rand, Haukoul, U. Marxen, World bank publication,2002

[6] Landfill gas-to-energy project development handbook, EPA-430-96-0004, 1996

آقای حسین غیاثی نژاد دارای مدرک کارشناسی عمران و کارشناسی ارشد عمران- محیط زیست از دانشگاه تهران بوده و در حال حاضر دانشجوی دکترا محیط زیست در دانشگاه تهران می باشد. ایشان دارای ۱۰ سال سابقه کار بوده و مدت یکسال است که با قدس نیرو همکاری دارد. زمینه علاقمندی آقای غیاثی نژاد مدیریت پسماند و طراحی با مصالح ژئو سینتیکی است.

## قابلیت اضافه بار ترانسفورمرهای قدرت

### کاوس قصبه

سرپرست گروه تخصصی برق - مدیریت ارشد مهندسی صنایع نیروگاهی

### چکیده

ترانسفورمرهای قدرت قادر هستند تحت شرایط خاصی بار بیش از ظرفیت اسمی خود را تحمل کنند بدون اینکه از عمر مفید آنها کاسته شود. در این مقاله قابلیت اضافه بار ترانسفورمر رونوی براساس استاندارد IEC (مرجع ۱) مورد بررسی قرار گرفته و چگونگی استفاده از جداول ارائه شده در استاندارد تشریح می‌گردد.

حرارتی <sup>۲</sup> عایق را نسبت به عمر نرمال تعیین می‌کند. دمای مورد استفاده در محاسبات، دمای نقطه داغ سیم پیچ <sup>۴</sup> ( $T_h$ ) است که بالاترین دمای ممکن در داخل ترانسفورمر و عامل تعیین کننده اصلی قابلیت بار اسمی و اضافه بار ترانسفورمر می‌باشد.

### ۲- میزان نسبی فرسودگی حرارتی

جهت سادگی این فاکتور را ضریب فرسودگی می‌نامیم همانطور که اشاره شد تعیین طول عمر دقیق ترانسفورمر مشکل است ولی ضریب فرسودگی آن با دقت کافی قابل محاسبه است. طبق مرجع ۱ عمر نرمال ترانسفورمر رونوی تحت شرایط کاری ذیل سپری می‌گردد:

- کار دائم با ظرفیت اسمی
- دمای نقطه داغ  $T_h = 98^{\circ}\text{C}$

• دمای متوسط سالانه محیط  $T_a = 20^{\circ}\text{C}$

در کار با شرایط فوق، ضریب فرسودگی برابر واحد است یعنی میزان فرسودگی حرارتی در عرض یک شبانه روز کاری برابر ۲۴ ساعت است. ضریب فرسودگی براساس رابطه ذیل تعریف می‌گردد:

$$V = \frac{T_h}{98} = \frac{\text{میزان فرسودگی بازه}}{\text{میزان فرسودگی بازه}}^{(T_h-98)/6} \quad (1)$$

1- Normal -Life

2- Thermal aging

3- Relative Thermal aging rate

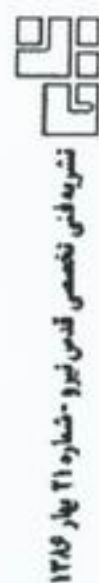
4- Winding Hotspot Temperature

### ۱- مقدمه

ترانسفورمرها قادر هستند با ظرفیت اسمی خود تحت شرایط استاندارد بطور دائم کار کنند و تحت این شرایط کاری، دارای طول عمر مفید خواهند بود که عمر نرمال <sup>۱</sup> نامیده می‌شود.

عمر ترانسفورمر عمدهاً توسط میزان فرسودگی عایق سیم پیچ آن تعیین می‌گردد و فرسودگی عایق نیز شدیداً به دمای کار بستگی دارد که فرسودگی حرارتی <sup>۲</sup> نامیده می‌شود. دمای کار عایق از مجموع دمای محیط و دمای داخلی ترانسفورمر تشکیل می‌گردد. دمای داخلی از گرمای ایجاد شده توسط تلف اهمی <sup>۳</sup> R.I و تلف هسته حاصل می‌شود و لذا هنگام اضافه بار برمقدار آن افزوده گردیده و باعث کاهش عمر مفید عایق می‌شود.

مطالعات زیادی جهت تعیین طول عمر دقیق عایق صورت گرفته و ادامه دارد ولی با توجه به اینکه نوع بهره برداری از ترانسفورمر نیز در تعیین آن دخیل است به نتیجه قابل قبول عمومی نرسیده است، ولی آنچه که برای ترانسفورمر رونوی مورد قبول واقع شده، قانون ۶ درجه است که براساس آن به ازاء هر ۶ درجه سانتیگراد افزایش دمای کار عایق، میزان فرسودگی آن دو برابر می‌گردد. براساس این قانون، استاندارد IEC میزان فرسودگی نرمال را مبنای (1pu) قرار داده و میزان نسبی فرسودگی



ساعت بر ضریب عمر بدست آمده و از رابطه ذیل محاسبه می‌گردد.

$$H = 24 \times 2^{(98-\text{Th})/6} \quad (2)$$

### ۳- محاسبه کاهش عمر

در صورتیکه ترانسفورمر در شرایط نرمال حرارتی ( $T_h = 98^{\circ}\text{C}$ ) کار کند، کاهش عمر آن در اثر گذشت زمان (ساعت، روز و یا ماه) به ترتیب بصورت Normal months و یا days، Normal hours و یا hours بیان می‌شود. به عنوان مثال ترانسفورمری که یک ماه بصورت پیوسته تحت شرایط ( $T_h = 98^{\circ}\text{C}$ ) کار کرده باشد معادل یک Normal months از عمر آن کاسته خواهد شد.

همانطور که قبل نیز گفته شد افزایش دمای نقطه داغ از  $98^{\circ}\text{C}$  در اثر اضافه بار و یا افزایش دمای محیط، منجر به افزایش میزان کاهش عمر نسبی<sup>۱</sup>، و همچنین کاهش دمای نقطه داغ از  $98^{\circ}\text{C}$  در اثر کاهش بار و یا کاهش دمای محیط منجر به کاهش آن خواهد شد. در صورتیکه درجه حرارت محیط و بار یک ترانسفورمر در مدت زمان  $t$  ثابت باشد، میزان کاهش عمر نسبی در این مدت زمان  $t$ ، از رابطه  $L = V \times t$  بدست می‌آید که در آن  $V$  ضریب فرسودگی ترانسفورمر است.

مثال (۱): اگر ترانسفورمر در طی شبانه روز بمدت ۱۰ ساعت با دمای نقطه داغ  $104^{\circ}\text{C}$  درجه سانتیگراد و بمدت ۱۴ ساعت با دمای  $86^{\circ}\text{C}$  درجه سانتیگراد کار کند، کاهش عمر آن چقدر است؟

مقدار ۷ بازاء<sup>۲</sup> های مختلف در ردیف ۲ جدول (۱) ارائه گردیده و مشاهده می‌شود که از قانون ۶ درجه استفاده شده است. محدوده کاری قانون ۶ درجه، بین  $80$  الی  $140$  درجه سانتیگراد است و مراکزیم دمای نقطه داغ مجاز برای ترانسفورمرهای توزیع و قدرت متوسط برابر  $140$  و برای ترانسفورمر قدرت بزرگ  $120$  درجه سانتی گراد می‌باشد.

جدول (۱) نشان می‌دهد که ترانسفورمر می‌تواند در عرض شبانه روز برای مدت معینی اضافه بار گردد (کاهش عمر نرمال) مشروط براینکه در بقیه مدت با بار کمتر از اسمی کار کند (افزایش عمر نرمال). مقدار بار و مدت زمان تداوم آن می‌تواند به نحوی انتخاب گردد که ضریب فرسودگی برابر واحد گردد و به عبارت دیگر اضافه بار باعث کاهش عمر نرمال نگردد.

- مثال (۱): کارکرد ترانسفورمر در عرض شبانه روز با دمای داغ  $110^{\circ}\text{C}$  چگونه ارزیابی می‌شود. طبق جدول (۱)، ضریب فرسودگی بازاء  $C = 110^{\circ}\text{C}$  برابر ۴ است، یعنی در یک شبانه روز کارکرد ۴ روز از عمر نرمال روزانه خود را مصرف می‌کند.

- مثال (۲): کارکرد ترانسفورمر در عرض شبانه روز با دمای داغ  $80^{\circ}\text{C}$  چگونه ارزیابی می‌شود طبق جدول ۱، ضریب فرسودگی برابر ۰.125 است، یعنی در کار شبانه روزی بانداره  $3 = 0.125 \times 24$  ساعت از عمر نرمال روزانه خود را مصرف می‌کند. با توجه به مطالب فوق، می‌توان در ردیف ۳ از جدول ۱، ساعت اضافه بار مجاز در شبانه روز را ارائه داد که بازاء آن از عمر نرمال کاسته نمی‌گردد. این ساعت کار از تقسیم ۲۴

جدول (۱): تأثیر دمای نقطه داغ بر عمر ترانسفورمر

۱	$T_h [^{\circ}\text{C}]$	80	86	92	98	104	110	116	122	128	134	140
۲	$V[\text{pu}]$	0.125	0.25	0.5	1	2	4	8	16	32	64	128
۳	$H[\text{Hour/day}]$	$8 \times 24$	$4 \times 24$	$2 \times 24$	24	12	6	3	1.5	0.75	0.375	0.187

	افزایش عمر نرمال	عمر نرمال	کاهش عمر نرمال
--	------------------	-----------	----------------

- تعیین اضافه بار  $S_2$  با معلوم بودن  $t$  و  $K_1$  و  $S_n$
- تعیین اضافه بار  $S_1$  با معلوم بودن  $t$  و  $K_2$  و  $S_n$
- تعیین ظرفیت اسمی  $S_n$  با معلوم بودن  $K_1$  و  $K_2$
- از آنجا که نوع خنک شوندگی، دمای محیط، و خصوصیات ترانسفورمر (توزیع، قدرت متوسط، قدرت بزرگ) در محاسبات مؤثر می‌باشند، لذا جداول مختلفی برای این پارامترها در استاندارد درج شده است.

• مثال (۱): مطلوبست تعیین اضافه بار مجاز یک ترانسفورمر توزیع روغنی برای مدت ۲ ساعت با خنک شوندگی نوع ONAN به مشخصات ذیل:  $S_n = 2 \text{ MVA}$ ,  $S_1 = 1 \text{ MVA}$ ,  $T_b = 20^\circ\text{C}$  محاسبه: از شکل ۲ به ازاء  $K_1 = S_1/S_n = 0.5$  و  $K_2 = S_2/S_n = 1.56$  قرائت منحنی  $t = 2$  ساعت مقدار  $K_2 = 1.56$  قرائت می‌گردد، ولی حد مجاز آن  $1/5$  است. اضافه بار بدون کاهش عمر برای ۲ ساعت در عرض شباهه روز برابر است با:

$$S_2 = K_2 \cdot S_n = 1.5 \times 2 = 3 \text{ MVA}$$

• مثال (۲): مطلوبست تعیین ظرفیت اسمی یک ترانسفورمر توزیع ONAN در دمای محیط  $20^\circ\text{C}$  به نحویکه بار  $1750 \text{ KVA}$  را به مدت ۸ ساعت و بار  $1000 \text{ KVA}$  را در بقیه ۱۶ ساعت تحمل کند. محاسبه: در شکل ۲ خطی به شیب  $1.75/1000 = 1.75$  رسم می‌کنیم از تلاقی این خط با منحنی  $t = 8$  مقادیر  $K_1 = 1.15$  و  $K_2 = 0.66$  قرائت می‌گردد. توان اسمی برابر است با:

$$S_n = S_1/K_1 = 1000/0.66 = 1515 \text{ KVA}$$

$$S_n = S_2/K_2 = 1750/1.15 = 1521 \text{ KVA}$$

که می‌توان رقم ۱۵۲۰ کیلو ولت آمپر را اختیار نمود.

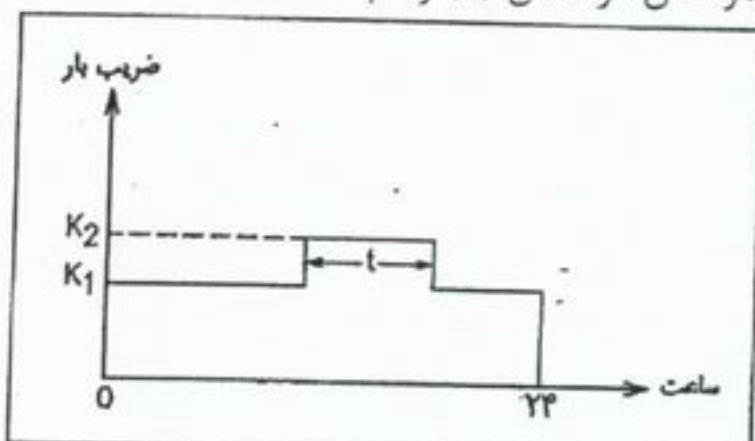
#### ۴-۲-۴- تعیین کاهش عمر و دمای نقطه داغ

با زاء هر اضافه بار دلخواه، می‌توان کاهش عمر و دمای نقطه داغ را تعیین کرده و معلوم نمود که آیا چنین شرایط کار، مجاز است یا خیر. در این مورد نیز تغییر بار در عرض شباهه روز بصورت سیکلیک دو مرحله‌ای (شکل ۱) اختیار گردیده است.

محاسبه: طبق جدول ۱، با زاء دماهای  $104^\circ\text{C}$  و  $86^\circ\text{C}$  درجه ضریب فرسودگی بترتیب برابر  $2/25$  و  $0/25$  می‌گردد و کاهش عمر برابر است با (Normal hours) ساعت  $L = 23/5 = 23 \times 2 + 14 \times 0/25 = 10 \times 2 + 14 \times 0/25 = 23/5 = 0.979$  Normal days مفید کاسته نمی‌گردد.

#### ۴- تعیین اضافه بار براساس استاندارد IEC

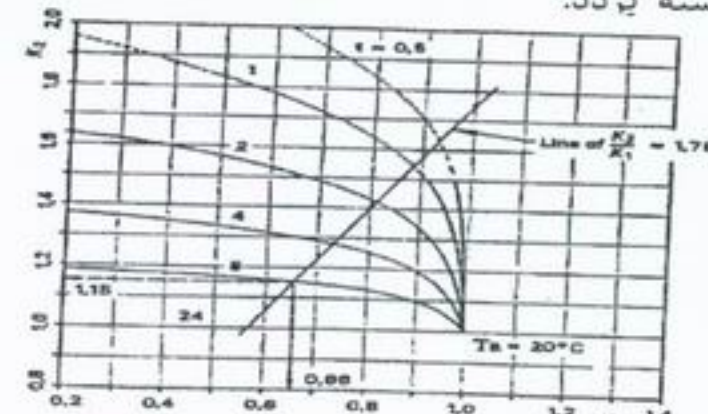
این استاندارد (مرجع ۱) طی جداولی تعیین مقدار اضافه بار را در دو حالت با و بدون کاهش عمر نرمال ارائه داده است. تغییرات بار در عرض شباهه روز بصورت سیکلیک دو مرحله‌ای انتخاب شده که نمونه آن در شکل (۱) رسم شده است.



شکل (۱): نحوه تغییرات بار برای محاسبات اضافه بار

#### ۴-۱-۴- تعیین اضافه بار بدون کاهش عمر نرمال

به کمک نمودارهایی که یک نمونه آن در شکل (۲) رسم شده است می‌توان حالات مختلف زیر را بررسی نمود بدون اینکه از عمر نرمال ترانسفورمر کاسته گردد.



شکل (۲): تعیین اضافه بار ترانسفورمر بدون کاهش عمر نرمال

کاهش عمر نسبی  $L$  در دمای محیط  $20^{\circ}\text{C}$  درجه، و رقم پایینی افزایش دمای نقطه داغ  $\Delta T_h$  است. برای تعیین  $L$  در دمای محیط غیر از  $20^{\circ}\text{C}$  درجه از ضرایب ارائه شده در بالای جدول استفاده می‌شود.

در جدول (۲) یک نمونه از جدول ارائه شده در مرجع [۱] جهت محاسبه کاهش عمر و دمای نقطه داغ رسم شده است.

همانطور که مشاهده می‌گردد بازه  $K_1$  و  $K_2$  های مختلف، دو رقم ذکر شده که رقم بالایی میزان

جدول (۲) تعیین کاهش عمر و دمای نقطه داغ ترانسفورمر روغنی

Table 23 – OF medium and large power transformers:  $t = 8 \text{ h}$   
Permissible duties and corresponding daily loss of life  
(In "normal" days)

To determine whether a daily load diagram characterized by particular values of  $K_1$  and  $K_2$  is permissible and to evaluate the daily loss of life entailed, proceed as follows:

Ambient temperature	$40^{\circ}\text{C}$	$30^{\circ}\text{C}$	$20^{\circ}\text{C}$	$10^{\circ}\text{C}$	$0^{\circ}\text{C}$	$-10^{\circ}\text{C}$	$-20^{\circ}\text{C}$	$-25^{\circ}\text{C}$
Daily loss of life:								
Multiply the value given in the table below by the factor given here, then round off the result	10	3,2	1	0,32	0,1	0,032	0,01	0,0055
Hot-spot temperature:								
Add the hot-spot temperature rise given in the table to the ambient temperature. If the resulting hot-spot temperature exceeds the limit stated in table 1, the duty is not permissible.								

$K_2$	0,25	0,50	0,70	0,80	0,90	1,00	1,10	1,20	1,30	1,40	1,50
$K_1$	0,006 44	0,008 44	0,020 44								
0,7	0,017 54	0,020 54	0,034 54	0,065 54							
0,8	0,057 66	0,063 66	0,082 66	0,118 66	0,239 66						
0,9	0,223 78	0,238 78	0,273 78	0,324 78	0,469 78	1,00 78					
1,0	0,969 91	1,04 91	1,14 91	1,24 91	1,45 91	2,11 91	4,70 91				
1,1	4,95 106	5,17 106	5,53 106	5,82 106	6,31 106	7,37 106	10,7 106	24,5 106			
1,2	27,8 121	28,9 121	30,6 121	31,8 121	33,5 121	36,3 121	42,1 121	60,7 121	147 121		
1,3	175 137	181 137	190 137	197 137	205 137	217 137	235 137	271 137	368 137	975 138	
1,4	1 240 155	1 280 155	1 330 155	1 370 155	1 420 155	1 490 155	1 570 155	1 700 155	1 950 155	2 780 155	7 230 155
1,5	9 790 173	+ 173									

آقای کاوس قصبه دارای فوق لیسانس مهندسی برق از آلمان (سال ۱۳۴۵) و دکترای مهندسی برق از انگلستان (سال ۱۳۵۳) می‌باشد. ایشان تا سال ۱۳۶۲ به تدریس در دانشگاه صنعتی شریف پرداخته و ۲۴ سال در شرکت قدس نیرو سابقه کار کارشناسی و سرپرستی دارد. زمینه فعالیت آقای قصبه، بطور کلی سیستم‌ها و تجهیزات برق نیروگاه بوده و زمینه تخصصی و علاقمندی ایشان ماشین‌های الکتریکی و ترانسفورمرها می‌باشد.

[kghasabei@ghods-niroo.com](mailto:kghasabei@ghods-niroo.com)

نگارنده از همکاری آقای مهندس محمد رضا رضانی در تهییه مقاله سپاسگزار است.

مثال (۱): مطلوبست تعیین دمای نقطه داغ و میزان کاهش عمر نسبی یک ترانسفورمر قدرت متوسط با سیستم خنک کنندگی OF هنگام کار تحت شرایط ذیل:

$K_1=0.8$  ,  $K_2=1.3$  ,  $t=8h$  ,  $T_a=30^{\circ}C$   
 محاسبه از جدول (۲)، ا رقم ۳۱.۸ ،  $L=31.8$  ،  
 برای  $T_a=20^{\circ}C$  قرائت می‌گردد. برای  $T_a=30^{\circ}C$  ضریب ۳.۲ در جدول داده شده که نتیجه می‌دهد:

$$L = 31.8 \times 3.2 = 101.8 \text{ Normal days}$$

یعنی به ازاء هر روز کار در شرایط فوق، به اندازه ۱۰۱.۸ روز از عمر نرمال کاسته می‌گردد. دمای نقطه داغ برابر است با:

$$T_h = \Delta T_h + T_a = 121 + 30 = 151^{\circ}C$$

که بعلت تجاوز از مقدار مجاز  $140^{\circ}C$ ، مجاز بکار در شرایط فوق نمی‌باشد.

یادآوری می‌گردد که در مرجع ۲ قابلیت اضافه بار ترانسفورمر خشک بررسی گردیده و برای محاسبات از جداولی مشابه با آنچه در این مقاله آمده استفاده شده است.

## ۵- نتیجه گیری

- طول عمر دقیق ترانسفورمر مشکل است ولی عمر نسبی آن با دقت مناسبی تعیین می‌گردد.
- اضافه بار، مشروط بر اینکه ترانسفورمر برای مدتی در بار کمتر از اسمی کار کند باعث کاهش عمر مفید نمی‌گردد.

- کار ترانسفورمر روغنی با دمای نقطه داغ بیش از  $98^{\circ}C$ ، باعث کاهش عمر مفید آن می‌گردد.



## ۶- مراجع

- 1- IEC 354,1991, Loading guide for oil-immersed power transformers
- 2- IEC 905, 1987, Loading guide for dry-type power transformers

# برآورد حجم رسوبات واردہ به مخزن سد لتیان با استفاده از روش USACE

محسن معجزی

کارشناس ژئوتکنیک - مدیریت ارشد مهندسی سازه های آبی

مهندی رهبر

کارشناس ارشد زمین شناسی مهندسی

## چکیده

ساخت سدها در مسیر آبراهه ها باعث انباشته شدن حجم عظیمی از رسوبات در داخل مخزن می گردد. این حجم رسوبات علاوه بر اینکه مشکلاتی برای سازه سد و دریچه های تخلیه تحتانی ایجاد می کند باعث کاهش عمر مفید سد و کاهش انتقال رسوب به نواحی پایین دست می گردد که در نتیجه آن قدرت فرسایندگی رودخانه در پایین دست افزایش می یابد.

سد لتیان در شمال شرقی شهر تهران واقع شده و از اهمیت ویژه اقتصادی و اجتماعی برای این شهر و مردم آن بربوردار است. این سد در منطقه ای شدیداً تکتونیکی ساخته شده به گونه ای که منطقه بشدت خرد شده و گسله می باشد و این مساله موجب افزایش فرایند فرسایش در حوضه آبخیز آن گردیده است. در این تحقیق علاوه بر تعیین خصوصیات سنگ شناسی و مورفوژوئی حوضه آبخیز سد لتیان در برابر فرسایش، حجم رسوبات واردہ به مخزن سد با استفاده از روش <sup>1</sup> USACE محاسبه شده است. نتیجه اینکه سالیانه حجم زیادی از رسوبات وارد مخزن سد می شود که تا حد زیادی متأثر از لیتوژوئیهای سست حاکم بر منطقه است و چنانچه چاره ای برای آن اندیشه نشود در آینده مشکل ساز خواهد شد.

## ۱- مقدمه

رفته، و به دنبال آن به کشاورزی و تولیدات مربوطه آسیب وارد می شود. در سدهایی که با هدف کنترل سیلابها ساخته می شوند معمولاً محاسبات و طراحی به گونه ای است که طغیانهایی با دوره بازگشت مشخص (بر اساس آمار فرضاً ۲۰۰ و یا ۱۰۰۰ ساله) را بتواند مهار نماید. هرقدر میزان رسوبگذاری در مخزن افزایش یابد، طغیانهایی با تناوب زمانی کوتاهتری را می تواند کنترل کند و بنابراین خسارات جانی و مالی افزایش می یابد. علاوه بر مواردی که در بالا به آنها اشاره شد، مشکلاتی

انباشت رسوبات در پشت سد عمر مفید این سازه های آبی را به مخاطره اندخته و سرمایه گذاریهای عظیمی که برای اینگونه تاسیسات می شود با توجه به نقصان گنجایش ذخیره آب در اثر رسوبگذاری به هدر رفته و بی اثر می شود. در سدهاییکه برای تولید نیرو احداث می شوند پس از انباشتگی از مواد رسوبی، نگهداری آب در ارتفاع مناسب و تخلیه آن از طریق توربین ها ممکن نبوده و تولید نیرو را با اشکال مواجه می کند. در سدهای ذخیره ای برای آب کشاورزی، به علت رسوبگذاری در فصول غیر ضروری آب بصورت جریان از سرریزها هدر

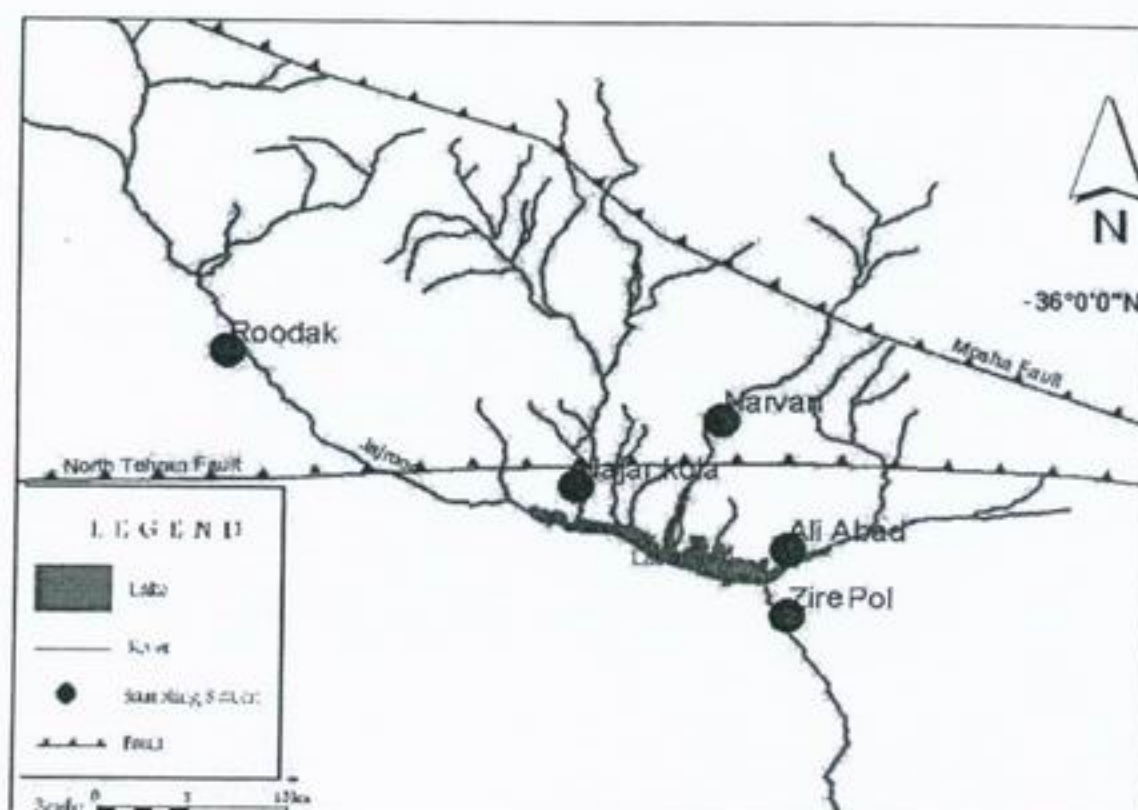
## ۲- محاسبه بار رسوبی با استفاده از روش USACE

سد لتیان نیز همانند بسیاری از سدهای جهان با پدیده رسوبگذاری روبروست. برای محاسبه میزان رسوب به جای مانده در مخزن سد و تعیین بازده به دام اندازی سد می‌توان از آمار ایستگاههای هیدرومتری بهره بردن. به این ترتیب که در این تحقیق با داشتن آمار بار معلق و دبی‌های لحظه‌ای در چهار ایستگاه ورودی بر روی شاخه‌های جاگرد، لوارک، افجه و گلندوک و یک ایستگاه خروجی در پایین دست سد (شکل ۱)، میزان بار رسوبی سالانه واردہ توسط هریک از شاخه‌ها به سد محاسبه و با هم جمع شده و از میزان رسوبات سالانه محاسبه شده در ایستگاه خروجی کم می‌شود. در نهایت میزان رسوبات سالانه به دام افتاده در مخزن سد بدست خواهد آمد. در این نوشتار برای محاسبه بار رسوبی هر یک از آبراهه‌ها از روش USACE استفاده شده است که مراحل آن به شرح ذیل می‌باشد:

از قبیل انباشته شدن رسوب در پشت دریچه‌های تخلیه تحتانی و از کار افتادگی آنها، موجب افزایش قدرت فرسایندگی رودخانه در پایین دست، جلوگیری از عدم انتقال رسوب به اراضی پایین دست و ازبین رفتن حاصلخیزی آنها می‌شود که اتلاف سرمایه‌های کلان ملی را در پی دارد.

در این تحقیق ابتدا تئوری محاسبه رسوب به روش USACE شرح داده شده و سپس خصوصیات سنگ شناسی و مورفولوژی حوضه آبخیز سد لتیان در برابر فرسایش بیان می‌شود. در ادامه با استفاده از روش USACE حجم رسوبات مانده در مخزن سد لتیان بر اساس آمار موجود از زمان ساخت سد تا سال ۱۳۸۰ محاسبه می‌شود.

بر اساس این روش مقدار رسوبات ورودی به مخزن سد محاسبه شده و از مقدار رسوبات خروجی حاصل از ایستگاه خروجی کسر گردیده و به این ترتیب حجم رسوبات بر جای مانده در مخزن سد به دست می‌آید.



شکل (۱): موقعیت مکانی ایستگاههای هیدرومتری و کیفیت آب

مختصات لگاریتمی و برازش بهترین خط از نقاط مذکور، معادله سنجه رسوب به دست می آید. با توجه به شکل کلی معادله سنجه رسوب می توان نوشت:

$$\text{Log}Q_S = \text{Log}a + b\text{Log}Q_W \quad (2)$$

شیب خط حاصل از برازش بر نتایج اندازه گیری غلظت مواد معلق، معرف ضریب  $b$  و عرض از مبدأ این خط معرف  $\text{Log } a$  است. بدین ترتیب ضرایب  $a$  و  $b$  محاسبه شده و معادله فوق کامل می شود.

### گام سوم: ترسیم منحنی دوام جریان

در این مرحله بر آمار سیلابها و دبی های اندازه گیری شده منحنی دوام جریان ترسیم می شود، چنانچه دبی رودخانه از توزیع کرانه گامیل تبعیت کند آنگاه:

$$Q = \bar{Q} + k_T SQ \quad (3)$$

که در آن،  $\bar{Q}$  متوسط دبی در کل دوره آماری،  $SQ$  انحراف معیار دبی ها در طول دوره آماری و  $k_T$  فاکتور تناوب است. فاکتور تناوب از رابطه زیر محاسبه می شود:

$$k_T = -0.7797 \left[ 0.5772 + \ln \left( \ln \frac{T_Q}{T_Q - 1} \right) \right] \quad (4)$$

که در این رابطه،  $T_Q$  دوره بازگشت دبی مورد نظر است و از رابطه زیر به دست می آید:

$$T_Q = \frac{1}{P_Q} \quad (5)$$

که  $P_Q$  احتمال وقوع دبی مورد نظر می باشد [۳].

به این ترتیب احتمال وقوع دبی های متوسط سالیانه به دست می آید، چنانچه دبی بر حسب  $m^3/sec$  در مقابل درصد احتمال وقوع، ترسیم شود منحنی دوام جریان رودخانه به دست خواهد آمد.

### گام اول: ترسیم مقادیر بار معلق رودخانه بر حسب دبی های عبوری

در این مرحله بار معلق اندازه گیری شده در رودخانه بر حسب دبی های عبوری در هنگام اندازه گیری، بر روی کاغذ لگاریتمی ترسیم می شود و چنانچه نقاط حاصل، پراکندگی قابل ملاحظه ای از یکدیگر داشته باشند، باید نتایج بر حسب ماهها یا فصلهای اندازه گیری گروه بندی شوند.

همچنین نتایج حاصل از اندازه گیری های انجام شده در موقع سیلابی نیز باید جداگانه تحلیل شوند

### گام دوم: تعیین معادله سنجه رسوب

بر اساس منحنی حاصل از گام اول مقایسه ای که توسط مور و بوج بر روی آبراهه های طبیعی و غلظت مواد معلق در آنها به عمل آمد نشان داد که نرخ انتقال مواد معلق (نرخ فرسایش) با دبی آبراهه متناسب است. لذا یکی از متداولترین ابزارهای ارزیابی دبی مواد رسوبی در رودخانه ها، منحنی های سنجه رسوب می باشند.

شكل کلی یک معادله سنجه رسوب به صورت زیر است:

$$Q_S = a Q_W^b \quad (1)$$

که در آن،  $Q_W$  دبی آبراهه (بر حسب  $m^3/sec$ )،  $Q_S$  دبی وزنی مواد معلق (بر حسب  $ton/day$ ) و  $a$  و  $b$  ضرایب ثابت می باشند. این منحنی ها بر اساس اندازه گیری های انجام شده در رودخانه ها به دست می آیند، به این صورت که متناظر با هر دبی خاص در رودخانه، غلظت مواد رسوبی حمل شده توسط آب اندازه گیری می شود. با مشخص کردن نقاطی که طول و عرض مختصاتی آنها به ترتیب دبی آب ( $Q_W$ ) و دبی مواد رسوبی ( $Q_S$ ) است، بر روی دستگاه

## گام چهارم: تنظیم جدول برآورد مقادیر رسوب به روش (USACE)

برای این منظور یک جدول در هفت ستون بصورت زیر تهیه می‌شود:

(الف) ستون اول، شامل گروه‌های دسته بنده شده مقادیر احتمال وقوع از صفر تا ۱۰۰٪ است.

(ب) ستون دوم جدول، تفاضل مقادیر حد بالا و پایین را نشان می‌دهد.

(ج) ستون سوم جدول، مقادیر متوسط حد بالا و پایین ستون اول است.

(د) ستون چهارم شامل مقادیر دبی آبراهه است. مقادیر این ستون متناظر با احتمال وقوع های ستون سوم جدول می‌باشد و از منحنی دوام جریان بدست می‌آید.

(ه) ستون پنجم، مقادیر دبی رسوب متناظر با دبی‌های ستون چهارم را مشخص می‌کند، که از معادله سنجه رسوب و بر اساس مشاهدات واقعی، بر حسب دبی آبراهه (ستون چهارم) بدست می‌آید.

(و) ستون ششم، حاصلضرب ستون دوم در ستون چهارم است و مجموع ارقام این ستون، متوسط دبی آبراهه را مشخص می‌کند.

(ز) ستون هفتم نیز حاصلضرب ستون دوم در ستون پنجم است و مجموع ارقام این ستون متوسط آورد رسوب آبراهه می‌باشد.

## گام پنجم: بار بستر و بازده به دام اندازی

(الف) محاسبه بار بستر با استفاده از معادلات ارائه شده یا بهره گیری از نتایج آزمایش‌های صحرایی می‌باشد و چنانچه اطلاعات کافی در دسترس نباشد به صورت درصدی از بار معلق در نظر گرفته می‌شود.

(ب) بار رسوی یک جریان شامل کانیهای محلول و رسوب آواری است، تقریباً تمام

رسوب آواری حمل شده توسط یک رود، در دلتا و در منتهی‌الیه بالایی مخزن ته نشین می‌شود. بازده به دام اندازی یا به عبارتی درصد رسوبات آواری به دام افتاده در بیشتر مخازن حدود ۹۰٪-۱۰۰٪ است. در حین پر شدن مخزن برخی از جریانات آشفته باعث می‌شوند که واریزه‌های معلق از سد دور شوند و در نتیجه بازده به دام اندازی کاهش یابد. بازده به دام اندازی در مخازن بزرگ دارای جریان کوچک، بیشترین و در مخازن کوچک دارای جریان بزرگ، کمترین مقدار است. چون گنجایش مخزن با تداوم رسویگذاری کاهش می‌یابد، بازده به دام اندازی نیز با گذشت زمان کاهش می‌یابد.

قابلیت به دام اندازی<sup>۱</sup> (TE) یک مخزن خاص را می‌توان بر حسب نسبت بین درونریز رسویی به برونریز رسویی بصورت زیر محاسبه نمود:

$$TE = \frac{S_i - S_0}{S_i} \quad (6)$$

در اینجا  $S_i$  حجم رسوی است که در مدت یکسال به مخزن وارد می‌شود و  $S_0$  حجم رسوی است که در طول یکسال از سد خارج می‌شود [۷].

اگر سد تنها به این منظور ساخته شده باشد که بخش عمده سیلان سالانه را از خود عبور دهد و ذخیره زیادی نداشته باشد، بازده به دام اندازی بسیار کم خواهد بود. بر عکس در حوضچه‌های رسویگیر بازده به دام اندازی بسیار بالا و تقریباً نزدیک ۱۰۰٪ است.

بازده به دام اندازی طرح پیشنهادی یک مخزن را می‌توان قبل از ساخت آن بطور تقریبی با تقسیم C گنجایش مخزن طراحی شده (بر حسب مترمکعب) بر ورودی تخمینی سالیانه آب «I» (بر حسب متر مکعب) برآورد نمود. این نسبت

سطح زیر حوضه کند را توفهای آهکی تشکیل می‌دهند. عمدۀ کنگلومراهای منطقه را دو سازند فجن و هزار دره تشکیل می‌دهند. کنگلومرای میوسن که خمیره آن اغلب رس ماسه‌ای است [۶] در زیر حوضه رسنان و تانزدیکی‌های سد لتیان امتداد دارد که در این امتداد به دلیل سست بودن خمیره آن و عدم مقاومت یکنواخت در برابر عوامل فرسایش دهنده بسهولت از هم پاشیده می‌شوند و در معرض آبهای جاری قرار می‌گیرند. گسترش زیاد دانه‌های رسوبی این کنگلومرا در امتداد رودخانه لوارک این ادعا را ثابت می‌کند. همچنین در شرق سد لتیان تشکیلات آهکی با شیب متوسط و نیز کنگلومرای پلیوسن وجود دارد که در مرکز آن طبقات مارن ماسه‌ای میوسن همراه با کنگلومرا دیده می‌شود که اکثراً باعث ظهور پدیده حرکت توده‌ای و زمین لغزش شده و در موقع سیلابی توسط جریان آب به پشت سد حمل می‌شود.

شیلهای نیز بخشی از سنگ شناسی منطقه را به خود اختصاص داده‌اند. شیلهای قهوه‌ای رنگ در حوالی روستای امامه پایین به صورت نوار باریکی با جهت شرقی- غربی دیده می‌شوند. از عوامل عمدۀ فرسایش این شیلهای لایه بندی نازک و همبُری بین کنگلومرای قرمز از یک سو و مارنهای قرمز و ارغوانی از سوی دیگر است. از طرف دیگر واحد‌های شیل و ماسه سنگ در شمالی‌ترین قسمت حوضه امامه دیده می‌شود که به علت مقاوم نبودن این سنگها و شیب زیاد آنها، لغزش‌هایی بر روی آنها دیده می‌شود و بنابراین فرسایش این شیلهای نیز زیاد است. عمدۀ مارنهای موجود در منطقه را سازند قرمز بالایی و فجن تشکیل می‌دهند که در بخش مرکزی و شمالی زیر حوضه لوارک در بخش جنوبی زیر حوضه امامه و شمالی زیر

C/I را می‌توان با منحنی خاصی مقایسه کرد و به این ترتیب یک بازده بدام اندازی تقریبی به دست آورد. با داشتن اطلاعات فوق می‌توان عمر مفید مخزن «R<sub>L</sub>» را تخمین زد [۷].

$$R_L = \frac{C}{S_i + TE} \quad (7)$$

### ۳- خصوصیات معمول سنگ شناسی

#### و مورفولوژی منطقه در برابر فرسایش

حوضه آبریز سد لتیان متشکل از کوههای مرتفع و دره‌های عمیق است که نشان از جوان بودن رشته کوههای البرز مرکزی دارد. پوشش گیاهی منطقه به صورت مرتع و جنگل در ارتفاعات و باغ، مزرعه و جنگل در دره رودخانه‌ها به چشم می‌خورد. حوضه مذکور از نوع سنگ شناسی بالایی برخوردار است. این سنگ شناسی‌ها گستردگی متفاوتی را دارا هستند که بسیاری از خصوصیات مورفولوژیکی و فیزیکی حوضه را تحت تاثیر قرار می‌دهند. سنگ شناسی‌های عمدۀ حوضه عبارتند از: توف، ماسه سنگ، شیل، سنگ آهک، آندزیت، بازالت، مارن، کنگلومرا و ... از این میان با آنکه مارن و شیل گستردگی زیادی ندارند بیشترین نقش و اهمیت را از لحاظ ایجاد مشکلات مهندسی و مورفولوژیکی در منطقه دارا می‌باشند.

توفها یکی از گسترده‌ترین سنگ شناسی‌های حاکم در منطقه می‌باشند و این واحدهای سنگی دارای پراکنش زیاد در زیر حوضه‌های امامه، ارتفاعات ۳۰۰۰ تا ۳۲۰۰ حوضه لوارک، بخش جنوبی و شمالی زیر حوضه افجه، قسمتهای شمالی زیر حوضه گرمابدره و بخش شرقی ارتفاعات توجال در زیر حوضه آهار و بخش شمالی و پرشیب زیر حوضه میگون (توف شیلی) هستند. همچنین حدود ۹۰٪ از

ورودی و یک ایستگاه خروجی جریان ترسیم می‌شود (شکل ۲). لازم به ذکر است که آمار ایستگاه‌های هیدرومتری از پنج ایستگاه ثابت سازمان آب منطقه‌ای تهران و وزارت نیرو (جدول ۱) اخذ گردیده است.

۲-۴- ترسیم منحنی‌های دوام- جریان  
در این مرحله نیز منحنی‌های دوام- جریان پنج ایستگاه مورد نظر ترسیم می‌گردد (شکل ۳).

۳-۴- جدول برآورد مقادیر رسوب به روش USACE  
مطابق گام چهارم روش انجام کار، جداول برآورد مقادیر رسوب برای ایستگاه‌های مورد نظر تنظیم می‌شود لازم به ذکر است که بار بستر به صورت درصدی از بار معلق می‌باشد که در ایستگاه‌های هیدرومتری مختلف به دست آمده است [۹]. در نهایت از تفاضل حجم رسوبات ورودی به حجم رسوبات خروجی، مطابق جدول شماره ۲ حجم رسوبات بر جای مانده در مخزن به دست می‌آید که تقریباً برابر با  $1.002 \times 10^6 \text{ m}^3/\text{year}$  می‌باشد.

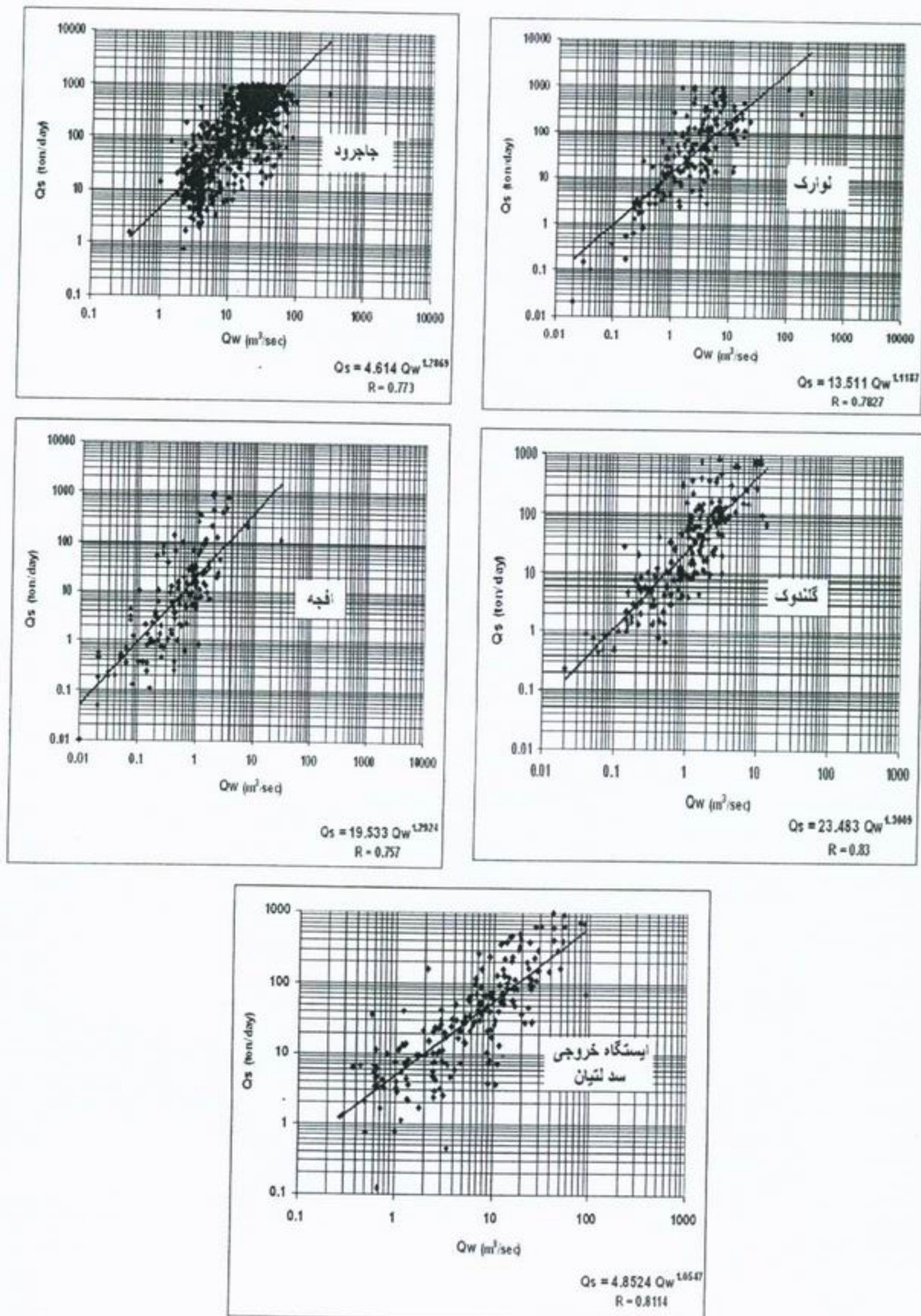
حوضه کند و بخش شمالی زیر حوضه افجه و بطور پراکنده در نقاط مختلف حوضه آبریز لتيان دیده می‌شود. لایه بندی این مارنهای ظریف و ریز بوده و به آسانی قابل حمل می‌باشند. در بخش شمالی حوضه امامه و در ضلع غربی حوضه کند، مارنهای دارای لایه بندی منظم با ضخامت حداقل ۶۰ سانتیمتر بوده که به صورت تناوبی از لایه‌های نازک توفهای خاکستری رنگ و شیلهای قهوه‌ای دیده شده‌اند و در زیر طبقات مارن آهکی قرار دارند. همچنین طبقات مارن ماسه‌ای که به صورت کمربندی در ارتفاعات زیر حوضه برگ جهان گسترش دارد در برابر بارانهای مداوم به سرعت از آب اشباع می‌شوند و قابلیت تحرک زیادی پیدا می‌کنند.

#### ۴- برآورد حجم رسوبات موجود در مخزن سد لتيان

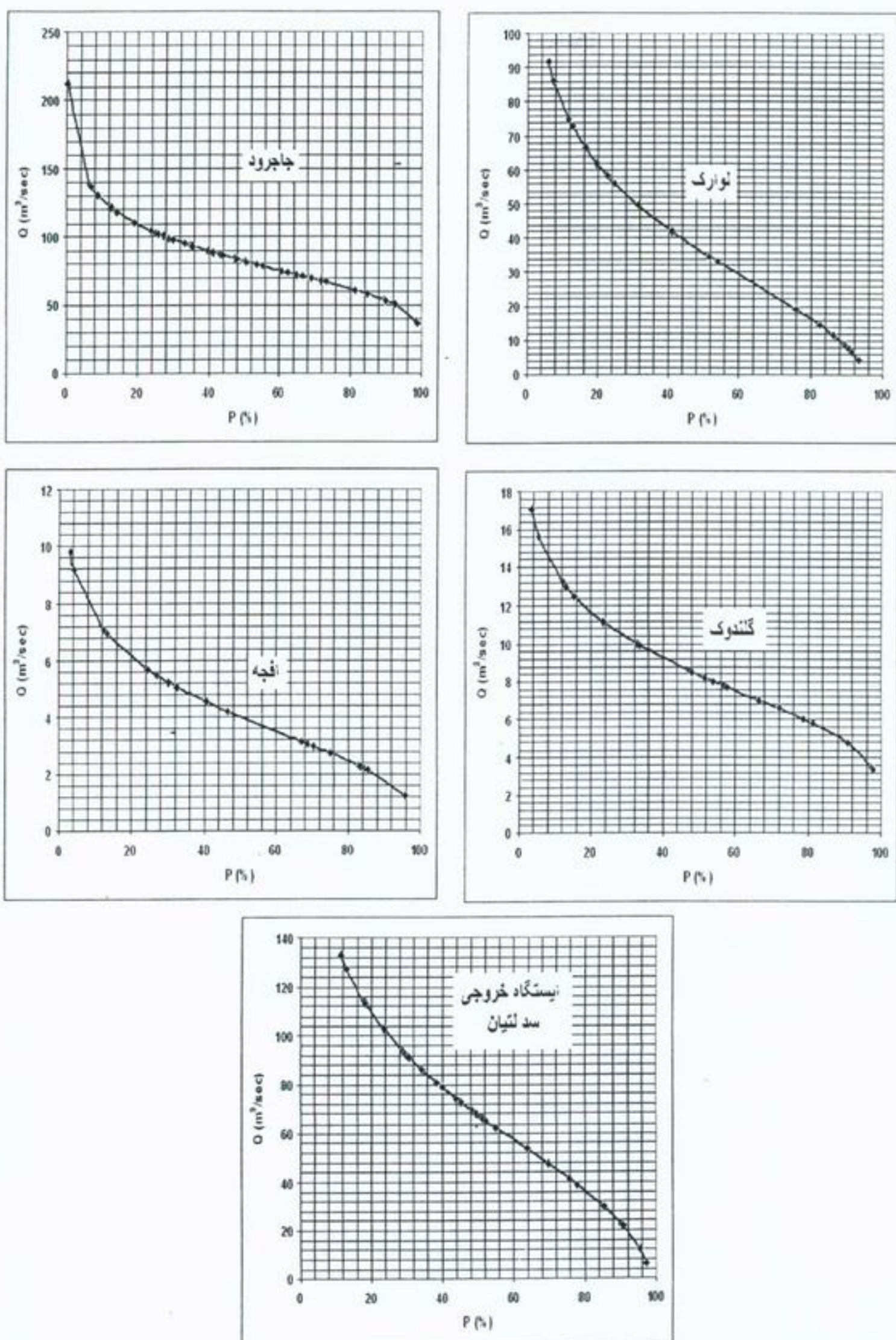
۱-۴- تعیین معادله سنجه رسوب  
مطابق گام اول و دوم متداول‌وزیر انجام کار، منحنی سنجه رسوب برای چهار ایستگاه

جدول (۱): موقعیت و خصوصیات ایستگاه‌های هیدرومتری و کیفیت آب

ایستگاه	رودخانه	طول (degree/min)	عرض (degree/min)	ارتفاع (m)	سطح حوضه ( $\text{km}^2$ )
رودک	جاجرود	51 - 33	35 - 51	1690	416
علی آباد	لوراک	51 - 41	35 - 48	1600	103
نارون	افجه	51 - 40	35 - 50	1750	30
نجار کلا	گلندوک	51 - 38	35 - 49	1700	59
زیر پل	خرسچه سد لتيان	51 - 41	35 - 47	1560	710



شکل (۲): نمودار و معادله سنجه رسوب برای ایستگاه های رودک بر روی رودخانه جاجرود، علی آباد بر روی رودخانه جاجرود، نارون بر روی رودخانه افجه، نجارکلا بر روی رودخانه گلندوک و ایستگاه زیر پل در محل خروجی سد



شکل (۳): منحنی دوام- جریان برای ایستگاه های رودک بر روی رودخانه جاجرود،  
علی آباد بر روی رودخانه جاجرود، نارون بر روی رودخانه افجه، نجارکلا بر روی رودخانه گلندوک  
و ایستگاه زیر پل در محل خروجی سد

۱- تهیه پوشش مناسب گیاهی، جنگلکاری، احیای جنگلها، ایجاد مراتع، جلوگیری از چرای مفرط، نگهداری مراتع و در کل اقداماتی که سطح خاک را از تماس مستقیم با باران و جریانهای سطحی محفوظ نگه دارد و از کنده شدن آن و حمل به رودخانه‌ها جلوگیری نماید.

۲- حفاظت بستر و دیواره‌های رودخانه با مستقیم نمودن مسیر رود و احیاناً کانالها، تراس بندی، کشت درختان در مجاور سواحل رودخانه‌ها، احداث حوضچه‌ها به منظور پخش سیلان و کاهش سرعت جریان، انحراف مناسب مسیر رودخانه و ایجاد دیوارهای ساحلی برای محافظت سواحل با مصالح مناسب از قبیل بتن - توریسنگ- ژئوستنتیکها و ... در محلهای که استعداد بیشتری برای فرسایش دارند، که در نتیجه این نوع اقدامات از انتقال مواد معلق، به علت کندی جریان کاسته می‌گردد و فرسایش دره‌ای نیز اتفاق نمی‌افتد.

۳- ترانس بندی و کشت روی نواحی شیب دار و جلوگیری از شخم در جهت شیب توپوگرافی.

بازده به دام اندازی سد لتيان برابر با ۸۴٪ و عمر مفید آن ۹۵ سال به دست آمد که اين رقم در مقاييسه با عمر مفید مفید واقعي سد از زمان اولين آبگيري ۷۶ سال است. لازم به ذكر است اين عمر اعلام شده در صورتی صحيح است که از زمان اولين آبگيري هيچگونه اقدامی برای خارج ساختن رسوبات و لاپرواپی مخزن انجام نشده باشد.

## ۵- کنترل رسوب

روش‌های کنترل رسوب را می‌توان به دو قسمت، کنترل رسوب با کاهش فرسایش، کنترل رسوب در مرحله طراحی سازه و کنترل رسوب در حین بهره‌برداری تقسیم کرد. در ادامه این قسمتها معرفی می‌شوند.

### ۵-۱- کنترل رسوب با کاهش فرسایش

يکی از اصلی ترین اقدامات برای کنترل رسوبات آبخیز داری است منظور از آبخیز داری کلیه اقدامات و عملیاتی است که در یک حوضه آبریز به منظور حفظ آب و خاک انجام می‌گیرد و در همان حال از توان حوضه نیز بهره‌برداری کامل به عمل می‌آید عملیات آبخیز داری را می‌توان به شرح ذیل خلاصه نمود:

جدول (۲): خلاصه‌ای از نتایج بدست آمده

In Flow (ton/year)				Out Flow (ton/year)
Ali Abad	Roodak	Narvan	Najar Kola	Zire Pole Latian
386079.51	647280.15	66399.79	199320.17	196955.04

Total Sediment (ton/year)	1102124.57
Trap Efficiency (%)	84.84
$\rho$ (ton/m <sup>3</sup> )	1.10
V (m <sup>3</sup> /year)	1001931.43
Useful Life (year)	94.82 ≈ 95
Real Useful Life (year)	75.85 ≈ 76

با توجه به مطالب فوق الذکر می توان گفت که حوضه آبخیز لتیان در شرایط بحرانی تولید رسوب قرار دارد. ایجاد تمهدات آبخیز داری به منظور کاهش تولید رسوب بخصوص در مناطق حساس به فرسایش یعنی اراضی شامل سنگهای سست مارنی، مارن قرمز، ماسه ای، گچی و کنگلومراپیلوسن و میوسن راهکار مناسبی خواهد بود.

#### ۷- مراجع

- (۱) اکرمی، ا. (۱۳۷۵)، *وضعیت رسوبگذاری در سدهای ایران و مقایسه آنها با روشهای تئوریک*، پایان نامه کارشناسی ارشد، دانشگاه تربیت مدرس.
- (۲) بوربوری، ف.، (۱۳۸۲)، *رسوب شناسی و رسوبدهی رودخانه جاجرود (در بالا دست سد لتیان)*، پایان نامه کارشناسی ارشد، دانشگاه تربیت معلم.
- (۳) امامی، ا. (۱۳۷۹)، *انتقال رسوب* ترجمه کتاب چی تد یانگ، جهاد دانشگاهی دانشگاه صنعتی امیر کبیر.
- (۴) شمسی، ا.، سبزیوند، ر.، (۱۳۷۸)، *بررسی روشهای مختلف تعیین ضرایب رسوبگذاری برای سدهای مخزنی ایران*، سومین کارگاه آموزش کمیته تخصصی هیدرولیک در سدها، کمیته ملی سدهای بزرگ ایران، دانشکده فنی دانشگاه ارومیه.
- (۵) شرکت سهامی خدمات مهندسی آب، (۱۳۶۸)، *رسوب ته نشین شده در سد اکباتان*.
- (۶) طهماسبی پور، ن.، (۱۳۷۳)، *کاربرد و ارزیابی مدل جدید پسیاک (PSAIC) برای تهیه نقشه فرسایش و رسوب در حوضه آبخیز*

#### ۵-۲- کنترل رسوب در هنگام بهره برداری

در زمانی که اقدامات پیشگیری کننده از قبیل کنترل فرسایش یا طرح مناسب سازه های آبی به هر دلیلی انجام نشده باشد و برای آنکه حداقل مواد رسوبی وارد مخزن گردد، لازم است اقداماتی انجام گیرد تا عمر بهره برداری از سد افزایش یابد:

- افزایش ارتفاع سد در حین بهره برداری به منظور ازدیاد حجم مفید سد در صورت امکان
- لاپرواپ رسوبات توسط ماشینهای حفاری و انتقال مواد به خارج از مخزن
- استفاده صحیح و به هنگام از سرریزها و دریچه های اضطراری جهت عبور جریانهای غلیظ و جلوگیری از ترسیب مواد در دریاچه سد
- تخلیه رسوبات از دریچه های تحتانی بدون کاهش آب مخزن
- تخلیه رسوبات همراه با پایین آوردن سطح آب
- تخلیه رسوبات با سیفون
- ساخت سدهای رسوبگیر در بالادست سد اصلی

#### ۶- نتیجه گیری و ارائه راهکار

از مطالعات رسوب شناسی انجام شده به نتایج ذیل می توان دست یافت:

- بازده به دام اندازی سد لتیان ۸۵٪ است که سالیانه ۱۱۰۲۱۲۴ تن رسوب (۱۹۳۱ ۱۰۰۰ متر مکعب در سال) را در پشت خود ته نشین می کند.
- وجود لایه های مارن و شیل و همچنین وجود گنگلومراپیلوسن و پلیوسن با سیمان رسی و ماسه ای سست باعث افزایش نرخ فرسایش حوضه و رسوبگذاری آن در مخزن سد می شود.

آقای مهدی رهبر دارای لیسانس زمین شناسی از دانشگاه پیام نور شیراز و فوق لیسانس زمین شناسی مهندسی از دانشگاه تربیت معلم تهران می باشد.

زمینه علاقمندی ایشان در زمینه مسائل زمین شناسی مهندسی سلها و زئوتکنیک زیست محیطی است.

[rahbar\\_mahdi@yahoo.com](mailto:rahbar_mahdi@yahoo.com)

لوارک با استفاده از تصاویر ماهواره ای و سیستم اطلاعات جغرافیایی، پایان نامه کارشناسی ارشد دانشگاه تربیت مدرس.

۷) فاطمی عقدا، م.، رضایی، پ.، نوری زاده، م.، (۱۳۸۳) <sup>\*</sup> زمین شناسی مهندسی از دیدگاه محیطی، ترجمه کتاب پری راهن، انتشارات دانشگاه هرمزگان، جلد اول.

۸) کلهری، ک.، (۱۳۷۸)، <sup>\*</sup> مطالعات آبخیزداری و بهره برداری بهینه از مخازن سدها، چهارمین کارگاه آموزشی کمیته تخصصی وزارت نیرو، معاونت امور آب، کمیته ملی سدهای بزرگ.

۹) وزارت نیرو، (۱۳۷۲)، <sup>\*</sup> مطالعات پایداری سدهای بتني کشور، شرکت مهندسین مشاور مهاب قدس.

۱۰) نیک صفت، غ.، (۱۳۷۸)، <sup>\*</sup> روند رسوبگذاری مخزن سد سفید رود، چهارمین کارگاه آموزشی کمیته تخصصی هیدرولیک سدها، وزارت نیرو، کمیته ملی سدهای بزرگ.

آقای محسن معجزی دارای لیسانس مهندسی عمران از دانشگاه شهید چمران اهواز و فوق لیسانس مهندسی عمران گرایش مکانیک خاک و پی از دانشگاه تربیت معلم تهران بوده و از سال ۱۳۸۵ با شرکت مهندسین مشاور قدس نیرو همکاری می نماید.

زمینه علاقمندی ایشان موارد مرتبط با طراحی آنالیز سدهای خاکی، آنالیز شیرونی ها و دیوارهای مسلح و کاربردهای تسلیح خاک در مهندسی عمران می باشد.

[mmojezi@ghods-niroo.com](mailto:mmojezi@ghods-niroo.com)

# بررسی اثرات عملیات پیش‌گرم و روش‌های تعیین دمای پیش‌گرم در سازه‌های جوشکاری فولادی

رسول محرومی

کارشناس ارشد کنترل کیفیت - مدیریت ارشد مهندسی صنایع نیروگاهی

## چکیده

عملیات جوشکاری به منظور ایجاد اتصالات جوشی در بخش‌های مختلف صنعت بویژه در صنایع نیروگاهی کاربرد فراوانی دارد. در جوشکاری‌های ذوبی مرسوم، با ذوب موضعی دو قطعه مورد نظر و اضافه شدن الکترود مصرفی به آن اتصال بوجود می‌آید. خواص مکانیکی یک اتصال جوشی از رفتار متالورژیکی فلز جوش و منطقه متاثر از جوش تاثیر می‌پذیرد. تغییر خواص متالورژیکی در منطقه جوش بصورت کامل قابل کنترل نیست ولی با اعمال برخی از انواع عملیات حرارتی می‌توان تا حدی از ایجاد خواص نامطلوب جلوگیری کرد و یا خواص مورد نظر را ایجاد نمود. پیش‌گرم یکی از کاربردی‌ترین انواع عملیات حرارتی در مورد سازه‌های جوشکاری شده می‌باشد. در این مقاله به بررسی اثرات عملیات پیش‌گرم و روش‌های تعیین دمای پیش‌گرم در جوشکاری سازه‌های فولادی اشاره شده است.

## ۱- مقدمه

شكلهای جوشی باشد. هر یک از عیوب ذکر شده می‌تواند باعث کاهش خواص مکانیکی اتصال جوش گردیده و مشکلاتی را در ارتباط با کارایی مناسب اتصال جوشی فراهم سازد. با رعایت برخی از نکات می‌توان از بوجود آمدن مشکلات احتمالی جلوگیری نمود. در یک اتصال خوب، منطقه جوش شامل منطقه HAZ و منطقه Weld می‌بایستی همان خواص فلز پایه (خواص مکانیکی و خواص متالورژیکی) را دارا باشد. با توجه به اینکه همه پارامترهای موثر بر کیفیت اتصال جوشی به طور کامل قابل کنترل نمی‌باشند، در عمل ایجاد جوش کاملاً سالم تقریباً غیر ممکن و غیر اقتصادی است (شکل ۱).

بنابرآنچه بیان گردید الزاماً یک اتصال جوشی نمی‌تواند به صورت کامل مطابق طراحی رفتار نماید و در نتیجه عیوب و مشکلات ایجاد شده در این ارتباط، رفتار سازه را تحت

در بخش‌های مختلف صنعت بویژه در ساخت تجهیزات مربوط به صنایع نیروگاهی، عملیات جوشکاری کاربرد فراوانی دارد. در جوشکاری سازه‌های مختلف، مسایل و مشکلاتی به وجود می‌آید که بر عملکرد سازه تأثیر گذار می‌باشد. با در نظر گرفتن خطرات ناشی از عدم توجه به کیفیت جوش ایجاد شده و همچنین هزینه و خسارates ناشی از تعمیرات پس از ساخت، لزوم بررسی و مطالعه در مورد بهبود رفتار یک اتصال جوشی آشکار می‌گردد. اتصالات جوشی همانند سایر اتصالات دارای مزايا و معایبي می‌باشد. به طور کلی مزايا اتصالات جوشکاری را می‌توان آببندی کامل، استحکام استاتیکی بالا، وزن پایین اتصال و زمان تولید پایین عنوان کرد. از طرف دیگر اتصال جوشی ممکن است دارای عیوبی از قبیل افت چقرمگی، بروز و رشد ترک‌ها، تنש‌های پسماند و تغییر

## ۲- وابستگی خواص مواد به نحوه سرد شدن

### از دمای یکسان

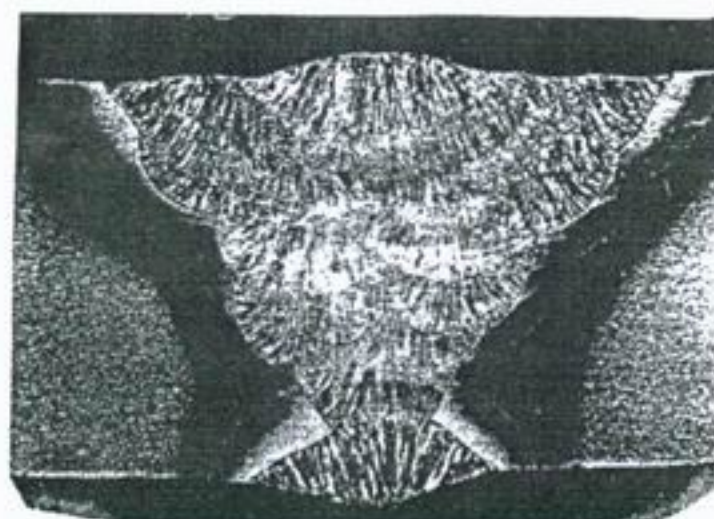
فولادهای جوشی بسیار متنوع بوده ولی در تقسیم بندی کلی شامل فولادهای کربنی، فولادهای کم آلیاژی و فولادهای آلیاژی تقسیم بندی میشوند. بصورت کلی در انواع فولادها، خواص مکانیکی علاوه بر ترکیب شیمیایی از ساختار متالورژیکی فولاد نیز تاثیر می پذیرد. ریز ساختار متالورژیکی در فولادها تابع نحوه سرد شدن مواد از فاز آستانسیت تا دمای محیط بوده و در نزخ سرد شدن‌های مختلف، ساختارهای متفاوتی ایجاد می شود.

شکل (۲) وابستگی خواص مواد به نحوه سرد شدن از فاز آستانسیت را نشان می دهد.

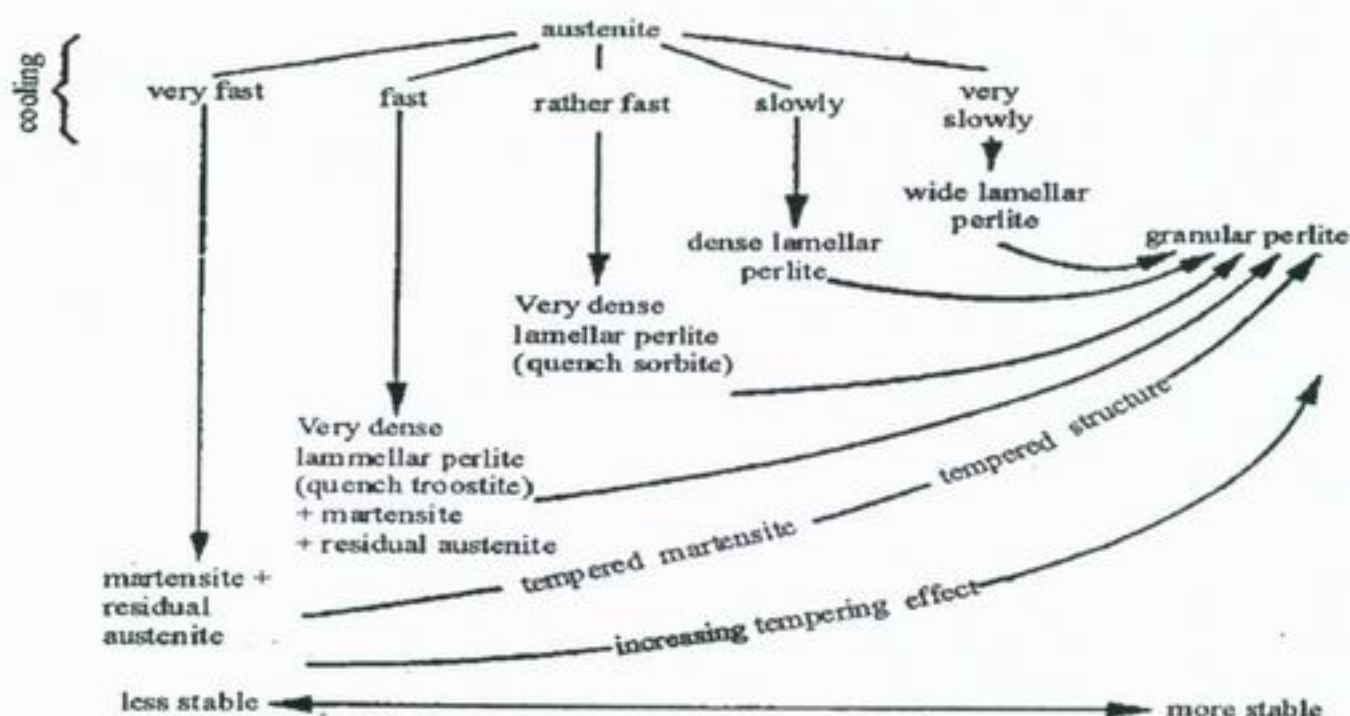
تاثیر قرارخواهد داد. بسیاری از حوادث در سال های گذشته در اثر عدم توجه به کیفیت و کارایی اتصالات جوشی بوقوع پیوسته و خسارت جانی و مالی زیادی وارد کرده است.

با وقوع هر حادثه ای کارشناسان بدنیال علت آن بوده و جهت جلوگیری از تکرار آن در آینده، تلاش و برنامه ریزی می کردند.

تحقیقات زیادی در مورد ماهیت جوشکاری و رفتار آن صورت گرفت و برای رسیدن به یک اتصال با کیفیت مناسب اقداماتی برای پیشگیری از مشکلات قبل از جوشکاری و بر طرف کردن مشکلات بعد از جوشکاری پیشنهاد شد.



شکل (۱) : مقطع متالوگرافی شده از یک اتصال جوشی



شکل (۲): وابستگی خواص مواد به نحوه سرد شدن از دمای یکسان

- جلوگیری از ایجاد ترک سرد
  - کاهش تغییر شکلها و تنש‌های پسماند
  - توسعه تکنولوژی جوشکاری
  - کمک به جوشکاری مواد غیر هم جنس
  - کمک به جوشکاری مواد با ضخامت‌های مختلف
  - اهداف دیگر
  - افزایش سیالیت مذاب و نفوذ بهتر
  - ایجاد سطوح تخت در جوش و کاهش تمرکز تنش
  - پاکسازی سطح مورد جوشکاری
- در صنعت، هدف از انجام عملیات پیش گرم ممکن یک یا چند تا از موارد فوق باشد. در ادامه برخی از موارد مهم تاثیر عملیات پیش گرم شرح داده می‌شود.

### ۱-۳- بهبود خواص مکانیکی به کمک انجام عملیات پیش گرم

یک اتصال جوشی علاوه بر استحکام استاتیکی بایستی دارای استحکام دینامیکی و نیز مقاومت در برابر رشد ترک نیز باشد. در جوشکاری بواسطه دمای بالای منطقه اتصال، فلز جوش و قسمتی از فلز پایه به فاز آستنیت تبدیل می‌گردد. در اثر سرد شدن سریع منطقه متاثر از دما، در این منطقه افزایش سختی و در نتیجه کاهش چقلمگی بوجود می‌آید که در نهایت عامل افت خواص مکانیکی اتصال جوشی خواهد شد. با کنترل نحوه سرد شدن فاز آستنیت می‌توان ایجاد نوع ساختار متالورژیکی را کنترل کرده و خواص مورد نظر را تغییر داده و یا اصلاح نمود. با کاهش نرخ سرد شدن از میزان سختی کاسته شده و در نتیجه چقلمگی بالاتر خواهد رفت. در مورد رابطه دمای پیش گرم و نرخ سرد شدن، مطالعات زیادی انجام شده است. طبق نتایج تحقیقات تجربی، تاثیر دمای پیش گرم بر نرخ سرد شدن بصورت جدول (۱) می‌باشد.

همانطور که مشخص است با کنترل نحوه سرد شدن فاز آستنیت می‌توان ایجاد نوع ساختار متالورژیکی و به پیروی از آن خواص مکانیکی را کنترل نمود. در حالت کلی این نوع عملیات را که در آن کنترل نحوه سرد شدن هدف می‌باشد، به دو صورت عملیات حرارتی پیش گرم و عملیات حرارتی پس گرم انجام می‌گردد.

به عملیات حرارتی به منظور کنترل خواص اتصال جوشی که قبل از انجام جوشکاری انجام می‌گیرد، عملیات حرارتی پیش گرم می‌گویند. مشخص ترین حالت از انجام این عملیات گرم کردن منطقه جوش قبل از شروع جوشکاری است. به عملیات حرارتی به منظور تصحیح خواص اتصال جوشی که بعد از انجام جوشکاری انجام می‌گیرد، عملیات حرارتی پس گرم می‌گویند. مشخص ترین حالت از انجام این عملیات گرم کردن منطقه جوش و یا کل قطعه بعد از اتمام جوشکاری است. انجام عملیات حرارتی پیش گرم در جوشکاری هر سازه توصیه نمی‌گردد. انجام عملیات حرارتی غیر لازم و غیر صحیح علاوه بر هزینه بر بودن و طولانی کردن زمان ساخت، ممکن است خواص نامطلوب متالورژیکی و مکانیکی در اتصال بوجود آورد. بنابر این بایستی لزوم و نوع انجام عملیات پیش گرم در هر حالتی با در نظر گرفتن اهداف مورد نظر تعیین شود.

### ۳- اهداف عملیات پیش گرم کردن

اهداف عملیات پیش گرم در جوشکاری متنوع می‌باشد که در ذیل به برخی از آن اشاره شده است:

- بهبود خواص مکانیکی
- افزایش چقلمگی
- کاهش سختی
- کنترل نرخ سرد شدن برای ایجاد خواص دلخواه
- جلوگیری از بروز برخی عیوب

جدول (۱)

نسبت نرخ سرد شدن	دماهی ورق مورد جوشکاری
۱/۱۰	-
۱/۰۰	۲۵
۰/۸۰	۱۰۰
۰/۵۵	۲۵۰

ترک سرد اشاره کرد که انجام عملیات پیش گرم از موثرترین روش های جلوگیری از بروز آن می باشد. علاوه بر ترک سرد، با اعمال پیش گرمایش در منطقه جوش اختلاف دمای نقاط مختلف کمتر شده و بدین ترتیب از مشکلات ناشی از تنفس و تغییر شکل پسماند نیز کاسته می گردد.

### ۳-۳- توسعه تکنولوژی جوشکاری

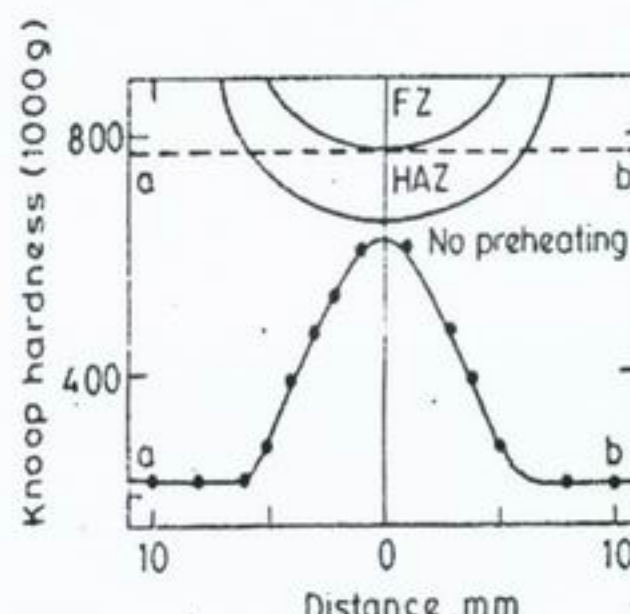
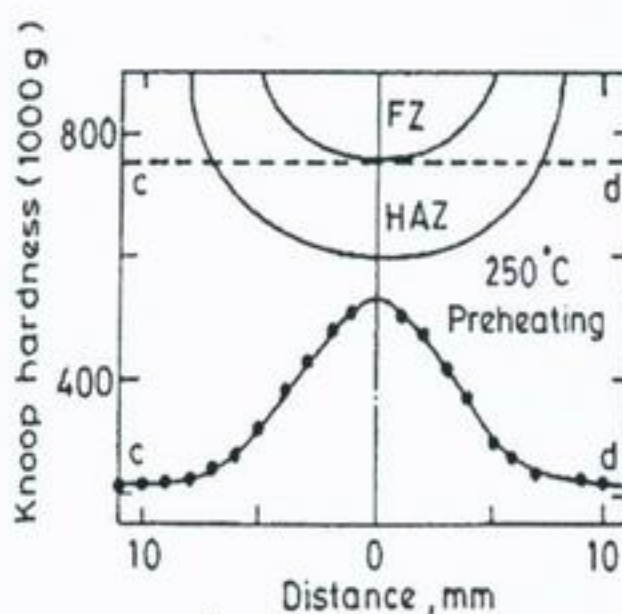
در برخی موارد بدلیل تفاوت در خواص مواد و نیز اختلاف هندسه اتصال، ایجاد اتصال مشکل و یا غیر ممکن می باشد. در این گونه موارد با انجام پیش گرم شرایط مساعد برای ایجاد اتصال فراهم می گردد. خواص تاثیر گذار در این رابطه ضریب رسانش و پخش گرما، ضریب انبساط حرارتی و اختلاف ضخامت بین دو قطعه مورد جوشکاری می باشد.

در شکل (۳) تاثیر دمای پیش گرم بر سختی منطقه جوشکاری شده بصورت مقایسه دو حالت نشان داده شده است.

در یک مورد عملیات حرارتی پیش گرم با دما ۲۵۰ درجه سانتیگراد انجام شده و در مورد دیگر جوشکاری بدون پیش گرم کردن انجام شده است. شکل (۳) نشان می دهد در حالت پیش گرم شده سختی در حدود ۳۰ درصد کمتر می باشد.

### ۲-۳- جلوگیری از بروز برخی عیوب

ترک های احتمالی در جوش در اثر بارگذاری رشد کرده در نهایت به شکست در سازه منجر می گردند. با استفاده از عملیات پیش گرم کردن می توان عامل و زمینه ایجاد برخی ترک ها را حذف کرده و یا کمتر نمود. از جمله مهمترین نوع این عیوب ها می توان به ترک هیدروژنی یا



شکل (۳): تاثیر دمای پیش گرم بر سختی منطقه جوشکاری شده

البته در اکثر موارد سختی پذیری و در برخی موارد دیگر الزامات جوشکاری معیار تعیین کننده در تعیین لزوم پیش گرم است. برای انجام پیش گرم می باشند پارامترها عملیات پیش گرم و روش های انجام آن تعیین گردد. پارامترهای عملیات پیش گرم شامل نرخ گرمایش، دمای پیش گرم، روش اعمال پیش گرم و وسعت منطقه پیش گرم می باشد.

علاوه بر موارد فوق، انجام پیش گرم موجب کاهش نرخ سرد شدن و افت میزان فرار گرما می گردد. در این حالت بدليل وجود گرمای بیشتر در منطقه جوش، مذاب ایجاد شده دمایی بالاتر خواهد داشت. بدليل دمای بالای مذاب، مذاب روان تر بوده و همچنین با وجود فرصت کافی، مذاب با نفوذ بهتر و با شکل مناسب تری منجمد می شود. کاهش انحنای گرده و نفوذ مناسب باعث کاهش تمرکز تنش و بهبود کیفیت جوش می شود.

#### ۵- روش های تعیین دمای پیش گرم

برای تعیین دمای پیش گرم روش های متعددی وجود دارد که در ادامه به برخی از آنها اشاره می گردد.

- مراجعه به استاندارد ها و یا مدارک ارائه شده از طرف تولید کننده های فولاد در برخی از استانداردها از قبیل API، ASME و AWS با توجه به نوع مواد و کاربرد آن، دمای عملیات پیش گرم داده شده است.
- در جدول (۲) نمونه ای از این نوع اطلاعات ارائه شده است.

#### ۴- معیار های تعیین دمای پیش گرم

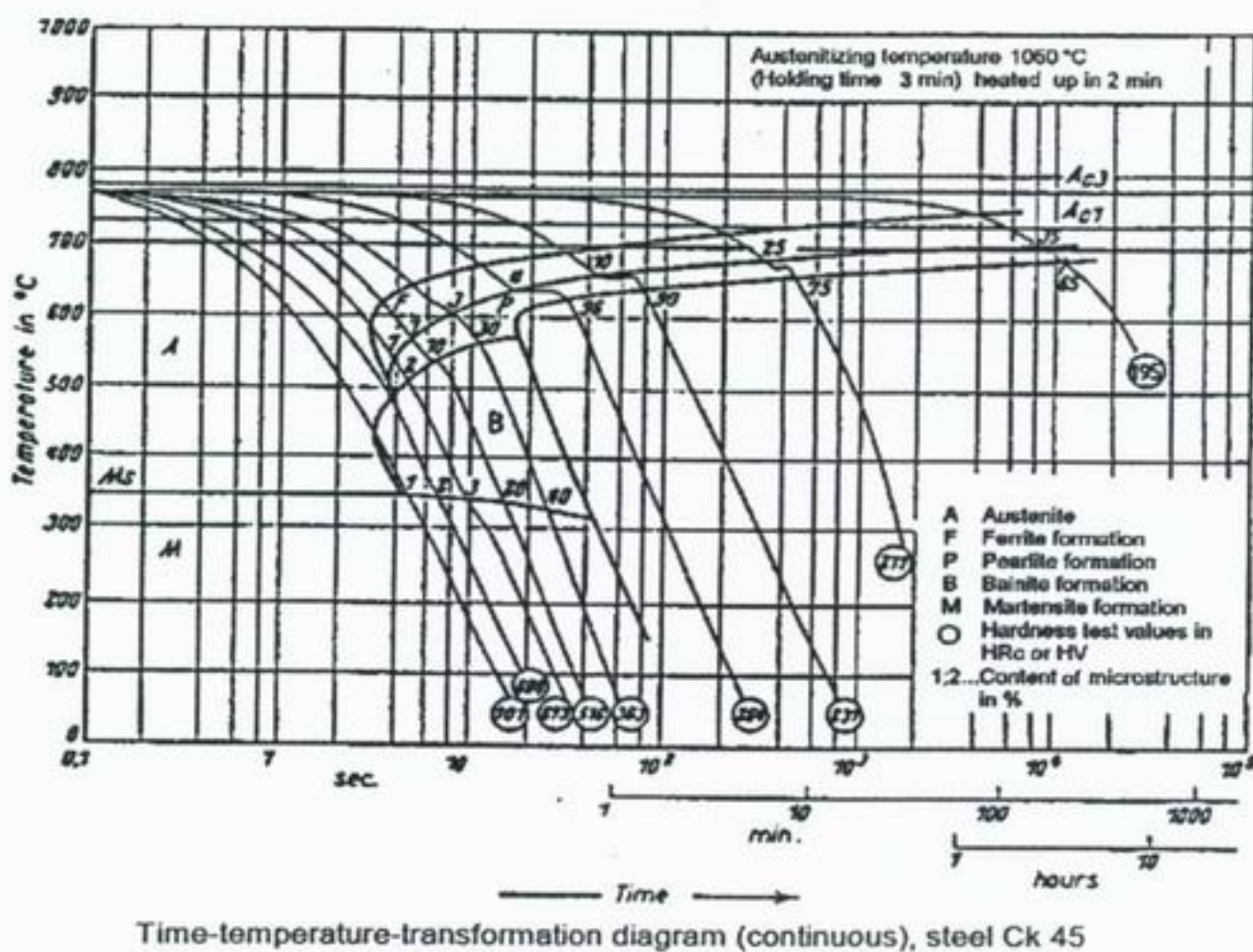
- تعیین لزوم انجام پیش گرم با توجه به موارد ذیل انجام می گردد:
- مواد مورد استفاده
  - پیچیدگی سازه
  - کاربری و حساسیت سازه
  - ابعاد سازه

معیار تعیین پارامترهای عملیات پیش گرم با توجه به اهداف انجام آن در هر مورد متفاوت می باشد.

جدول (۲): دمای عملیات پیش گرم و پس گرم برای برخی از فولادها

S. No.	Steel Specification	Suggested Welding Conditions				
		For Carbon Range (%)	For Thickness Range (mm)	Minimum Preheat and Interpass Temperature, °C		Postweld Heat Treatment Temperature Range (°C)
				Low hydrogen electrodes	Other than low hydrogen electrodes	
1.	AISI-SAE 1010	Within specifications	≤ 50	ambient above -12°C	ambient above -12°C	optional 595-675°C
2.	ASTM A36-81	≤ 0.25	25-50	10°C	95°C	595-675°C
3.	API 5L	0.21-0.25	13-25	ambient above -12°C	40°C	595-675°C
4.	2 1/4 Cr-1 Mo	≤ 0.15	≤ 13	65°C	205°C	required, 675 to 760°C, air cool
5.	ASTM A372-82 Type I & II	≤ 0.25	25-50	ambient above -12°C	40°C	desirable, 595-675°C
6.	ASTM A441-81	≤ 0.25	25-50	40°C	95°C	optional, 595-675°C
7.	ASTM A572-82	≤ 0.22	13-25	10°C	65°C	-do-
8.	ASTM A588-92	Within specifications	25-50	40°C	not recommended	-do-
9.	AISI-SAE 4130	0.27-0.33	≤ 25	150°C	205°C	desirable, 595-675°C
10.	AISI-SAE 8620	≤ 0.20	13-50	40°C	150°C	optional, 595-675°C

- کمتر باشد از نوع فولاد های کم کربن هستند.
  - در شرایط عادی اگر ضخامت ورق بالا نباشد مشکلی ایجاد نمی شود و نیازی به پیش گرم کردن نیست.
  - موارد نیاز به پیش گرم کردن
    - ضخامت بالا باشد.
  - (100 الی 200 درجه سانتیگراد) - دمای محیط پایین باشد.
  - (با توجه به مشخصات چermگی) - جوش ورق نازک به ورق ضخیم.
  - (0 الی 50 درجه سانتیگراد)
  - ۲-۱-۵- فولاد هایی که کربن آنها بین ۰.۲۷٪ و ۰.۴۵٪ باشد از نوع فولاد های کربن متوسط هستند
  - در این فولاد ها پیش گرم معمولاً مورد نیاز بوده و دمای آن از ۹۵ الی ۳۷۰ درجه سانتیگراد متغیر بوده و بستگی به میزان کربن و شرایط محیط جوشکاری دارد.
- استفاده از ترکیب شیمیایی مواد و روابط سختی پذیری
  - استفاده از دیاگرام ها و منحنی های سرد شدن مواد با داشتن اطلاعات مربوط به ساختار های ایجاد شده در اثر سرد کردن فولاد مورد نظر و مشخصات محصولات ایجاد شده می توان در مورد لزوم انجام پیش گرم و دمای تقریبی آن تصمیم گیری نمود (شکل ۴).
- ۵-۱- تعیین دمای پیش گرم برای فولادهای کربنی در فولاد های کربنی عنصر کربن مهمترین و موثر ترین عنصر آلیاژی بوده و میزان سختی پذیری از آن متأثر است. این فولاد ها بر حسب میزان حضور عنصر کربن در آنها به انواع مختلفی تقسیم بندی می شوند.
- ۵-۱-۱- فولاد هایی که کربن آنها از ۰.۲۷٪



شکل (۴): نمونه از دیاگرام TTT مربوط به فولاد Ck45 و مشخصات محصولات ایجاد شده در سرد شدن های مختلف

چند روش برای تعیین دمای پیش‌گرم در مورد فولاد‌های کم آلیاژی وجود دارد. روش کربن معادل و روش تست تجربی سختی پذیری از کاربردی ترین روش‌ها می‌باشند و در ادامه بصورت مختصر تشریح می‌شوند.

#### ۱-۲-۵- تعیین دمای پیش‌گرم با روش کربن معادل

سختی پذیری مهمترین معیار تعیین کننده لزوم و دمای پیش‌گرم برای فولاد‌های کم آلیاژی می‌باشد. در مورد فولاد‌هایی که دارای سختی پذیری بالاتری می‌باشند عمل انجام پیش‌گرم الزامی است. در این مواد می‌بایستی دمای پیش‌گرم به گونه‌ای باشد که پس از جوشکاری و سرد شدن، منطقه جوشکاری شده خواص ترد شدگی نداشته باشد. ترکیب شیمیایی فولاد، تعیین کننده میزان سختی پذیری آن بوده و بدلیل تاثیر متفاوت عناصر بر آن در مراجع، روابط مختلفی برای آن ارائه شده است. یک نمونه از روابط ارائه شده (رابطه ۱) و نحوه استفاده از آن در جدول (۳) آمده است.

- در این گروه برای فولاد‌هایی که کربن کمتری دارند، با کنترل انرژی ورودی و دمای بین پاسی، می‌توان از پیش‌گرم کردن صرف نظر کرد.

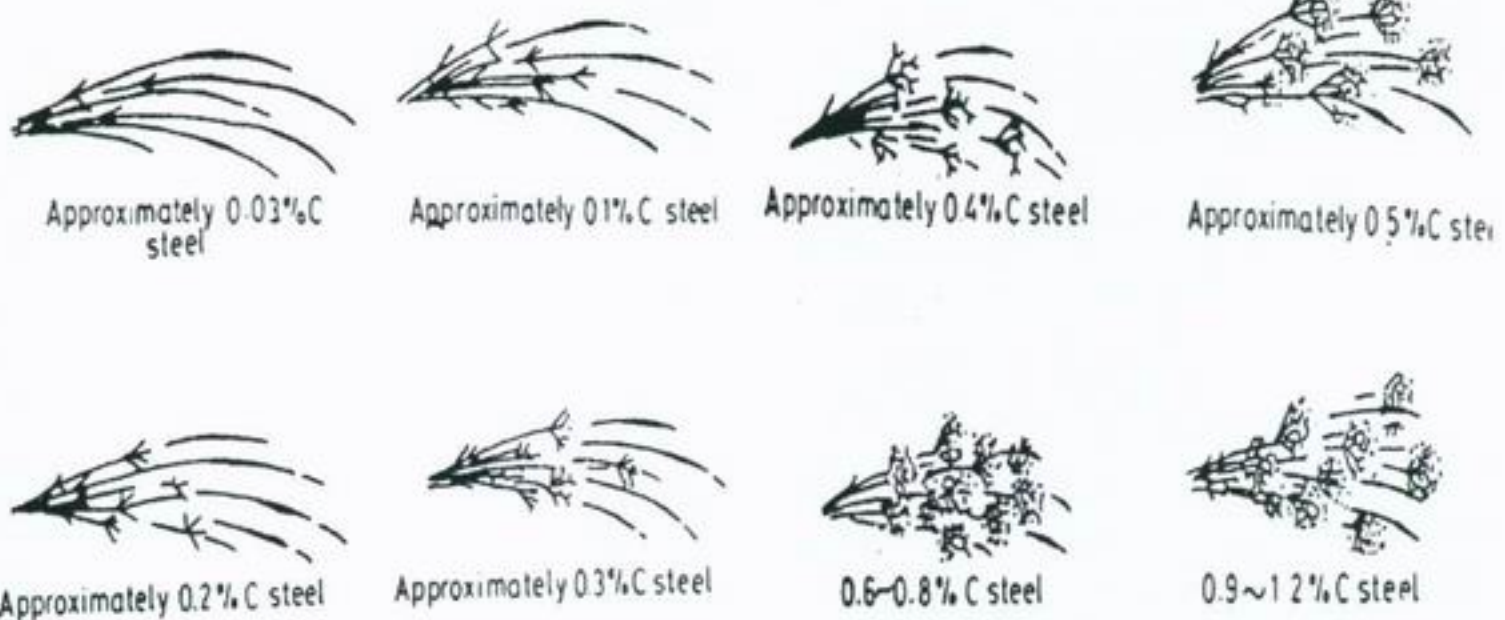
۱-۳-۵- فولاد‌هایی که کربن آنها از  $0.45\%$  بیشتر باشد از نوع فولاد‌های پرکربن هستند.

- در این فولاد‌ها بدلیل سختی پذیری زیاد به پیش‌گرم نیاز است. در این نوع فولادها دمای پیش‌گرم از  $950$  الی  $370$  درجه سانتیگراد متغیر بوده و به میزان عنصر کربن در آن بستگی دارد.

برای تعیین میزان تقریبی کربن در فولاد می‌توان از شکل جرقه‌های ایجاد شده در اثر سنگ زنی استفاده نمود (شکل ۵).

#### ۲-۵- تعیین دمای پیش‌گرم برای فولادهای کم آلیاژی

فولاد‌های کم آلیاژی بیشترین کاربرد را در صنایع دارند و به همین دلیل مورد توجه بیشتری واقع شده اند. دمای پیش‌گرم برای فولادهای آلیاژی اغلب از سوی سازنده فولاد داده می‌شود. علاوه بر آن



شکل (۵) : تعیین میزان تقریبی کربن در فولاد می‌توان از شکل جرقه‌های ایجاد شده

$$C.E = \%C \left( \frac{\%Mn}{20} + \frac{\%Ni}{15} + \frac{\%Cr + \%Mo + \%V}{10} \right)$$

رابطه (۱)

جدول (۳) مورد استفاده در تعیین دمای پیش گرم در جوشکاری فولاد های کم آلیاژی

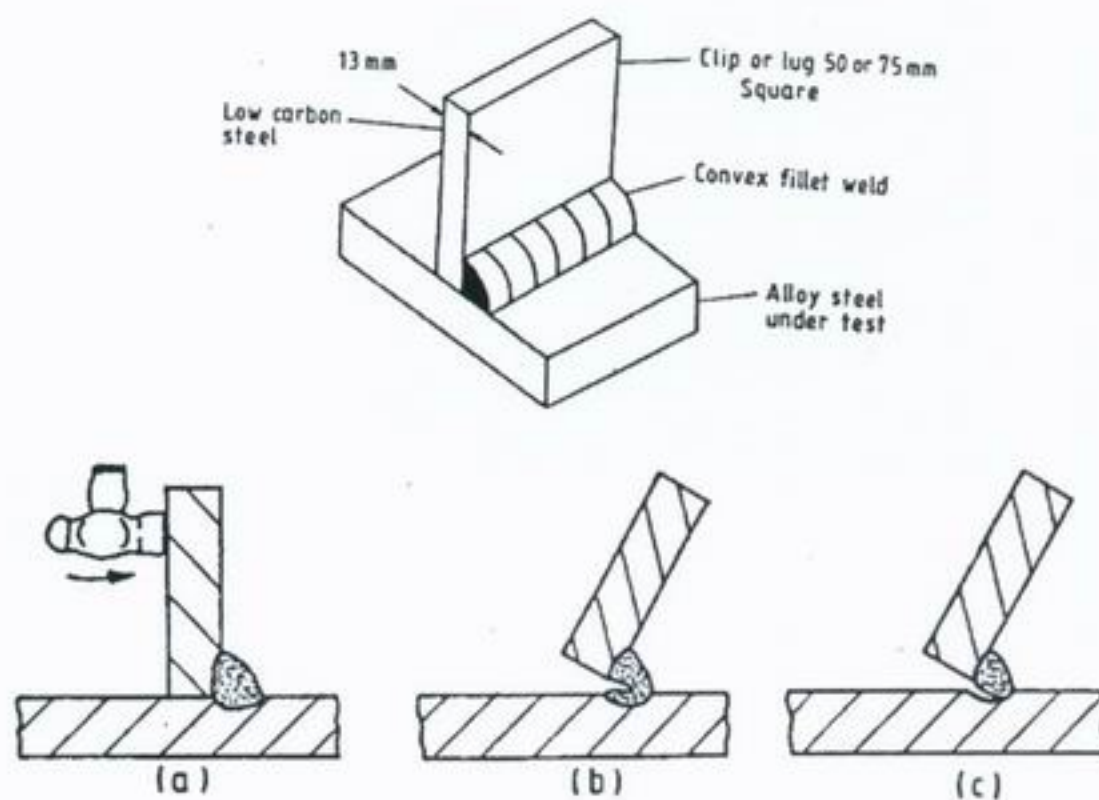
S. No.	Carbon Equivalent, %	Preheat Temperature, °C
1.	0.40	50
2.	0.45	100
3.	0.50	150
4.	0.55	200
5.	0.60	250
6.	0.65	300

اعمال ضربه ای جوش شکسته می شود. با بررسی نوع و منطقه شکست می توان در مورد لزوم انجام پیش گرم تصمیم گیری نمود. در صورتی که شکست مطابق شکل (b) از فلز جوش باشد نشان دهنده آن است که فولاد مورد نظر سختی بالایی ندارد و بنابر این نیازی به انجام پیش گرم نیست. شکست از کنار فلز جوش مطابق شکل (c) نشان دهنده تردی در فولاد کم آلیاژی مورد نظر بوده و در این حالت لزوم انجام پیش گرم و یا بالا بردن دمای انجام پیش گرم مشخص می گردد.

#### ۲-۲-۵- تعیین دمای پیش گرم با انجام تست

##### سختی پذیری

در برخی موارد که ترکیب شیمیایی فولاد مشخص نیست می توان از طریق این تست در بررسی سختی پذیری مواد برای تعیین لزوم و دمای پیش گرم استفاده نمود. این تست برای ورق های نازک قابل استفاده نبوده و برای فولاد های کم آلیاژی با ضخامت ۱۰ میلیمتر و بیشتر مناسب می باشد. در این تست یک جوش fillet با پارامتر های جوشکاری بشرح نشان داده شده در شکل (۶) ساخته شده و با



شکل (۶): مشخصات نمونه و روش انجام تست تجربی سختی پذیری در جوشکاری فولاد های کم آلیاژی

## ۶- نتیجه گیری

خواص مکانیکی اتصال جوشی از ویژگی‌های متالورژیک منطقه اتصال تأثیر می‌پذیرد در جوشکاری برخی فولادها بدليل سختی پذیری بالا، منطقه اتصال ترد شده و مستعد ایجاد ترک می‌گردد. با استفاده از عملیات پیشگرم، نرخ سرد شدن منطقه جوشکاری کندر شده و از ایجاد سختی پیشگیری می‌شود.

در تکنولوژی جوشکاری عملیات حرارتی پیشگرم به عنوان روشی در کنترل تغییرات متالورژیک منطقه اتصال مورد توجه می‌باشد. اعمال این نوع عملیات حرارتی در مورد فولادهایی که سختی‌پذیری بالایی دارند الزامی می‌باشد. انتخاب دمای عملیات پیشگرم از مهمترین فاکتورهای انجام این عملیات بوده و برای فولادهای مختلف متفاوت می‌باشد. با انجام صحیح این عملیات از بروز برخی عیوب جوشی نظیر ترک‌ها و سختی جوش در منطقه اتصال پیشگیری می‌شود.

## ۷- مراجع

- [۱] Parmar, R. S., 2002, Welding engineering and technology, Khana publishers
- [۲] Masubuchi, K., 1980, Analysis of welded structures, Pergamon Press.
- [۳] Welding Handbook, 2002, Vol. 1, 2 and 3, American Welding Society.
- [۴] Gibson, S., 1994, Practical Welding, The Motivate Series.

[۵] تکنولوژی جوشکاری، مهندس ادب آوازه،  
دانشگاه صنعتی اصفهان

آقای رسول محرومی دارای کارشناسی ارشد مهندسی مکانیک از دانشگاه صنعتی امیرکبیر بوده و از ۵ سال پیش با پروژه های کنترل کیفیت قدس نیرو همکاری دارد. آقای محرومی هم اکنون دانشجوی دکترای مهندسی مکانیک در دانشگاه صنعتی امیرکبیر می‌باشد. زمینه علاقمندی ایشان تکنولوژی جوشکاری و طراحی و ساخت سازه های جوشکاری و مخازن تحت فشار می‌باشد.

[moharami@gmail.com](mailto:moharami@gmail.com)

# کاربرد مدل پیشنهادی مندر<sup>۱</sup> در تعیین رفتار خمشی اعضای ساختمانهای بتن مسلح برای سطوح شکل پذیری آیین نامه های مختلف

حسین دانشور

کارشناس عمران - مدیریت ارشد مهندسی شبکه های انتقال و توزیع نیرو

## چکیده

آیین نامه های مختلف طراحی با توجه به نوع عضو و نوع منطقه سازه، سطوح مختلف شکل پذیری را برای اعضای خود معرفی نموده و تمهدیات و توصیه هایی را برای نیل به سطوح مذکور بیان می کنند. به عنوان مثال آبا (آیین نامه بتن ایران) [۱]، ACI (آیین نامه انجمن مهندسین عمران امریکا) [۲] و CSA (استاندارد بتن کانادا) [۳] هر یک سه سطح شکل پذیری برای طراحی اعضا و اتصالات ساختمانهای بتن مسلح معرفی می کنند. در این مقاله سعی می شود بر اساس مدل پیشنهادی مندر، شکل پذیری سطوح مذکور، به کمک منحنی ممان احنا مدلسازی گردد. به عنوان نمونه سه ساختمان ۵ طبقه بتن مسلح برای سه سطح مختلف شکل پذیری آیین نامه آبا، و آیین نامه ۲۸۰۰ ویرایش سوم مدلسازی و طراحی شده، سپس منحنی ممان - احنا کلیه اعضا رسم شده و بین سطوح شکل پذیری، مقایسه صورت گرفته است. مشاهده می شود که مدل مندر یک مدل ریاضی کامل برای تعیین رفتار اعضای بتن مسلح به منظور به کارگیری به عنوان یک جایگزین مطمئن برای جداول آیین نامه ای مدلسازی رفتار غیرخطی می باشد. تیرهای طراحی شده با سطح شکل پذیری بالا، دارای قابلیت تحمل احنای بیشتری نسبت به دو سطح شکل پذیری دیگر می باشند اما این تفاوت در ستونها به اندازه تیرها، چشمگیر و متمایز نمی باشد.

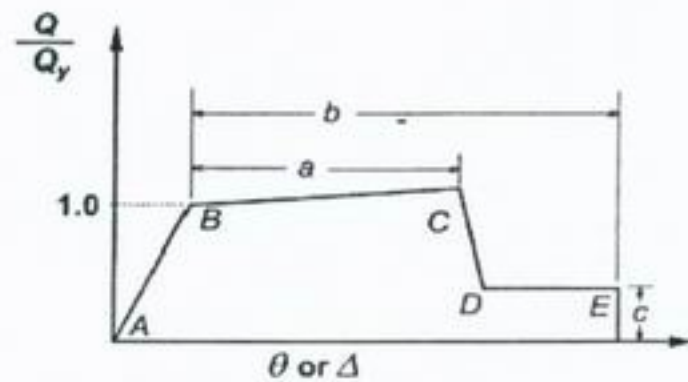
واژه های کلیدی: سطح مختلف شکل پذیری مدل پیشنهادی مندر منحنی ممان - احنا

غیرخطی اعضای سازه باید به طریقی مدلسازی شود. شکل پذیری به عنوان یک مفهوم کیفی به طرق مختلف قابل کمی شدن است که یکی از بهترین و مورد قبول ترین روشها منحنی ممان - احنای هر عضو می باشد. به همین جهت، در دستورالعمل بهسازی [۴]، Fema357 [۵]، ATC40 [۶] رفتار اعضای بتن مسلح بر این اساس مدلسازی شده است که نمونه ای از آن را در شکل (۱) مشاهده می کنید.

## ۱- مقدمه

امروزه شکل پذیری از مفاهیم اصلی و بنیادی کلیه آیین نامه های لرزه ای موجود است که بیانگر توان و تحمل یک سازه و یا هریک از اعضای آن در تحمل تغییر شکلهای قابل توجه به وسیله رفتارهای غیراتجاعی، بدون کاهش غیرقابل قبول در مقاومت و سختی می باشد. با توجه به تعریف فوق، شرط لازم برای بررسی شکل پذیری سازه مورد بررسی، دخول اعضای آن به ناحیه غیرخطی می باشد. از این رو، رفتار

1- Mander



شکل(۱): رفتار اعضاى بتن مسلح در دستورالعمل بهسازی [۴]، [۵]، [۶] ATC40، FEMA357.

برابر با  $\frac{3}{4}$  برش طراحی باشد، در این صورت عضو واجد شرایط و در غیر این صورت فاقد شرایط فرض می گردد. این تعریف در تیرها و ستونها مشابه است. [۴]، [۵]، [۶].

همانطور که مشاهده می شود با توجه به این تعریف، بین دو سطح شکل پذیری متوسط و زیاد تفاوت چندانی قائل نشده در حالیکه در محاسبه ضریب رفتار ساختمان طبق آیین نامه ۲۸۰۰ (ویرایش سوم) ضریب رفتار سطح شکل پذیری قابهای خمی بتی متوسط، دقیقاً نقطه میانی دو سطح شکل پذیری زیاد و کم شده می باشد. (عدد ۷ برای سطح شکل پذیری متوسط دو عدد ۴ و ۱۰).

آیین بهسازی لرزه ای، FEMA 356 و ATC40 همگی جداولی مشابه در مورد پارامترهای مدلسازی رفتار غیرخطی اعضاى سازه ای و اتصالات ارائه می کنند که نمونه ای از آن در جدول (۱) مشاهده می شود. شکل پذیری در این جدول به وسیله دو پارامتر C و NC، واجد شرایط و فاقد شرایط، از لحاظ آرماتور عرضی دیده شده است. بدین صورت که اگر در محدوده مفصل خمی در عضو، فاصله تنگها از هم کمتر یا مساوی با  $d/3$  باشد و علاوه بر این برای اعضاى با نیاز شکل پذیری متوسط و زیاد، مقاومت تامین شده توسط تنگها (VS) لاقل

جدول (۱): پارامترهای مدلسازی رفتار غیر خطی تیرهای بتن مسلح در دستورالعمل بهسازی [۴]، [۵] ATC40، [۶] FEMA357

Conditions		a	b	c
<b>I. Beams controlled by flexure<sup>1</sup></b>				
$\frac{\rho - \rho'}{\rho_{bal}}$	Trans. Reinf. <sup>2</sup>	$\frac{V}{b_w d \sqrt{f'_c}}$		
$\leq 0.0$	C	$\leq 3$	0.025	0.05
$\leq 0.0$	C	$\geq 6$	0.02	0.04
$\geq 0.5$	C	$\leq 3$	0.02	0.03
$\geq 0.5$	C	$\geq 6$	0.015	0.02
$\leq 0.0$	NC	$\leq 3$	0.02	0.03
$\leq 0.0$	NC	$\geq 6$	0.01	0.015
$\geq 0.5$	NC	$\leq 3$	0.01	0.015
$\geq 0.5$	NC	$\geq 6$	0.005	0.01

مستعد ایجاد مقاصل پلاستیک می باشند، با دقت بسیار و جزئیات کافی رعایت شود تا از عدم ناپایداری سازه در هنگام زلزله جلوگیری گردد. شکل پذیری کافی اعضا همچنین باعث می شود تا ما از بازتوزیع ممان خمشی در مقاصل، اطمینان حاصل کنیم.

مهمترین عامل موثر برای تامین شکل پذیری در مناطق مفاصل پلاستیک، تامین آرماتورهای عرضی کافی به شکلهای خاموت مستطیلی و یا مارپیچی می باشد. این خاموتهای عرضی، علاوه بر محصور کردن بتن، مانع از کمانش آرماتورهای طولی، نیز می شوند.

واضح است که داشتن اطلاعات دقیق از منحنی تنش-کرنش بتن محصور شده برای انجام یک آنالیز ممان - انحنای دقیق به منظور دستیابی به شکل پذیری عضو بتنی با آرایشهای مختلف خاموت گذاری ضروری است. مدل‌های تنش-کرنشی متعددی هم برای بتن و هم آرماتور وجود دارد که در جدول (۲) به صورت فهرست وار آمده است [۸].

از طرفی دوران معیار مناسبی برای تعریف شکل پذیری نمی باشد [۷]. تعریف شکل پذیری انجایی بر اساس احنا و نه بر اساس دوران، تاییدی بر این حقیقت است. همچنین در ATC40 تصریح شده است که به جای اعداد جداول موجود که بر مبنای کارهای آزمایشگاهی آقایان آیکارדי، پسیکی و موهل در سالهای ۱۹۹۰ تا ۱۹۹۴ آورده شده، می‌توان از نتایج آزمایشگاهی معتبر دیگر و یا از آنالیز ممان-احنا با فرض رفتار واقعی تنש-کرنش مصالح استفاده کرد. لذا با توجه به مطالب بیان شده حرکت به سمت یک مدل تنش-کرنشی واقعی برای بتون، برای انجام آنالیز ممان-احنا و تعیین رفتار واقعی اعضا با سطوح شکل پذیری مختلف امری شایسته و در خور توجه می‌باشد.

## ۲- لزوم استفاده از یک مدل تنش - کرنشی برای اعضای بتنی مسلح

همانطور که می‌دانیم در طراحی لرزاکی ساختمانهای بت، مسلح باست، شکل یزدیری در مناطقی که

جدول (٢): مدل‌های تنش - کرنشی مختلف برای (الف): بین (ب): آرماتور

- [Concrete](#)
- [ACI Whitney Rectangle](#)
- [BS 8110 Rectangle](#)
- [CAS Rectangle](#)
- [EuroCode2 Rectangle](#)
- [AASHTO Rectangle](#)
- [NZ Rectangle](#)
- [UBC97 Rectangle](#)
- [IS 456 Rectangle](#)
- [Simple Parabola](#)
- [PCA Parabola](#)
- [BS 8110 Parabola](#)
- [Mander Circular Confined](#)
- [Mander Rectangular Confined](#)
- [Mander Un-confined](#)

(الف)

<b>Reinforcing Bars</b>
Elasto-Plastic
Elastic Only
Park, Strain Hardening
Simple Strain Hardening

(2)

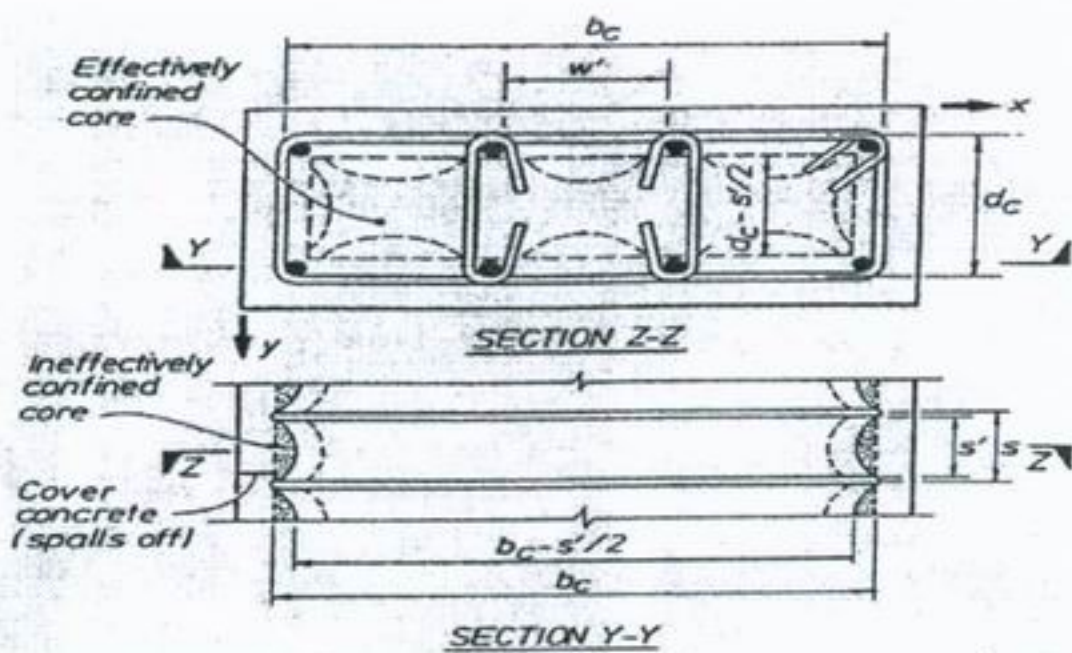
عرضی و انرژی کرنشی ذخیره شده در بتن به دلیل محصور شدگی استفاده شده است. مندر و همکارانش مدلی ارائه داده اند که دارای قابلیتهای زیر است:

- امکان استفاده برای مقاطع مستطیلی و دایروی
- امکان اعمال بارگذاری استاتیکی و یا دینامیکی
- امکان استفاده از فولاد عرضی به صورت خاموت گذاری با و یا بدون سنجاقک یا مارپیچی در شکل(۲) هسته مرکزی محصور شده برای آرماتور عرضی مستطیلی که در این مقاله مورد استفاده قرار گرفته نشان داده شده است [۶]. همانطور که مشاهده می شود، دلایل متعددی برای استفاده از مدل مندر وجود دارد. این دلایل باعث شده اند مقالات معتبر امروزی، توجه زیادی به مدل مندر داشته و از این مدل در مدلسازی و حتی در تعیین معیارهای پذیرش سازه های ساختمانی و غیر ساختمانی مانند پلهای معلق و غیره استفاده نمایند [۱۰]. همچنین نرم افزارهای قدرتمند تحلیل و طراحی سازه در نسخه های اخیر خود، مدل مندر را در مدلسازی اعضای بتونی بگنجانند.

### ۳- معرفی مدل مندر به عنوان برترین مدل

مندر، مدل خود را در سال ۱۹۸۸ مدلی بر اساس منحنی تنش - کرنش برای اعضای بتن مسلح، محصور شده توسط آرماتورهای عرضی ارائه کرد. در این مدل از هر گونه محصور شدگی توسط آرماتور عرضی می توان استفاده نمود. (منظور آرماتور عرضی مارپیچی و یا خاموتهای دایروی یا مستطیلی با و یا بدون سنجاقک می باشد). فولاد محصور کننده در این مدل می تواند تنشهای تسلیم متفاوتی در دو امتداد داشته باشد. در این مدل یک رابطه منفرد برای بیان رابطه تنش-کرنش به کار می رود. مدل ارائه شده توسط مندر و همکارانش دارای این قابلیت است که رفتار صحیحی در بارگذاری سیکلی از خود نشان می دهد.

تأثیر تفاوت نوع محصور شدگی با تعریف تنش محصور شدگی جانبی موثر در نظر گرفته شده است که بر مبنای آرایش آرماتور عرضی و طولی محاسبه می شود. در این مدل برای پیش بینی کرنش فشاری طولی بتن مربوط به اولین شکست آرماتور عرضی از ظرفیت انرژی کرنشی فولادهای



شکل(۲): هسته مرکزی محصور شده برای آرماتور عرضی مستطیلی

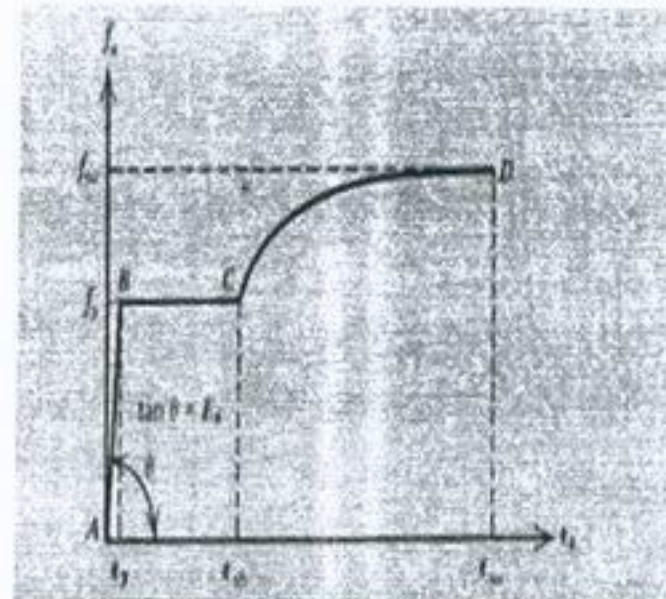
محصور شده از مدل مندر و برای مدلسازی رفتار آرماتور از مدل پارک استفاده می شود.

شکل شماتیک منحنی تنش-کرنش بتن و فولاد در این دو مدل به ترتیب در اشکال (۳) و (۴) مشاهده می شود.

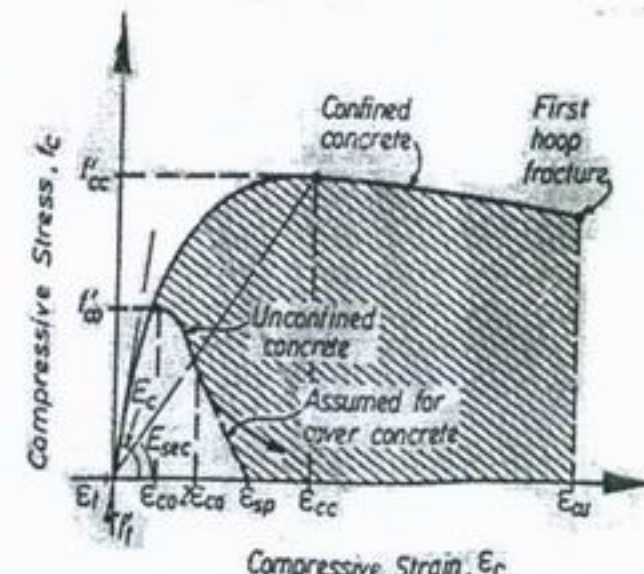
علاوه بر موارد ذکر شده آیین نامه های معتبر طراحی، استفاده از این مدل را مجاز دانسته اند (جدول ۳). همانطور که مشاهده می شود مدل مندر تحت حمایت کلیه آیین نامه های نامبرده شده است. در این پژوهش، برای مدلسازی رفتار بتن

جدول (۳) : نحوه حمایت مدل های تنش-کرنشی مختلف از آیین نامه های معتبر طراحی

	ACI-318	BS 8110	CSA A23.3-94	AASHTO 1997	EuroCode 2	UBC 97	IS 456-78
ACI Rect	X						
BS Rect		X					
CSA Rect			X				
EuroCode2 Rect					X		
AASHTO Rect				X			
NZ Rect							
UBC97 Rect	X					X	
IS 456 Rect							X
Simple Parabola	X	X	X	X	X	X	X
PCA Parabola	X			X			
BS Parabola		X			X		
Mander Circular Confined	X	X	X	X	X	X	X
Mander Rect Confined	X	X	X	X	X	X	X
Mander Unconfined	X	X	X	X	X	X	X



شکل (۴): منحنی تنش-کرنش فولاد بر اساس مدل پارک



شکل (۳): منحنی تنش-کرنش بتن بر اساس مدل مندر

$$P = \alpha f_c b k d + \sum_{i=1}^n f_{si} A_{si} \quad (2)$$

$$M = \alpha f_c^* b k d \left( \frac{h}{2} - r k d \right) + \sum_{i=1}^n f_{si} A_{si} \left( \frac{h}{2} - d_i \right) \quad (3)$$

$\alpha$  : ضریب تنش متوسط

$r$  : ضریب مرکز سطح

$f_c^*$  : مقاومت فشاری بتن محصور نشده

$f_c$  : مقاومت فشاری بتن محصور شده

$A_{si}$  : سطح مقطع آرماتور اتمام

$f_{si}$  : تنش آرماتور اتمام

و انحنا نیز از رابطه زیر بدست می‌آید:

$$\varphi = \frac{\varepsilon_{cm}}{k_d} \quad (4)$$

در عمل، نرم افزارهای امروزی با تغییر در مقدار کرنش فشاری حداقل بتن در تار فوقانی  $\varepsilon_{cm}$ ، منحنی ممان-انحنا را رسم می‌کنند.

#### ۵- معرفی سازه‌های مورد مطالعه

سازه مورد مطالعه در این قسمت از پژوهش، یک قاب خمی بتن مسلح در سه حالت مختلف شکل پذیری می‌باشد که بر اساس ضوابط لرزه‌ای آیین نامه ۲۸۰۰ ویرایش سوم بارگذاری [۱۱] و بر مبنای آیین نامه بتن ایران [۱] طراحی شده است.

#### ۴- تعیین رابطه تئوریک ممان-انحنا

فرضیات لازم برای بدست آوردن رابطه تئوری ممان-انحنا یک مقطع همان فرضیات تعیین مقاومت خمی مقطع بتن مسلح می‌باشد. از آن جمله می‌توان به فرض مستوی ماندن مقاطع عمود بر محور خمی پس از اعمال بار و معین بودن رفتار بتن (مدل مندر) و فولاد (مدل پارک) اشاره کرد. شکل (۵) مقطع عضو بتن مسلح با نیروهای داخلی محوری و خمی را نشان می‌دهد. برای حداقل کرنش معلوم بتن در تار فشاری  $\varepsilon_{cm}$  و عمق تار خنثی  $k_d$ ، مقادیر  $\varepsilon_{si}$  و  $\varepsilon_{s2}$  و  $\varepsilon_{s3}$  از نمودار کرنش قبل برداشت است. به عنوان مثال برای تار در عمق  $d_i$ :

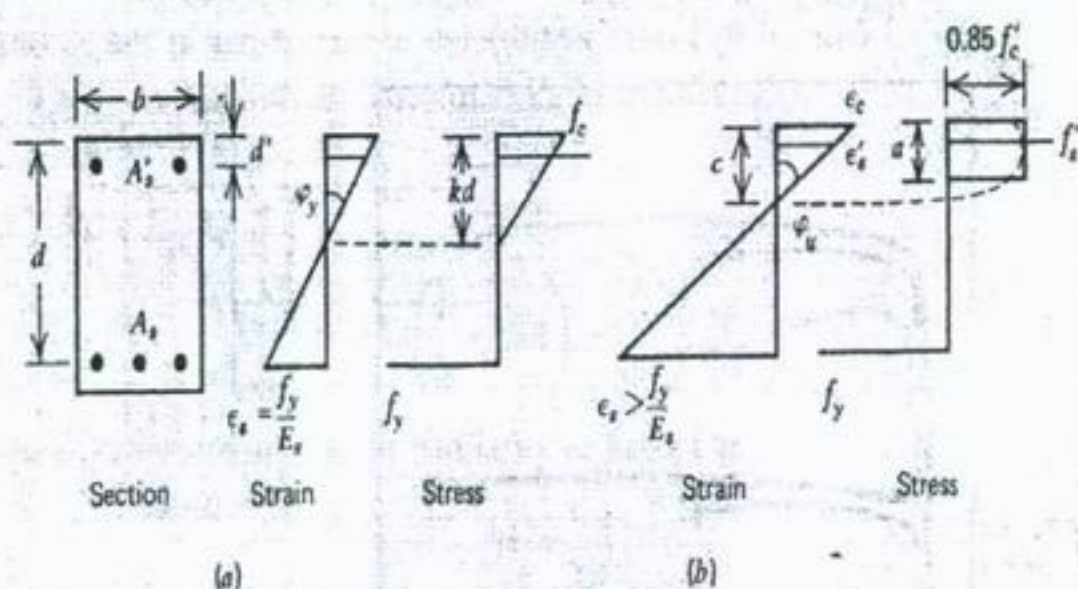
$$\varepsilon_{si} = \varepsilon_{cm} \frac{k_d - d_i}{k_d} \quad (1)$$

$\varepsilon_{cm}$  : حداقل کرنش فشاری بتن

$k_d$  : عمق تار خنثی

$d_i$  : عمق تار

بنابراین مقادیر تنش متناظر با این کرنشهای  $\varepsilon_{s1}$ ،  $\varepsilon_{s2}$  و  $\varepsilon_{s3}$  از نمودار تنش-کرنش فولاد بدست می‌آید. با نوشتن تعادل نیروها و تعادل یکسری محاسبات ریاضی که مجال پرداختن به آنها نیست به معادلات ذیل دست می‌یابیم:



شکل (۵) : مقطع عضو بتن مسلح با نیروهای داخلی محوری و خمی

قبهای مورد مطالعه بر طبق بارگذاری ارائه شده در قسمت قبل و اصول طراحی آبا برای سه حالت مختلف شکل پذیری طراحی شده اند (شکل ۶). در طراحی سعی شده است تا آنجا که ممکن است از تیپ بندی اعضا خودداری شود تا رفتار واقعی سازه در سه حالت مختلف شکل پذیری بهتر نمایان شود.

به منظور در نظر گرفتن اثر ترک خوردگی مقاطع بتنی در سختی خمینی، سختی تیرها و ستونها به ترتیب  $0.35/0.7$  مقاطع ترک نخورده در نظر گرفته شده است. با توجه به استفاده از مقاطع ترک خورده در تحلیل سازه تغییر مکان نسبی طبقه با  $1/4$  برابر مقدار  $R/0.3$  مقایسه شده است.

#### ۶- آنالیز ممان - انحنا

با فرض منحنی تنش - کرنش مندر برای بتن و پارک برای فولاد، آنالیز ممان-انحنا بر اساس آنچه که در بخش (۳) ذکر شد انجام گرفته و نتایج به صورت گرافهای شکل (۷)، به صورت مقایسه ای برای سه سطح مختلف شکل پذیری ارائه می‌گردد.

هر گراف مقایسه ای بین اعضای متناظر سه ساختمان مورد بررسی می‌باشد. در این گرافها، حرف اول B به معنای تیر و C به معنای ستون، حرف دوم S به معنای ویژه، I متوسط و D معمولی می‌باشد. اعداد انتهایی نیز برای تیپ بندی آورده شده‌اند.

#### ۱-۵- بارگذاری سازه های مورد بررسی

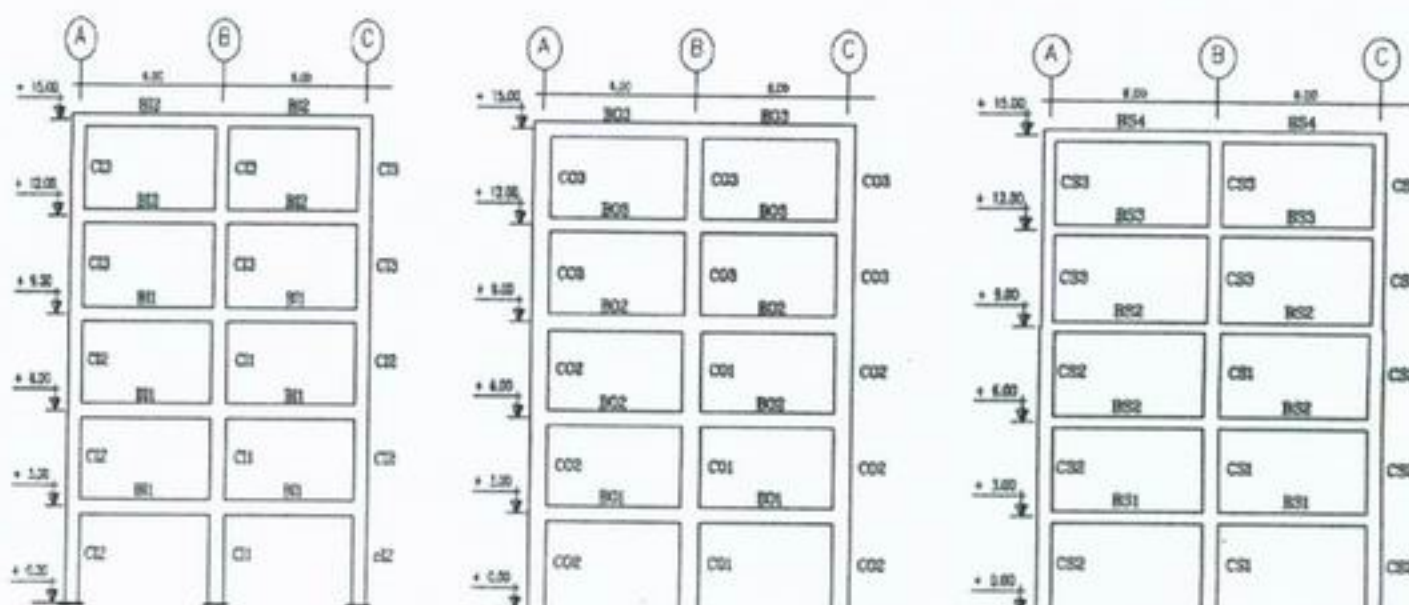
##### ۱-۱-۱- بارگذاری ثقلی

مقادیر بار مرده و زنده به ترتیب برابر  $1/8$  و  $1$  تن بر متر می‌باشد.

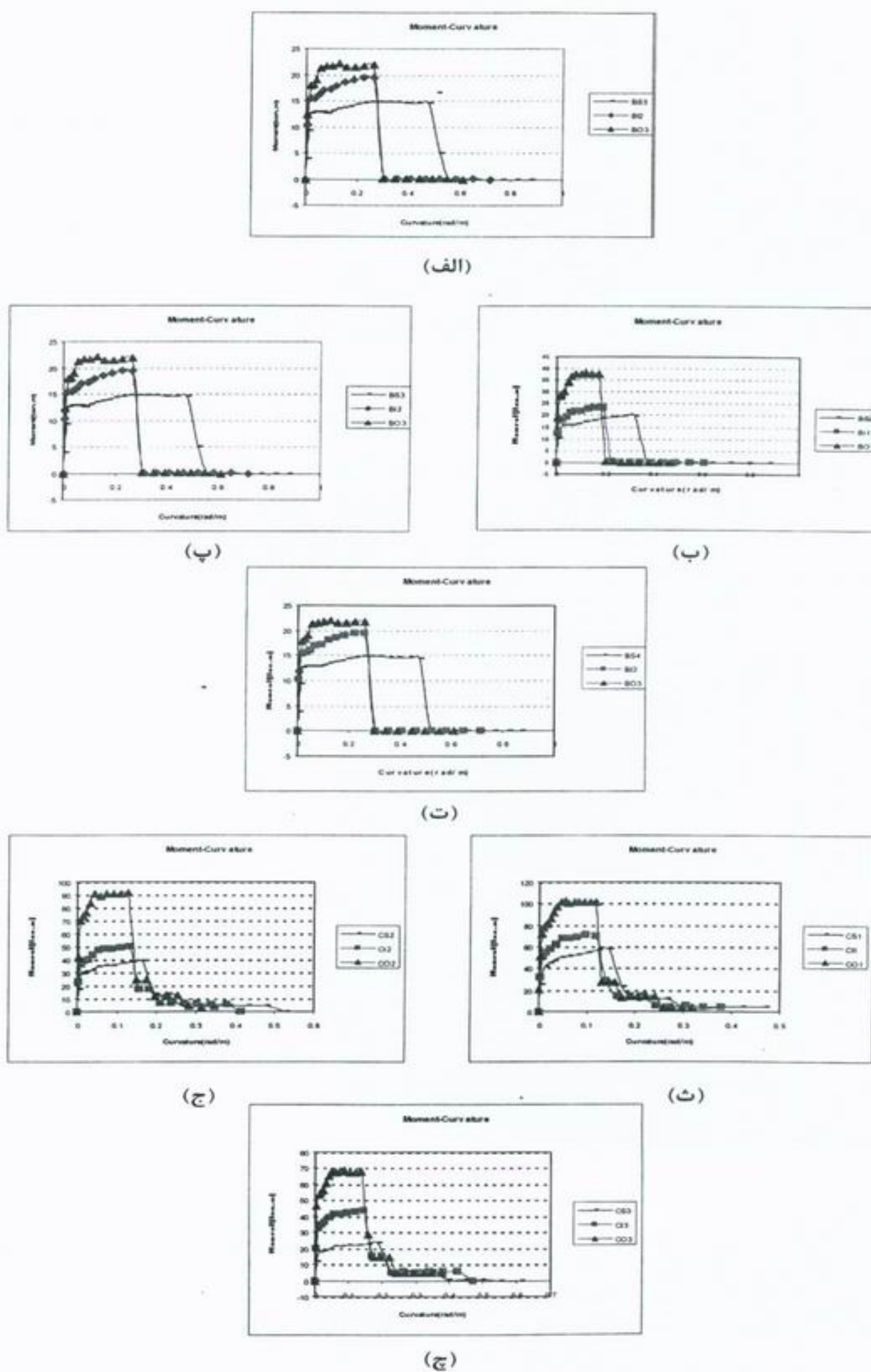
#### ۲-۱-۵- بارگذاری جانبی (بار زلزله)- بر طبق استاندارد ۲۸۰۰

شتاب مبنای طرح  $0.35/0$  در نظر گرفته شده است. ساختمان چزء گروه دوم و دارای ضریب اهمیت  $1/2$  می‌باشد. مقادیر ضریب رفتار ساختمان نیز به صورت زیر است:

۱۰	قاب خمینی بتن مسلح ویژه
۷	قاب خمینی بتن مسلح متوسط
۴	قاب خمینی بتن مسلح معمولی



شکل (۶): تیپ بندی قابهای خمینی ۵ طبقه (الف) ویژه (ب) متوسط (ج) معمولی



شکل (۷): نمودارهای ممان - انحنای اعضای سازه ۵ طبقه برای ۳ سطح پذیری

## ۷- نتیجه گیری

مدل مندر یک مدل ریاضی کامل برای تعیین رفتار اعضاي بتن مسلح به منظور به کارگيري به عنوان یک جايگزين مطمئن برای جداول آيین نامه اي مدلسازی رفتار غیرخطی می باشد. تيرهای طراحی شده با سطح شکل پذيری بالا، دارای قابلیت تحمل انحنای بیشتر نسبت به دو سطح شکل پذيری دیگر می باشند. به عبارت دیگر سطح شکل پذيری متوسط از نظر تحمل حداقل انحنا، بیشتر به سطح شکل پذيری کم نزدیک می شود. این امر دلیلی برای حرکت به سمت سازه های با شکل پذيری بالا می باشد. چرا که رفتار مفاصل پلاستیک را همین دیاگرام (ممان- انحنا یا ممان- دوران) تعیین می کند. در ستونها هر چند که باز هم اختلاف در مقدار انحنای قابل تحمل توسط اعضاي طراحی شده بر اساس سه سطح مختلف شکل پذيری به چشم می خورد اما این تفاوت به اندازه تفاوت در تيرها، چشمگير و متمايز نمی باشد.

اعضاي با سطح شکل پذيری پایین تر، قادر به تحمل ممانهای بزرگتری هستند، علت اين است که اين سازه ها برای برش پایه بزرگتری طراحی شده اند و لذا مقاطع بزرگتر و مقاومت خمسی بیشتری دارند.

در ستونها، یک مقاومت پسماند بعد از افت شدید مشاهده می شود. مقدار این مقاومت پسماند در حدود  $0.3 / 0.4$  تا  $0.5 / 0$  افزایش می یابد. در دستورالعمل بهسازی مقدار  $0.2 / 0$  ذکر شده که می تواند افزایش یابد. در تيرها این مقاومت پسماند مشاهده نمی شود که البته در آيین نامه بهسازی احتمال آن دیده شده است.

## ۸- مراجع

- [۱] آيین نامه بتن آيران، آبا. مرکز تحقیقات ساختمان و مسکن
- [۲] ACI 318 M, "Building code requirements for reinforced concrete", American concrete Institute., (2002)
- [۳] CSA., "Reinforced concrete standard", Canadian standard association ,(2003)
- [۴] دستورالعمل بهسازی لرزه ای ساختمانهای موجود ، مرکز تحقیقات ساختمان و مسکن
- [۵] FEMA, 2000, NEHRP Guidelines for Seismic Rehabilitation of Buildings, FEMA-356, Federal Emergency Management Agency, Washington, D.C.
- [۶] ATC, 1996, Methodology for Evaluation and Upgrade of Reinforced Concrete Buildings, Report No. ATC-40, California Seismic Safety Commission, Sacramento, California
- [۷] park ,R,Paulay,T (1974), "Reinforced Concrete Structures" John Wiley and Sons, New York.
- [۸] Section builder CSI, Section Builder manual (2005)
- [۹]Sheikh, S.A., and Uzumeri, S.M.

(1980). "Strength and ductility of tied concrete columns." J.Struct. Div. A.S.C.E., 106(5), 1079-1102.

[۱۰] Mander, J.B., Priestley, M.J.N., and Park, R.(1988). "Theoretical Stress-Strain Model for Confined Concrete", J. of Structural Engineering, ASCE, 114(8).

[۱۱] Arzamanidis, S Ayman, S. (2005) " Performance-loased seismic analysis and design of suspension bridges", Earthquake engineering Journal, Vol.34,April

[۱۲] آیین نامه طراحی ساختمانها در برابر زلزله (۱۳۸۴)- استاندارد (۲۸۰۰-۸۴)، ویرایش سوم، مرکز تحقیقات ساختمان و مسکن

آقای حسین دانشور دارای کارشناسی ارشد مهندسی عمران (گرایش سازه) از دانشگاه صنعتی امیرکبیر بوده و ۶ سال سابقه کار دارد که یک سال آن در قدس نیرو می باشد. زمینه علاقمندی ایشان طراحی براساس عملکرد سازه های بتنی و فولادی، اصول و مبانی بهسازی لرزه ای و کمانش تیر ورقها و عملکرد تیرهای عمیق و طراحی فواید اسیون سازه های خاص می باشد.

[Hdanesvar@Ghods-niroo.com](mailto:Hdanesvar@Ghods-niroo.com)

G H O D S N I R O O



تهران، خیابان استاد مطهری، چهارراه سپهوردی، شماره ۹۸  
کد پستی: ۱۵۶۶۷۷۵۷۱۱  
تلفن: ۰۲۶۱۳-۰۴۳۰-۸۸۴ فکس: ۰۲۶۱۳-۰۴۳۰-۸۸۴

No.98,Ostad Motahari Ave,Tehran-Iran  
Tel: 88403613 - 88430454 Fax: 88411704  
Email:info@ghods-niroo.com



## مهندسين مشاور قدس نيرو

GHODS NIROO CONSULTING ENGINEERS



شرکت مهندسین مشاور قدس نیرو علاوه بر سابقه درخشنان در ارائه خدمات مهندسی در زمینه های صنعت آب، برق و نفت و گاز، با تکیه بر محمل های قانونی موجود در کشور، فعالیت های زیست محیطی را در دستور کار خود قرار داده و در این راستارتبه بندهی سازمان مدیریت و برنامه ریزی کشور را در گرایش مهندسی محیط زیست اخذ نموده و آماده ارائه خدمات زیست محیطی در زمینه های زیر می باشد:

- طرحهای آمایش سوزمین
- ابخیزداری و حفاظت خاک
- طرحهای کسترش فضای سبز
- طرحهای استفاده از انرژیهای پایدار
- طرحهای اجتماعی و اقتصادی و مشارکت مردمی
- اجرای طرحهای سازکار با محیط زیست و کسب "ISO14000"
- تصفیه فاضلاب و پسابهای صنعتی و انسانی و صنایع نیروگاهی
- طرحهای کاهش مصرف انرژی (استفاده از انرژیهای تجدیدپذیر و حفظ محیط زیست)

- ارزیابی اثرات زیست محیطی پروژه های عمرانی (سد و سازه های آبی، نیروگاهها و صنایع بزرگ و پروژه های نفت و گاز، راه آهن و جاده و ...)

مهندسين مشاور قدس نيرو تا کنون بيش از ۲۰ مورد ارزیابی اثرات زیست محیطی پروژه های عمرانی را در زمینه های آب و برق و طرح تحقیقی خانه فاضلاب صنعتی به انجام رسانده است که بخشی از اين پروژه های به شرح زير میباشد:

- بازنگری زیست محیطی انرژی (EER)
- مطالعات الودگی کیفی منابع آب دشت اراك
- ارزیابی اثرات زیست محیطی سد مخزنی و نیار
- ارزیابی اثرات زیست محیطی سد سردشت خوزستان
- ارزیابی اثرات زیست محیطی سد و نیروگاه برقابی بازفت
- ارزیابی اثرات زیست محیطی سد و نیروگاه برقابی لرستان
- ارزیابی اثرات زیست محیطی انتقال آب از سد ماهلو به تهران
- ارزیابی اثرات زیست محیطی انتقال آب از چشمه روزبه به سمنان
- ارزیابی اثرات زیست محیطی نیروگاه های اردبیل، سهند، سندج، چهرم قائن، ارومیه، ری، پرند، کرمان، آبادان، بیستون و سیکل ترکیبی تبریز



гоҳд ниرو مشاور قدس نیرو

GHODS NIROO CONSULTING ENGINEERS

гоҳд ниرو  
مشاور قدس  
نيرو  
GOHDS NIROO CONSULTING ENGINEERS